

REGIONE SICILIA

Libero Consorzio Comunale di Trapani
COMUNI DI TRAPANI, SALEMI, MISILISCEMI E MARSALA

PROGETTO

INTEGRALE RICOSTRUZIONE PARCO EOLICO "SALEMI-TRAPANI"



PROGETTO DEFINITIVO

COMMITTENTE



ENGIE Rinnovabili S.p.A.
Viale Giorgio Ribotta, 31
00144 Roma

PROGETTISTA



Hydro Engineering s.s.
di Damiano e Mariano Galbo
via Rossotti, 39
91011 Alcamo (TP) Italy



OGGETTO DELL'ELABORATO

RELAZIONE DI CALCOLO PRELIMINARE DELLE STRUTTURE

| REV. | DATA | ATTIVITA' | REDATTO | VERIFICATO | APROVATO |
|------|---------|-----------------|---------|------------|----------|
| 0 | 12/2022 | PRIMA EMISSIONE | MG | VF | MG |
| | | | | | |
| | | | | | |

| CODICE PROGETTISTA | DATA | SCALA | FORMATO | FOGLIO | CODICE COMMITTENTE | | | | |
|--------------------|---------|-------|---------|---------|--------------------|-------|-----------|--------|------|
| | | | | | IMP. | DISC. | TIPO DOC. | PROGR. | REV. |
| RST-PD-R0006_R0 | 12/2022 | - | A4 | 1 di 70 | | | | | |

NOME FILE: RST-PD-R0006-R0_Relazione di calcolo preliminare delle strutture.dwg

ENGIE Rinnovabili S.p.A. si riserva tutti i diritti su questo documento che non può essere riprodotto neppure parzialmente senza la sua autorizzazione scritta.

| CODICE ELABORATO | OGGETTO DELL'ELABORATO | PAGINA |
|------------------|---|--------|
| RST-PD-R0006_R0 | INTEGRALE RICOSTRUZIONE PARCO EOLICO "SALEMI-TRAPANI" RELAZIONE DI CALCOLO PRELIMINARE DELLE STRUTTURE | 2 |

INDICE

| | |
|---|-----------|
| 1. PREMESSA | 3 |
| 2. NORMATIVA DI RIFERIMENTO | 4 |
| 3. DESCRIZIONE DELLE OPERE DI FONDAZIONE | 5 |
| 4. AZIONI AGENTI | 7 |
| 4.1. AZIONI SECONDO LA NORMA IEC 61400 | 7 |
| 4.1.1. <i>Azione estrema del vento</i> | 7 |
| 4.1.2. <i>Azione del vento in esercizio</i> | 8 |
| 4.1.3. <i>Azioni equivalenti a fatica</i> | 8 |
| 4.2. COMBINAZIONI DI CALCOLO..... | 9 |
| 4.3. APPLICAZIONE DEI CARICHI..... | 12 |
| 4.3.1. <i>Carichi applicati per le analisi locali</i> | 12 |
| 4.3.2. <i>Carichi applicati per le analisi FEM</i> | 13 |
| 5. CRITERI GENERALI DI CALCOLO | 21 |
| 5.1. TIPO DI ANALISI E MOTIVAZIONE | 21 |
| 5.2. METODO DI VERIFICA SEZIONALE..... | 21 |
| 5.3. CRITERI USATI PER LA MODELLAZIONE DELLA STRUTTURA | 22 |
| 5.4. VERIFICHE STRUTTURALI AGLI SLU E SLE SECONDO IL D.M. 17/01/2018..... | 24 |
| 5.5. MODELLO DI CALCOLO | 25 |
| 6. CARATTERISTICHE DEI MATERIALI | 26 |
| 6.1. DETERMINAZIONE DELLE LUNGHEZZE DI ANCORAGGIO..... | 27 |
| 7. VERIFICHE LOCALI SISTEMA DI ANCORAGGIO TRA TORRE E FONDAZIONE | 29 |
| 7.1. VERIFICA PRESSIONI DI CONTATTO TRA LE FLANGE E CALCESTRUZZO | 29 |
| 7.2. VERIFICA TIRANTI PER IL CALCESTRUZZO COMPRESSO | 35 |
| 7.3. VERIFICA DELLE ARMATURE DEL COLLETTO..... | 37 |
| 8. VERIFICHE GLOBALI PLINTO DI FONDAZIONE | 40 |
| 8.1. CARATTERISTICHE DI SOLLECITAZIONE AGENTI..... | 41 |
| 8.2. VERIFICA PRESSO-FLESSIONE AGLI SLU | 46 |
| 8.3. VERIFICA TAGLIO AGLI SLU..... | 50 |
| 8.4. VERIFICA PRESSO-FLESSIONE AGLI SLE | 53 |
| 8.5. VERIFICA A FATICA..... | 56 |
| 8.6. VERIFICA A PUNZONAMENTO | 62 |
| 8.6.1. <i>Verifica a punzonamento della torre</i> | 62 |
| 8.6.2. <i>Verifica a punzonamento dei pali</i> | 64 |
| 8.7. VERIFICA PALI DI FONDAZIONE | 65 |
| 9. GIUDIZIO MOTIVATO DI ACCETTABILITA' | 67 |
| 9.1. DETERMINAZIONE DELLE SOLLECITAZIONI RESISTENTI..... | 67 |
| 9.2. ANALISI TRASMISSIONE DEGLI SFORZI NEL MODELLO FEM..... | 68 |

| CODICE ELABORATO | OGGETTO DELL'ELABORATO | PAGINA |
|------------------|---|--------|
| RST-PD-R0006_R0 | INTEGRALE RICOSTRUZIONE PARCO EOLICO "SALEMI-TRAPANI" RELAZIONE DI CALCOLO PRELIMINARE DELLE STRUTTURE | 3 |

1. PREMESSA

La società Engie Rinnovabili Spa è proprietaria del parco eolico denominato "Salemi Trapani" avente una potenza complessiva di 66,25 MW. La società Hydro Engineering s.s. è stata incaricata di redigere il progetto definitivo relativo all'integrale ricostruzione dell'esistente impianto eolico.

L'impianto eolico oggi in esercizio trova la propria ubicazione nei territori dei Comuni di Salemi, Trapani e Misiliscemi (quest'ultimo istituito nel febbraio del 2021) facenti parte del Libero consorzio comunale di Trapani, ed è costituito da n. 36 aerogeneratori di fornitura Vestas Italia S.r.l., di cui:

- n. 31 della tipologia V90, in grado di produrre una potenza nominale di 2,00 MW,
- n. 5 della tipologia V52 capaci di sviluppare una potenza nominale di 0,85 MW;

la potenza complessiva del Parco esistente ammonta, quindi, a 66,25 MW. L'energia prodotta viene convogliata, attraverso apposito elettrodotto interrato in MT a 30 kV, presso la Sotto-Stazione Elettrica di Utente, SSEU, 30/150 kV, ubicata, oggi, in territorio del Comune di Misiliscemi (all'epoca della realizzazione del Parco, la SSEU ricadeva in territorio del Comune di Trapani, Frazione di Fulgatore e per questo motivo era stata denominata SSEU di Fulgatore). L'impianto è entrato in esercizio il 23 novembre del 2009. Il progetto di potenziamento consiste nello smantellamento degli aerogeneratori esistenti e nella installazione di n. 18 aerogeneratori, di potenza pari a 7,2 MW per una potenza complessiva di nuova installazione di 129,6 MW, di cui:

- Parco Salemi - n. 10 aerogeneratori saranno serviti da un nuovo elettrodotto interrato in MT da 30 kV, che convoglierà l'energia prodotta presso una nuova SSEU 30/150 kV che sarà realizzata nei pressi della Stazione Elettrica Terna denominata "Partanna 2" (questa nuova SSEU sarà realizzata nel territorio del Comune di Marsala);
- Parco Trapani - n. 8 aerogeneratori saranno serviti da un nuovo elettrodotto interrato in MT da 30 kV che vettorierà l'energia prodotta presso la esistente SSEU 30/150 kV di Misiliscemi (ex Fulgatore) che non subirà alcun ampliamento.

Completano il progetto di integrale ricostruzione le seguenti opere:

- ripristino come ante operam di viabilità e piazzole non più necessarie;
- realizzazione di nuove viabilità e piazzole a servizio dei nuovi aerogeneratori;
- adeguamenti di viabilità e piazzole esistenti a servizio dei nuovi aerogeneratori.

Il presente documento si propone di fornire i calcoli preliminare delle fondazioni.

| CODICE ELABORATO | OGGETTO DELL'ELABORATO | PAGINA |
|------------------|---|--------|
| RST-PD-R0006_R0 | INTEGRALE RICOSTRUZIONE PARCO EOLICO "SALEMI-TRAPANI" RELAZIONE DI CALCOLO PRELIMINARE DELLE STRUTTURE | 4 |

2. NORMATIVA DI RIFERIMENTO

La normativa cui viene fatto riferimento nelle fasi di calcolo e progettazione sono l' "Aggiornamento delle Norme Tecniche per le Costruzioni", D.M. 17/01/2018.

Si farà, inoltre, riferimento alle seguenti normative:

- Circolare esplicativa n° 7 del 21/01/2019 "Istruzioni per l'applicazione delle Norme tecniche per le costruzioni di cui al D.M. 17/01/2018";
- Legge n. 1086 del 05.11.1971 "Norme per la disciplina delle opere in c.a. normale e precompresso, ed a struttura metallica";
- Legge n. 64 del 02.02.1974 – "Provvedimenti per le costruzioni con particolari prescrizioni per le zone sismiche".
- IEC 60400-1 "Wind Turbine safety and design";
- Eurocodice 2 "Design of concrete structures".
- Eurocodice 3 "Design of steel structures".
- Eurocodice 4 "Design of composite steel and concrete structures".
- Eurocodice 7 "Geotechnical design".
- Eurocodice 8 "Design of structures for earthquake resistance".

| CODICE ELABORATO | OGGETTO DELL'ELABORATO | PAGINA |
|------------------|---|--------|
| RST-PD-R0006_R0 | INTEGRALE RICOSTRUZIONE PARCO EOLICO "SALEMI-TRAPANI" RELAZIONE DI CALCOLO PRELIMINARE DELLE STRUTTURE | 5 |

3. DESCRIZIONE DELLE OPERE DI FONDAZIONE

Nel presente capitolo si riporta la descrizione delle opere di fondazione previste a seguito delle risultanze delle indagini geologiche.

La fondazione di tipo indiretto di ciascun aerogeneratore sarà costituita da un plinto circolare, avente diametro pari a 20 m, posto su n°22 pali aventi diametro $\Phi 1000$ e lunghezza variabile:

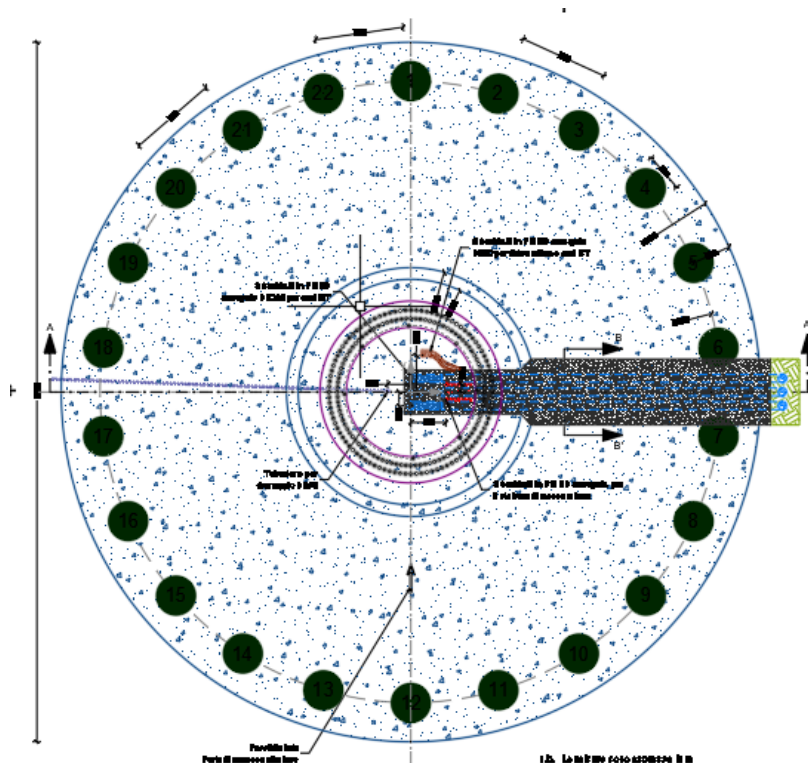


Fig. 1 Pianta del plinto con indicazione dei pali di fondazione (n.22 del diametro 100 cm)

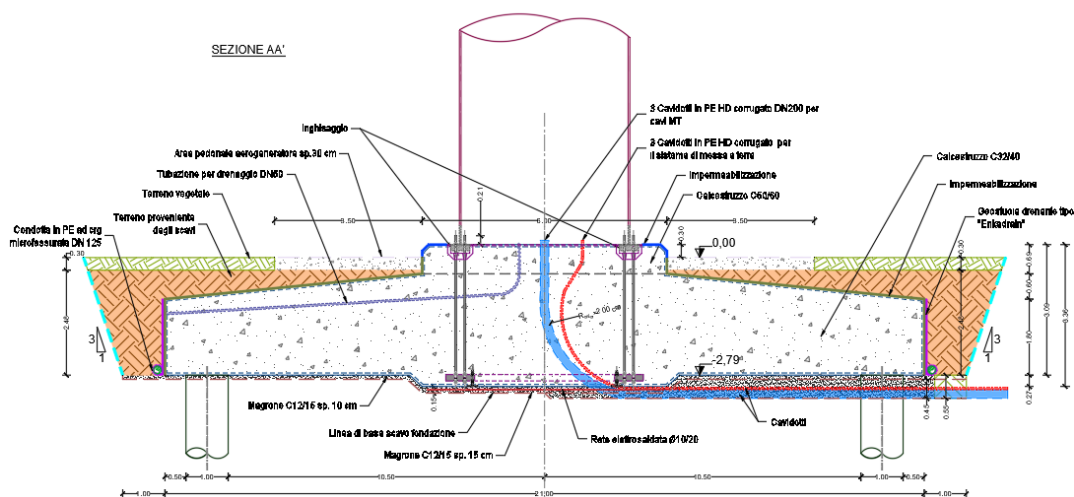


Fig.2 Sezione del plinto

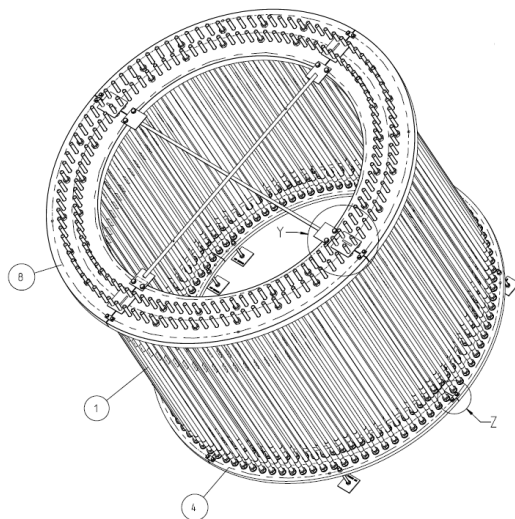
| CODICE ELABORATO | OGGETTO DELL'ELABORATO | PAGINA |
|------------------|---|--------|
| RST-PD-R0006_R0 | INTEGRALE RICOSTRUZIONE PARCO EOLICO "SALEMI-TRAPANI" RELAZIONE DI CALCOLO PRELIMINARE DELLE STRUTTURE | 6 |

Il plinto presenta una suola di forma troncoconica, con altezza pari a 1,85m al bordo esterno e pari a 2,55m in corrispondenza della parte centrale, ad un raggio di 3,00m, ove è presente un colletto cilindrico che si eleva sulla suola di ulteriori 0,60m. Il colletto presenta quindi un'altezza complessiva pari a 3,15m.

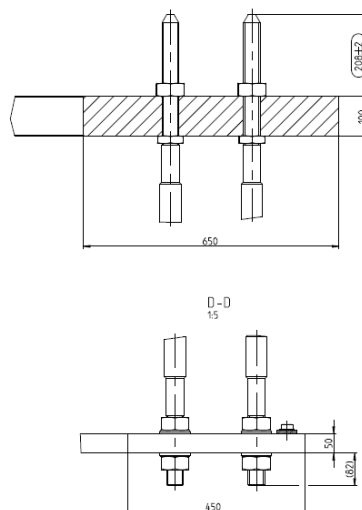
All'interno del plinto di fondazione, al fine di collegare la torre metallica di sostegno dell'aerogeneratore alla fondazione, sarà annegata una gabbia metallica di tirafondi di ancoraggio di forma cilindrica dotata di una piastra superiore ed una piastra inferiore: la piastra superiore, che fungerà da piastra di distribuzione del carico proveniente dalla torre, presenta uno spessore di 100mm e larghezza di 650mm, mentre la piastra inferiore presenta spessore di 50mm e larghezza 450mm.

Sotto la piastra di distribuzione, incassata nella fondazione, sarà eseguito un getto di inghisaggio con malta ad alta resistenza dello spessore pari a 11cm e larghezza minima pari a 77cm che ne permetterà il perfetto livellamento.

Entrambe le piastre sono dotate di n°2 serie concentriche di n°100 fori che consentiranno il passaggio di altrettante barre filettate ad alta resistenza di tipo M42 classe 10.9, che, tramite dadi, garantiscono il corretto collegamento delle due piastre alla Torre in elevazione.



Vista isometrica d'insieme



Sezione verticale

| CODICE ELABORATO | OGGETTO DELL'ELABORATO | PAGINA |
|------------------|---|--------|
| RST-PD-R0006_R0 | INTEGRALE RICOSTRUZIONE PARCO EOLICO "SALEMI-TRAPANI" RELAZIONE DI CALCOLO PRELIMINARE DELLE STRUTTURE | 7 |

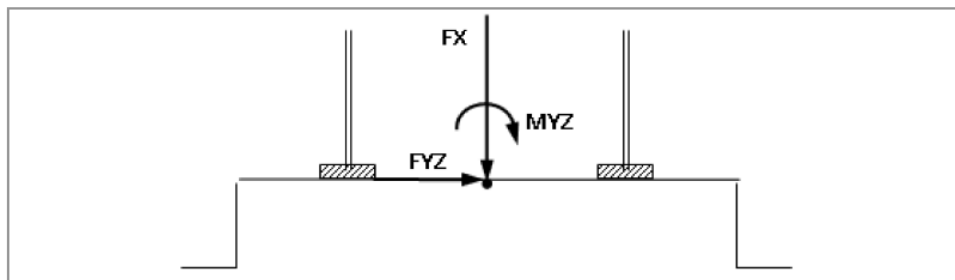
4. AZIONI AGENTI

I carichi agenti sulle opere di fondazione sono essenzialmente quelli scaricati dalle torri.

Il calcolo di progetto della torre di sostegno dell'aerogeneratore, allegato al presente progetto, è stato eseguito dal produttore, sulla base delle sollecitazioni massime previste dalla IEC 61400-1 e dalle NTC 2018.

Le sollecitazioni considerate sulle opere di fondazione sono quelle provenienti dalla struttura sovrastante di una società produttrice di torri similari.

Tali carichi sono dati con riferimento all'intersezione dell'asse della torre con estradosso dell'opera di fondazione secondo quanto riportato nella seguente figura.



Il carico dovuto alla neve non viene considerato, in quanto non esistono reali possibilità di accumulo significativo di neve sia sulla navicella che sulle pale.

Oltre a tali sollecitazioni, si è considerato agente sulle opere di fondazione il peso proprio ed un carico uniformemente distribuito per tenere conto del terreno di ricoprimento della fondazione.

4.1. AZIONI SECONDO LA NORMA IEC 61400

4.1.1. AZIONE ESTREMA DEL VENTO

L'azione estrema del vento che agisce sulla torre secondo quanto disposto dalla norma IEC 61400 è stata calcolata dal produttore delle torri e confermata dal calcolista della struttura in elevazione ed è riassunta nelle seguenti tabelle, tratte dai documenti forniti dal produttore delle torri, in cui è anche riportato il codice di riferimento della combinazione considerata ed il coefficiente di sicurezza relativo alla tipologia di combinazione (normale o anormale).

| | | |
|------------------|---|--------|
| CODICE ELABORATO | OGGETTO DELL'ELABORATO | PAGINA |
| RST-PD-R0006_R0 | INTEGRALE RICOSTRUZIONE PARCO EOLICO "SALEMI-TRAPANI" RELAZIONE DI CALCOLO PRELIMINARE DELLE STRUTTURE | 8 |

| Azioni SLU amplificate con i coefficienti di sicurezza secondo le norme IEC | | | | | | |
|---|--------------------------------|---------|----------------|-----------------|----------------|-----------------|
| Lead | LC/Family | IEC PLF | F _x | F _{yz} | M _x | M _{yz} |
| LC | [-] | [-] | [kN] | [kN] | [kN m] | [kN m] |
| 8.1 | IEC_Ed3_NCV_00_08010000 Max Fz | 1,50 | 9.795 | 136 | -950 | 14.844 |
| 1.3 | IEC_Ed3_NCV_60_01030000 Max Fr | 1,35 | 8.881 | 1.528 | 1.185 | 156.377 |
| 1.4 | IEC_Ed3_NCV_60_01040000 Max Mz | 1,35 | 8.592 | 338 | 11.541 | 53.032 |
| 1.3 | IEC_Ed3_NCV_60_01030000 Max Mr | 1,35 | 8.994 | 1.394 | -1.653 | 158.914 |

| Azioni SLU non amplificate | | | | | | |
|----------------------------|--------------------------------|---------|----------------|-----------------|----------------|-----------------|
| Lead | LC/Family | IEC PLF | F _x | F _{yz} | M _x | M _{yz} |
| LC | [-] | [-] | [kN] | [kN] | [kN m] | [kN m] |
| 8.1 | IEC_Ed3_NCV_00_08010000 Max Fz | 1,50 | 6.530 | 91 | -633 | 9.896 |
| 1.3 | IEC_Ed3_NCV_60_01030000 Max Fr | 1,35 | 6.579 | 1.132 | 878 | 115.835 |
| 1.4 | IEC_Ed3_NCV_60_01040000 Max Mz | 1,35 | 6.364 | 250 | 8.549 | 39.283 |
| 1.3 | IEC_Ed3_NCV_60_01030000 Max Mr | 1,35 | 6.662 | 1.033 | -1.224 | 117.714 |

4.1.2. AZIONE DEL VENTO IN ESERCIZIO

L'azione del vento agli stati limite di esercizio che agisce sulla torre secondo quanto disposto dalla norma IEC 61400 è stata calcolata dal produttore delle torri e confermata dal calcolista della struttura in elevazione; di seguito una tabella riassuntiva delle azioni.

| Azioni SLE | | | | |
|---------------------|----------------|-----------------|----------------|-----------------|
| LC/Family | F _x | F _{yz} | M _x | M _{yz} |
| [-] | [kN] | [kN] | [kN m] | [kN m] |
| Characteristic load | 6.662 | 1.033 | -1.224 | 117.714 |
| Permanent load | 6.902 | 875 | 2.739 | 97.465 |

4.1.3. AZIONI EQUIVALENTI A FATICA

Le azioni equivalenti a fatica che agiscono sulla torre secondo quanto disposto dalla norma IEC 61400 sono state calcolate dal produttore delle torri e riassunte nella seguente tabella per m=7.

| | | |
|------------------|---|--------|
| CODICE ELABORATO | OGGETTO DELL'ELABORATO | PAGINA |
| RST-PD-R0006_R0 | INTEGRALE RICOSTRUZIONE PARCO EOLICO "SALEMI-TRAPANI" RELAZIONE DI CALCOLO PRELIMINARE DELLE STRUTTURE | 9 |

| Damage-equivalent load range for fatigue loads | | | | | |
|--|---|------------|------------|-------------|-------------|
| N | m | FXTB kN | FZTB kN | MXTB kNm | MYTB kNm |
| 1.00E+07 | 7 | 138 | 501 | 5763 | 44116 |
| gamma-f - FAT | | 1.0 | 1.0 | 1.0 | 1.0 |
| | | | | | |
| Mean load | | 6553 | 482 | 60 | 56134 |

4.2. COMBINAZIONI DI CALCOLO

Per la verifica degli elementi strutturali del nodo torre/plinto di fondazione e per la verifica delle fondazioni, le combinazioni di calcolo considerate sono quelle previste dal D.M. 17/01/2018 per i vari stati limite e per le varie azioni e tipologie costruttive.

In particolare, sono state analizzate le seguenti combinazioni delle azioni:

- Combinazione fondamentale, impiegata per gli stati limite ultimi (S.L.U.) (2.5.1):

$$\gamma_{G1}G_1 + \gamma_{G2}G_2 + \gamma_P P + \gamma_{Q1}Q_{k1} + \gamma_{Q2}\psi_{02}Q_{k2} + \dots$$

- Combinazione caratteristica per gli stati limite di esercizio (S.L.E.), impiegata per le analisi nelle condizioni di esercizio irreversibili (2.5.2):

$$G_1 + G_2 + P + Q_{k1} + \psi_{02}Q_{k2} + \dots$$

- Combinazione quasi permanente per gli stati limite di esercizio (S.L.E.), impiegata per le analisi nelle condizioni di esercizio degli effetti a lungo termine (2.5.4):

$$G_1 + G_2 + P + \psi_{21}Q_{k1} + \psi_{22}Q_{k2} + \dots$$

- Combinazione sismica, impiegata per gli stati limite ultimi e di esercizio connessi all'azione sismica E (2.5.5):

$$E + G_1 + G_2 + P + \psi_{21}Q_{k1} + \psi_{22}Q_{k2} + \dots$$

in tali condizioni di carico l'azione sismica si somma alle sollecitazioni che agisce sulla torre impiegate per le analisi degli effetti a lungo termine.

Le verifiche a fatica sono state eseguite considerando le due combinazioni di carico a fatica che forniscono rispettivamente le sollecitazioni massime e minime sui singoli componenti della struttura. Tali combinazioni di carico sono state ricavate utilizzando i carichi a fatica corrispondenti a 10^7 cicli con $m=7$ ed i carichi a fatica medi e determinando le sollecitazioni

| CODICE ELABORATO | OGGETTO DELL'ELABORATO | PAGINA |
|------------------|---|--------|
| RST-PD-R0006_R0 | INTEGRALE RICOSTRUZIONE PARCO EOLICO "SALEMI-TRAPANI" RELAZIONE DI CALCOLO PRELIMINARE DELLE STRUTTURE | 10 |

nel seguente modo:

- Combinazione a fatica che definisce le azioni massime:

$$G_1 + G_2 + P + (Q_{k1} + \psi_{02}Q_{k2} + \dots)_{medi} + \Delta(Q_{k1} + \psi_{02}Q_{k2} + \dots)_{fatica} / 2$$

- Combinazione a fatica che definisce le azioni minime:

$$G_1 + G_2 + P + (Q_{k1} + \psi_{02}Q_{k2} + \dots)_{medi} - \Delta(Q_{k1} + \psi_{02}Q_{k2} + \dots)_{fatica} / 2$$

Nelle espressioni precedenti i simboli utilizzati hanno il seguente significato:

- G sono le azioni permanenti, azioni che agiscono durante tutta la vita nominale della costruzione, la cui variazione di intensità nel tempo è così piccola e lenta da poterle considerare con sufficiente approssimazione costanti nel tempo. Esse sono:
 - peso proprio di tutti gli elementi strutturali; peso proprio del terreno, forze indotte dal terreno (esclusi gli effetti di carichi variabili applicati al terreno); forze risultanti dalla pressione dell'acqua (quando si configurino costanti nel tempo) (G1);
 - peso proprio di tutti gli elementi non strutturali (G2);
 - spostamenti e deformazioni imposti, previsti dal progetto e realizzati all'atto della costruzione;
 - pretensione e precompressione (P);
 - spostamenti differenziali;
- Q sono le azioni variabili, azioni agenti sulla struttura o sull'elemento strutturale con valori istantanei che possono risultare sensibilmente diversi fra loro nel tempo, suddivise come:
 - di lunga durata: agisce con un'intensità significativa, anche non continuativamente, per un tempo non trascurabile rispetto alla vita nominale della struttura;
 - di breve durata: azioni che agiscono per un periodo di tempo breve rispetto alla vita nominale della struttura.

Per le analisi agli SLU, alle sollecitazioni sopra riportate sono stati applicati i fattori parziali di sicurezza sotto elencati, riportati nella tabella 6.2.I del D.M. 17 gennaio 2018.

| CODICE ELABORATO | OGGETTO DELL'ELABORATO | PAGINA |
|------------------|---|--------|
| RST-PD-R0006_R0 | INTEGRALE RICOSTRUZIONE PARCO EOLICO "SALEMI-TRAPANI" RELAZIONE DI CALCOLO PRELIMINARE DELLE STRUTTURE | 11 |

| Carichi | Effetto | Coefficiente parziale γ_f | EQU | A1 | A2 |
|----------------------------------|-------------|-------------------------------------|-----|-----|-----|
| Permanenti | Favorevole | γ_{g1} | 0,9 | 1,0 | 1,0 |
| | Sfavorevole | | 1,1 | 1,3 | 1,0 |
| Permanenti non strutturali | Favorevole | γ_{g2} | 0,8 | 0,8 | 0,8 |
| | Sfavorevole | | 1,5 | 1,5 | 1,3 |
| Variabili | Favorevole | γ_{Qi} | 0,0 | 0,0 | 0,0 |
| | Sfavorevole | | 1,5 | 1,5 | 1,3 |

In tali equazioni, le azioni orizzontali ed i momenti flettenti provenienti dalla torre sono stati considerati come azioni variabili, applicando quindi un coefficiente moltiplicativo pari a 1,50 così come previsto al punto 6.2.4.1.1 del D.M. 17/01/2018.

Come si evincerà nel proseguo del presente lavoro, le azioni dimensionanti per la presente tipologia di strutture sono costituite dalle sollecitazioni derivanti dall'azione del vento, risultando queste ultime molto più gravose delle sollecitazioni ricavate dall'azione sismica. Questa considerazione vale per le azioni calcolate allo SLU così come per le azioni calcolate allo SLE e quindi anche per le combinazioni sismiche ed in particolare per le combinazioni allo SLO e SLE che producono sollecitazioni inferiori a quelle dovute al normale funzionamento della turbina.

| | | |
|------------------|---|--------|
| CODICE ELABORATO | OGGETTO DELL'ELABORATO | PAGINA |
| RST-PD-R0006_R0 | INTEGRALE RICOSTRUZIONE PARCO EOLICO "SALEMI-TRAPANI" RELAZIONE DI CALCOLO PRELIMINARE DELLE STRUTTURE | 12 |

4.3. APPLICAZIONE DEI CARICHI

Le sollecitazioni trasmesse dalla torre alla fondazione per le varie condizioni di carico sono state riassunte nella seguente tabella.

| AZIONI ALLA SOMMITA' DELLA FONDAZIONE comprehensive del peso proprio della torre | | | | | | | | | | |
|---|-------------------------|-----------------------------------|-----------------------------------|-----------------------------------|----------|-------------|-----------------------------|------------------------------|---------------------|---------------------|
| | IEC_Ed3_N CV LC_0801 | IEC_Ed3_N CV LC_0103 max Fr | IEC_Ed3_N CV LC_0104 max Mr | IEC_Ed3_N CV LC_0104 max Mr | DM vento | Sismic load | SLS_CH IEC production | SLS_IEC Permanent Load | Fatigue Load Min | Fatigue Load Max |
| F _{yz} (KN) | 91 | 1.132 | 250 | 1.033 | 1.193 | 368 | 1.033 | 875 | 232 | 733 |
| M _{yz} (KN m) | 9.896 | 117.671 | 39.283 | 117.714 | 92.378 | 14.794 | 117.714 | 97.465 | 34.076 | 78.192 |
| M _x (KN m) | -633 | 878 | 8.549 | -1.224 | 0 | 566 | -1.224 | 2.739 | -2.822 | 2.942 |
| F _x (KN) | 6.530 | 6.579 | 6.364 | 6.662 | 6.530 | 6.597 | 6.662 | 6.902 | 6.484 | 6.622 |

Tali azioni sono comprensive del peso proprio della turbina e della torre metallica che risulta pari a circa 6.410 KN.

4.3.1. CARICHI APPLICATI PER LE ANALISI LOCALI

Le analisi locali relative al sistema di connessione tra torre e fondazione sono state eseguite analizzando tra quelle precedentemente descritte le combinazioni di interesse più gravose, tenuto conto anche dei coefficienti di amplificazione delle forze da prendere in considerazione.

L'analisi condotta ha portato alla selezione delle azioni riassunte nelle seguenti tabelle:

| | WTG Load | IEC_Ed3_ NCV LC_0104 max Mr | SLS_CH IEC production Characteristic | SLS_IEC Permanent loads | Fatigue Load Min | Fatigue Load Max |
|-------------------------|----------|--------------------------------------|--|-------------------------------|---------------------|---------------------|
| F _{ris} (KN) | 0,00 | 1.032,59 | 1.032,59 | 875,00 | 231,50 | 732,50 |
| M _{ris} (KN m) | 0,00 | 117.714,07 | 117.714,07 | 97.465,00 | 34.076,00 | 78.192,00 |
| M _z | 0,00 | -1.224,44 | -1.224,44 | 2.739,00 | -2.821,50 | 2.941,50 |
| F _z | -6410,00 | -252,22 | -252,22 | -492,00 | -74,00 | -212,00 |
| γ | 1,30 | 1,50 | 1,00 | 1,00 | 1,00 | 1,00 |

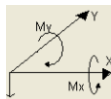
Tali azioni, opportunamente combinate ed amplificate, hanno portato alle seguenti combinazioni di carico:

| | SLU | Comb. rara | Comb. QP | fatica minimi | fatica massimi |
|-------------------------|------------|------------|-----------|------------------|-------------------|
| F _{ris} (KN) | 1.548,89 | 1.032,59 | 875,00 | 231,50 | 732,50 |
| M _{ris} (KN m) | 176.571,11 | 117.714,07 | 97.465,00 | 34.076,00 | 78.192,00 |
| M _z | -1.836,67 | -1.224,44 | 2.739,00 | -2.821,50 | 2.941,50 |
| F _z | -8.711,33 | -6.662,22 | -6.902,00 | -6.484,00 | -6.622,00 |

| CODICE ELABORATO | OGGETTO DELL'ELABORATO | PAGINA |
|------------------|---|--------|
| RST-PD-R0006_R0 | INTEGRALE RICOSTRUZIONE PARCO EOLICO "SALEMI-TRAPANI" RELAZIONE DI CALCOLO PRELIMINARE DELLE STRUTTURE | 13 |

4.3.2. CARICHI APPLICATI PER LE ANALISI FEM

Le azioni provenienti dalla struttura in elevazione sono state applicate al modello FEM della piastra di fondazione in accordo al sistema di riferimento del software, rappresentato nella figura seguente.



La direzione lungo cui agisce l'azione risultante è stata quindi posta coincidente con uno degli assi principali della fondazione, allo scopo di studiare le sollecitazioni radiali e tangenziali agenti lungo la direttrice maggiormente sollecitata ed estendere i risultati dell'analisi alla totalità della fondazione. Le azioni sono state distribuite in un numero di 22 punti, utilizzando i seguenti dati:

| Parametri per la redistribuzione delle forze | | |
|--|---------|--|
| n | 24 | (numero di parti in cui è divisa la circonferenza) |
| R | 2,00 m | (raggio medio della gabbia di tirafondi) |
| $\Delta\alpha$ | 15,00 ° | (ampiezza angolo relativo all'arco di riferimento) |
| C | 12,57 m | (lunghezza circonferenza) |
| ΔC | 0,52 m | (lunghezza arco di circonferenza) |

Per il peso proprio, si è considerata la seguente sollecitazione risultante:

| F_{ris} (KN) | M_{ris} (KN m) | M_z (KN m) | F_z (KN) |
|-------------------|------------------------|--------------------|---------------|
| 0,00 | 0,00 | 0,00 | - 6.410,00 |

Che ha generato la seguente distribuzione di forze:

| Peso proprio WTG | | | | |
|------------------|----------|-------|-------|--------|
| i | α | x_i | y_i | P_z |
| 1 | 0,00 | 2,00 | 0,00 | 267,08 |
| 2 | 15,00 | 1,93 | 0,52 | 267,08 |
| 3 | 30,00 | 1,73 | 1,00 | 267,08 |
| 4 | 45,00 | 1,41 | 1,41 | 267,08 |
| 5 | 60,00 | 1,00 | 1,73 | 267,08 |
| 6 | 75,00 | 0,52 | 1,93 | 267,08 |
| 7 | 90,00 | 0,00 | 2,00 | 267,08 |
| 8 | 105,00 | -0,52 | 1,93 | 267,08 |
| 9 | 120,00 | -1,00 | 1,73 | 267,08 |
| 10 | 135,00 | -1,41 | 1,41 | 267,08 |
| 11 | 150,00 | -1,73 | 1,00 | 267,08 |
| 12 | 165,00 | -1,93 | 0,52 | 267,08 |
| 13 | 180,00 | -2,00 | 0,00 | 267,08 |
| 14 | 195,00 | -1,93 | -0,52 | 267,08 |
| 15 | 210,00 | -1,73 | -1,00 | 267,08 |
| 16 | 225,00 | -1,41 | -1,41 | 267,08 |
| 17 | 240,00 | -1,00 | -1,73 | 267,08 |
| 18 | 255,00 | -0,52 | -1,93 | 267,08 |
| 19 | 270,00 | 0,00 | -2,00 | 267,08 |
| 20 | 285,00 | 0,52 | -1,93 | 267,08 |
| 21 | 300,00 | 1,00 | -1,73 | 267,08 |
| 22 | 315,00 | 1,41 | -1,41 | 267,08 |

| CODICE ELABORATO | OGGETTO DELL'ELABORATO | PAGINA |
|------------------|---|--------|
| RST-PD-R0006_R0 | INTEGRALE RICOSTRUZIONE PARCO EOLICO "SALEMI-TRAPANI" RELAZIONE DI CALCOLO PRELIMINARE DELLE STRUTTURE | 14 |

Per la condizione "IEC_Ed3_NCV LC_0801 max Fz", si è considerata la seguente sollecitazione risultante:

| F_{ris} (KN) | M_{ris} (KN m) | M_z (KN m) | F_z (KN) |
|----------------|------------------|--------------|------------|
| 90,67 | 9.896,00 | -633,33 | 120,00 |

Che ha generato la seguente distribuzione di forze:

| IEC_Ed3_NCV LC_0801 max Fz | | | | |
|----------------------------|----------|-------|-------|---------|
| i | α | x_i | y_i | P_z |
| 1 | 0,00 | 2,00 | 0,00 | 5,00 |
| 2 | 15,00 | 1,93 | 0,52 | -101,72 |
| 3 | 30,00 | 1,73 | 1,00 | -201,17 |
| 4 | 45,00 | 1,41 | 1,41 | -286,56 |
| 5 | 60,00 | 1,00 | 1,73 | -352,09 |
| 6 | 75,00 | 0,52 | 1,93 | -393,28 |
| 7 | 90,00 | 0,00 | 2,00 | -407,33 |
| 8 | 105,00 | -0,52 | 1,93 | -393,28 |
| 9 | 120,00 | -1,00 | 1,73 | -352,09 |
| 10 | 135,00 | -1,41 | 1,41 | -286,56 |
| 11 | 150,00 | -1,73 | 1,00 | -201,17 |
| 12 | 165,00 | -1,93 | 0,52 | -101,72 |
| 13 | 180,00 | -2,00 | 0,00 | 5,00 |
| 14 | 195,00 | -1,93 | -0,52 | 111,72 |
| 15 | 210,00 | -1,73 | -1,00 | 211,17 |
| 16 | 225,00 | -1,41 | -1,41 | 296,56 |
| 17 | 240,00 | -1,00 | -1,73 | 362,09 |
| 18 | 255,00 | -0,52 | -1,93 | 403,28 |
| 19 | 270,00 | 0,00 | -2,00 | 417,33 |
| 20 | 285,00 | 0,52 | -1,93 | 403,28 |
| 21 | 300,00 | 1,00 | -1,73 | 362,09 |
| 22 | 315,00 | 1,41 | -1,41 | 296,56 |

| CODICE ELABORATO | OGGETTO DELL'ELABORATO | PAGINA |
|------------------|---|--------|
| RST-PD-R0006_R0 | INTEGRALE RICOSTRUZIONE PARCO EOLICO "SALEMI-TRAPANI" RELAZIONE DI CALCOLO PRELIMINARE DELLE STRUTTURE | 15 |

Per la condizione "IEC_Ed3_NCV LC_0103 max Fr", si è considerata la seguente sollecitazione risultante:

| F_{ris} (KN) | M_{ris} (KN m) | M_z (KN m) | F_z (KN) |
|----------------|------------------|--------------|------------|
| 1.132,00 | 117.671,00 | 878,00 | 169,00 |

Che ha generato la seguente distribuzione di forze:

| IEC_Ed3_NCV LC_0103 max Fr | | | | |
|----------------------------|----------|-------|-------|-----------|
| i | α | x_i | y_i | P_z |
| 1 | 0,00 | 2,00 | 0,00 | 7,04 |
| 2 | 15,00 | 1,93 | 0,52 | -1.261,94 |
| 3 | 30,00 | 1,73 | 1,00 | -2.444,44 |
| 4 | 45,00 | 1,41 | 1,41 | -3.459,87 |
| 5 | 60,00 | 1,00 | 1,73 | -4.239,04 |
| 6 | 75,00 | 0,52 | 1,93 | -4.728,85 |
| 7 | 90,00 | 0,00 | 2,00 | -4.895,92 |
| 8 | 105,00 | -0,52 | 1,93 | -4.728,85 |
| 9 | 120,00 | -1,00 | 1,73 | -4.239,04 |
| 10 | 135,00 | -1,41 | 1,41 | -3.459,87 |
| 11 | 150,00 | -1,73 | 1,00 | -2.444,44 |
| 12 | 165,00 | -1,93 | 0,52 | -1.261,94 |
| 13 | 180,00 | -2,00 | 0,00 | 7,04 |
| 14 | 195,00 | -1,93 | -0,52 | 1.276,02 |
| 15 | 210,00 | -1,73 | -1,00 | 2.458,52 |
| 16 | 225,00 | -1,41 | -1,41 | 3.473,96 |
| 17 | 240,00 | -1,00 | -1,73 | 4.253,13 |
| 18 | 255,00 | -0,52 | -1,93 | 4.742,94 |
| 19 | 270,00 | 0,00 | -2,00 | 4.910,00 |
| 20 | 285,00 | 0,52 | -1,93 | 4.742,94 |
| 21 | 300,00 | 1,00 | -1,73 | 4.253,13 |
| 22 | 315,00 | 1,41 | -1,41 | 3.473,96 |

Per la condizione "IEC_Ed3_NCV LC_0104 max Mz", si è considerata la seguente sollecitazione risultante:

| F_{ris} (KN) | M_{ris} (KN m) | M_z (KN m) | F_z (KN) |
|----------------|------------------|--------------|------------|
| 250,37 | 39.282,96 | 8.548,89 | -45,56 |

| | | |
|------------------|---|--------|
| CODICE ELABORATO | OGGETTO DELL'ELABORATO | PAGINA |
| RST-PD-R0006_R0 | INTEGRALE RICOSTRUZIONE PARCO EOLICO "SALEMI-TRAPANI" RELAZIONE DI CALCOLO PRELIMINARE DELLE STRUTTURE | 16 |

Che ha generato la seguente distribuzione di forze:

| IEC_Ed3_NCV LC_0104 max Mz | | | | |
|----------------------------|----------|-------|-------|-----------|
| i | α | x_i | y_i | Pz |
| 1 | 0,00 | 2,00 | 0,00 | -1,90 |
| 2 | 15,00 | 1,93 | 0,52 | -425,53 |
| 3 | 30,00 | 1,73 | 1,00 | -820,29 |
| 4 | 45,00 | 1,41 | 1,41 | -1.159,28 |
| 5 | 60,00 | 1,00 | 1,73 | -1.419,40 |
| 6 | 75,00 | 0,52 | 1,93 | -1.582,92 |
| 7 | 90,00 | 0,00 | 2,00 | -1.638,69 |
| 8 | 105,00 | -0,52 | 1,93 | -1.582,92 |
| 9 | 120,00 | -1,00 | 1,73 | -1.419,40 |
| 10 | 135,00 | -1,41 | 1,41 | -1.159,28 |
| 11 | 150,00 | -1,73 | 1,00 | -820,29 |
| 12 | 165,00 | -1,93 | 0,52 | -425,53 |
| 13 | 180,00 | -2,00 | 0,00 | -1,90 |
| 14 | 195,00 | -1,93 | -0,52 | 421,73 |
| 15 | 210,00 | -1,73 | -1,00 | 816,50 |
| 16 | 225,00 | -1,41 | -1,41 | 1.155,49 |
| 17 | 240,00 | -1,00 | -1,73 | 1.415,60 |
| 18 | 255,00 | -0,52 | -1,93 | 1.579,12 |
| 19 | 270,00 | 0,00 | -2,00 | 1.634,89 |
| 20 | 285,00 | 0,52 | -1,93 | 1.579,12 |
| 21 | 300,00 | 1,00 | -1,73 | 1.415,60 |
| 22 | 315,00 | 1,41 | -1,41 | 1.155,49 |

Per la condizione "IEC_Ed3_NCV LC_0104 max Mr", si è considerata la seguente sollecitazione risultante:

| F_{ris} (KN) | M_{ris} (KN m) | M_z (KN m) | F_z (KN) |
|----------------|------------------|--------------|------------|
| 1.032,59 | 117.714,07 | -1.224,44 | 252,22 |

Che ha generato la seguente distribuzione di forze:

| IEC_Ed3_NCV LC_0104 max Mr | | | | |
|----------------------------|----------|-------|-------|-----------|
| i | α | x_i | y_i | Pz |
| 1 | 0,00 | 2,00 | 0,00 | 10,51 |
| 2 | 15,00 | 1,93 | 0,52 | -1.258,93 |
| 3 | 30,00 | 1,73 | 1,00 | -2.441,87 |
| 4 | 45,00 | 1,41 | 1,41 | -3.457,67 |
| 5 | 60,00 | 1,00 | 1,73 | -4.237,13 |
| 6 | 75,00 | 0,52 | 1,93 | -4.727,12 |
| 7 | 90,00 | 0,00 | 2,00 | -4.894,24 |
| 8 | 105,00 | -0,52 | 1,93 | -4.727,12 |
| 9 | 120,00 | -1,00 | 1,73 | -4.237,13 |
| 10 | 135,00 | -1,41 | 1,41 | -3.457,67 |
| 11 | 150,00 | -1,73 | 1,00 | -2.441,87 |
| 12 | 165,00 | -1,93 | 0,52 | -1.258,93 |
| 13 | 180,00 | -2,00 | 0,00 | 10,51 |
| 14 | 195,00 | -1,93 | -0,52 | 1.279,95 |
| 15 | 210,00 | -1,73 | -1,00 | 2.462,89 |
| 16 | 225,00 | -1,41 | -1,41 | 3.478,69 |
| 17 | 240,00 | -1,00 | -1,73 | 4.258,15 |
| 18 | 255,00 | -0,52 | -1,93 | 4.748,14 |
| 19 | 270,00 | 0,00 | -2,00 | 4.915,26 |
| 20 | 285,00 | 0,52 | -1,93 | 4.748,14 |
| 21 | 300,00 | 1,00 | -1,73 | 4.258,15 |
| 22 | 315,00 | 1,41 | -1,41 | 3.478,69 |

| CODICE ELABORATO | OGGETTO DELL'ELABORATO | PAGINA |
|------------------|---|--------|
| RST-PD-R0006_R0 | INTEGRALE RICOSTRUZIONE PARCO EOLICO "SALEMI-TRAPANI" RELAZIONE DI CALCOLO PRELIMINARE DELLE STRUTTURE | 17 |

Per la condizione "DM Vento", si è considerata la seguente sollecitazione risultante:

| F_{ris} (KN) | M_{ris} (KN m) | M_z (KN m) | F_z (KN) |
|----------------|------------------|--------------|------------|
| 1.193,06 | 92.378,28 | 0,00 | 120,00 |

Che ha generato la seguente distribuzione di forze:

| DM Vento | | | | |
|----------|----------|-------|-------|-----------|
| i | α | x_i | y_i | P_z |
| 1 | 0,00 | 2,00 | 0,00 | 5,00 |
| 2 | 15,00 | 1,93 | 0,52 | -991,22 |
| 3 | 30,00 | 1,73 | 1,00 | -1.919,55 |
| 4 | 45,00 | 1,41 | 1,41 | -2.716,72 |
| 5 | 60,00 | 1,00 | 1,73 | -3.328,41 |
| 6 | 75,00 | 0,52 | 1,93 | -3.712,94 |
| 7 | 90,00 | 0,00 | 2,00 | -3.844,10 |
| 8 | 105,00 | -0,52 | 1,93 | -3.712,94 |
| 9 | 120,00 | -1,00 | 1,73 | -3.328,41 |
| 10 | 135,00 | -1,41 | 1,41 | -2.716,72 |
| 11 | 150,00 | -1,73 | 1,00 | -1.919,55 |
| 12 | 165,00 | -1,93 | 0,52 | -991,22 |
| 13 | 180,00 | -2,00 | 0,00 | 5,00 |
| 14 | 195,00 | -1,93 | -0,52 | 1.001,22 |
| 15 | 210,00 | -1,73 | -1,00 | 1.929,55 |
| 16 | 225,00 | -1,41 | -1,41 | 2.726,72 |
| 17 | 240,00 | -1,00 | -1,73 | 3.338,41 |
| 18 | 255,00 | -0,52 | -1,93 | 3.722,94 |
| 19 | 270,00 | 0,00 | -2,00 | 3.854,10 |
| 20 | 285,00 | 0,52 | -1,93 | 3.722,94 |
| 21 | 300,00 | 1,00 | -1,73 | 3.338,41 |
| 22 | 315,00 | 1,41 | -1,41 | 2.726,72 |
| 23 | 330,00 | 1,73 | -1,00 | 1.929,55 |
| 24 | 345,00 | 1,93 | -0,52 | 1.001,22 |

Per la condizione "Sismic load SLV", si è considerata la seguente sollecitazione risultante:

| F_{ris} (KN) | M_{ris} (KN m) | M_z (KN m) | F_z (KN) |
|----------------|------------------|--------------|------------|
| 368,07 | 14.794,39 | 566,00 | 187,03 |

Che ha generato la seguente distribuzione di forze:

| Sismic load SLV | | | | |
|-----------------|----------|-------|-------|---------|
| i | α | x_i | y_i | P_z |
| 1 | 0,00 | 2,00 | 0,00 | 7,79 |
| 2 | 15,00 | 1,93 | 0,52 | -151,75 |
| 3 | 30,00 | 1,73 | 1,00 | -300,42 |
| 4 | 45,00 | 1,41 | 1,41 | -428,09 |
| 5 | 60,00 | 1,00 | 1,73 | -526,05 |
| 6 | 75,00 | 0,52 | 1,93 | -587,64 |
| 7 | 90,00 | 0,00 | 2,00 | -608,64 |
| 8 | 105,00 | -0,52 | 1,93 | -587,64 |
| 9 | 120,00 | -1,00 | 1,73 | -526,05 |
| 10 | 135,00 | -1,41 | 1,41 | -428,09 |
| 11 | 150,00 | -1,73 | 1,00 | -300,42 |
| 12 | 165,00 | -1,93 | 0,52 | -151,75 |
| 13 | 180,00 | -2,00 | 0,00 | 7,79 |
| 14 | 195,00 | -1,93 | -0,52 | 167,34 |
| 15 | 210,00 | -1,73 | -1,00 | 316,01 |
| 16 | 225,00 | -1,41 | -1,41 | 443,68 |
| 17 | 240,00 | -1,00 | -1,73 | 541,64 |
| 18 | 255,00 | -0,52 | -1,93 | 603,22 |

| CODICE ELABORATO | OGGETTO DELL'ELABORATO | PAGINA |
|------------------|---|--------|
| RST-PD-R0006_R0 | INTEGRALE RICOSTRUZIONE PARCO EOLICO "SALEMI-TRAPANI" RELAZIONE DI CALCOLO PRELIMINARE DELLE STRUTTURE | 18 |

| | | | | |
|----|--------|------|-------|--------|
| 19 | 270,00 | 0,00 | -2,00 | 624,23 |
| 20 | 285,00 | 0,52 | -1,93 | 603,22 |
| 21 | 300,00 | 1,00 | -1,73 | 541,64 |
| 22 | 315,00 | 1,41 | -1,41 | 443,68 |

Per la condizione "SLS_IEC Characteristic", si è considerata la seguente sollecitazione risultante:

| F _{ris} (KN) | M _{ris} (KN m) | M _z (KN m) | F _z (KN) |
|-----------------------|-------------------------|-----------------------|---------------------|
| 1.032,59 | 117.714,07 | -1.224,44 | 252,22 |

Che ha generato la seguente distribuzione di forze:

| SLS_IEC Characteristic | | | | |
|------------------------|----------|----------------|----------------|----------------|
| i | α | x _i | y _i | P _z |
| 1 | 0,00 | 2,00 | 0,00 | 10,51 |
| 2 | 15,00 | 1,93 | 0,52 | -1.258,93 |
| 3 | 30,00 | 1,73 | 1,00 | -2.441,87 |
| 4 | 45,00 | 1,41 | 1,41 | -3.457,67 |
| 5 | 60,00 | 1,00 | 1,73 | -4.237,13 |
| 6 | 75,00 | 0,52 | 1,93 | -4.727,12 |
| 7 | 90,00 | 0,00 | 2,00 | -4.894,24 |
| 8 | 105,00 | -0,52 | 1,93 | -4.727,12 |
| 9 | 120,00 | -1,00 | 1,73 | -4.237,13 |
| 10 | 135,00 | -1,41 | 1,41 | -3.457,67 |
| 11 | 150,00 | -1,73 | 1,00 | -2.441,87 |
| 12 | 165,00 | -1,93 | 0,52 | -1.258,93 |
| 13 | 180,00 | -2,00 | 0,00 | 10,51 |
| 14 | 195,00 | -1,93 | -0,52 | 1.279,95 |
| 15 | 210,00 | -1,73 | -1,00 | 2.462,89 |
| 16 | 225,00 | -1,41 | -1,41 | 3.478,69 |
| 17 | 240,00 | -1,00 | -1,73 | 4.258,15 |
| 18 | 255,00 | -0,52 | -1,93 | 4.748,14 |
| 19 | 270,00 | 0,00 | -2,00 | 4.915,26 |
| 20 | 285,00 | 0,52 | -1,93 | 4.748,14 |
| 21 | 300,00 | 1,00 | -1,73 | 4.258,15 |
| 22 | 315,00 | 1,41 | -1,41 | 3.478,69 |

Per la condizione "SLS IEC Permanet load", si è considerata la seguente sollecitazione risultante:

| F _{ris} (KN) | M _{ris} (KN m) | M _z (KN m) | F _z (KN) |
|-----------------------|-------------------------|-----------------------|---------------------|
| 875,00 | 97.465,00 | 2.739,00 | 492,00 |

Che ha generato la seguente distribuzione di forze:

| SLS IEC Permanet load | | | | |
|-----------------------|----------|----------------|----------------|----------------|
| i | α | x _i | y _i | P _z |
| 1 | 0,00 | 2,00 | 0,00 | 20,50 |
| 2 | 15,00 | 1,93 | 0,52 | -1.030,57 |
| 3 | 30,00 | 1,73 | 1,00 | -2.010,02 |
| 4 | 45,00 | 1,41 | 1,41 | -2.851,09 |
| 5 | 60,00 | 1,00 | 1,73 | -3.496,47 |
| 6 | 75,00 | 0,52 | 1,93 | -3.902,17 |
| 7 | 90,00 | 0,00 | 2,00 | -4.040,54 |
| 8 | 105,00 | -0,52 | 1,93 | -3.902,17 |
| 9 | 120,00 | -1,00 | 1,73 | -3.496,47 |
| 10 | 135,00 | -1,41 | 1,41 | -2.851,09 |
| 11 | 150,00 | -1,73 | 1,00 | -2.010,02 |
| 12 | 165,00 | -1,93 | 0,52 | -1.030,57 |

| CODICE ELABORATO | OGGETTO DELL'ELABORATO | PAGINA |
|------------------|---|--------|
| RST-PD-R0006_R0 | INTEGRALE RICOSTRUZIONE PARCO EOLICO "SALEMI-TRAPANI" RELAZIONE DI CALCOLO PRELIMINARE DELLE STRUTTURE | 19 |

| SLS IEC Permanet load | | | | |
|-----------------------|----------|-------|-------|----------|
| i | α | x_i | y_i | P_z |
| 13 | 180,00 | -2,00 | 0,00 | 20,50 |
| 14 | 195,00 | -1,93 | -0,52 | 1.071,57 |
| 15 | 210,00 | -1,73 | -1,00 | 2.051,02 |
| 16 | 225,00 | -1,41 | -1,41 | 2.892,09 |
| 17 | 240,00 | -1,00 | -1,73 | 3.537,47 |
| 18 | 255,00 | -0,52 | -1,93 | 3.943,17 |
| 19 | 270,00 | 0,00 | -2,00 | 4.081,54 |
| 20 | 285,00 | 0,52 | -1,93 | 3.943,17 |
| 21 | 300,00 | 1,00 | -1,73 | 3.537,47 |
| 22 | 315,00 | 1,41 | -1,41 | 2.892,09 |

Per la condizione "Carichi a fatica minimi", si è considerata la seguente sollecitazione risultante:

| F_{ris} (KN) | M_{ris} (KN m) | M_z (KN m) | F_z (KN) |
|----------------|------------------|--------------|------------|
| 231,50 | 34.076,00 | -2.821,50 | 74,00 |

Che ha generato la seguente distribuzione di forze:

| Carichi a fatica minimi | | | | |
|-------------------------|----------|-------|-------|-----------|
| i | α | x_i | y_i | P_z |
| 1 | 0,00 | 2,00 | 0,00 | 3,08 |
| 2 | 15,00 | 1,93 | 0,52 | -364,40 |
| 3 | 30,00 | 1,73 | 1,00 | -706,83 |
| 4 | 45,00 | 1,41 | 1,41 | -1.000,89 |
| 5 | 60,00 | 1,00 | 1,73 | -1.226,53 |
| 6 | 75,00 | 0,52 | 1,93 | -1.368,37 |
| 7 | 90,00 | 0,00 | 2,00 | -1.416,75 |
| 8 | 105,00 | -0,52 | 1,93 | -1.368,37 |
| 9 | 120,00 | -1,00 | 1,73 | -1.226,53 |
| 10 | 135,00 | -1,41 | 1,41 | -1.000,89 |
| 11 | 150,00 | -1,73 | 1,00 | -706,83 |
| 12 | 165,00 | -1,93 | 0,52 | -364,40 |
| 13 | 180,00 | -2,00 | 0,00 | 3,08 |
| 14 | 195,00 | -1,93 | -0,52 | 370,56 |
| 15 | 210,00 | -1,73 | -1,00 | 713,00 |
| 16 | 225,00 | -1,41 | -1,41 | 1.007,06 |
| 17 | 240,00 | -1,00 | -1,73 | 1.232,70 |
| 18 | 255,00 | -0,52 | -1,93 | 1.374,54 |
| 19 | 270,00 | 0,00 | -2,00 | 1.422,92 |
| 20 | 285,00 | 0,52 | -1,93 | 1.374,54 |
| 21 | 300,00 | 1,00 | -1,73 | 1.232,70 |
| 22 | 315,00 | 1,41 | -1,41 | 1.007,06 |

Per la condizione "Carichi a fatica massimi", si è considerata la seguente sollecitazione risultante:

| F_{ris} (KN) | M_{ris} (KN m) | M_z (KN m) | F_z (KN) |
|----------------|------------------|--------------|------------|
| 732,50 | 78.192,00 | 2.941,50 | 212,00 |

| CODICE ELABORATO | OGGETTO DELL'ELABORATO | PAGINA |
|------------------|---|--------|
| RST-PD-R0006_R0 | INTEGRALE RICOSTRUZIONE PARCO EOLICO "SALEMI-TRAPANI" RELAZIONE DI CALCOLO PRELIMINARE DELLE STRUTTURE | 20 |

Che ha generato la seguente distribuzione di forze:

| Carichi a fatica massimi | | | | |
|--------------------------|----------|-------|-------|-----------|
| i | α | x_i | y_i | P_z |
| 1 | 0,00 | 2,00 | 0,00 | 8,83 |
| 2 | 15,00 | 1,93 | 0,52 | -834,40 |
| 3 | 30,00 | 1,73 | 1,00 | -1.620,17 |
| 4 | 45,00 | 1,41 | 1,41 | -2.294,92 |
| 5 | 60,00 | 1,00 | 1,73 | -2.812,68 |
| 6 | 75,00 | 0,52 | 1,93 | -3.138,15 |
| 7 | 90,00 | 0,00 | 2,00 | -3.249,17 |
| 8 | 105,00 | -0,52 | 1,93 | -3.138,15 |
| 9 | 120,00 | -1,00 | 1,73 | -2.812,68 |
| 10 | 135,00 | -1,41 | 1,41 | -2.294,92 |
| 11 | 150,00 | -1,73 | 1,00 | -1.620,17 |
| 12 | 165,00 | -1,93 | 0,52 | -834,40 |
| 13 | 180,00 | -2,00 | 0,00 | 8,83 |
| 14 | 195,00 | -1,93 | -0,52 | 852,07 |
| 15 | 210,00 | -1,73 | -1,00 | 1.637,83 |
| 16 | 225,00 | -1,41 | -1,41 | 2.312,59 |
| 17 | 240,00 | -1,00 | -1,73 | 2.830,34 |
| 18 | 255,00 | -0,52 | -1,93 | 3.155,82 |
| 19 | 270,00 | 0,00 | -2,00 | 3.266,83 |
| 20 | 285,00 | 0,52 | -1,93 | 3.155,82 |
| 21 | 300,00 | 1,00 | -1,73 | 2.830,34 |
| 22 | 315,00 | 1,41 | -1,41 | 2.312,59 |

| CODICE ELABORATO | OGGETTO DELL'ELABORATO | PAGINA |
|------------------|---|--------|
| RST-PD-R0006_R0 | INTEGRALE RICOSTRUZIONE PARCO EOLICO "SALEMI-TRAPANI" RELAZIONE DI CALCOLO PRELIMINARE DELLE STRUTTURE | 21 |

5. CRITERI GENERALI DI CALCOLO

L'analisi FEM, eseguita tramite l'ausilio del Software dell'Aztec Informatica, API++14 licenza n°A101280VT, ha fornito le sollecitazioni agenti sull'opera di fondazione.

Vista la particolare modalità delle condizioni di carico applicate, la simmetria del problema e la reale applicazione dei carichi alla fondazione, verrà effettuata l'analisi lungo un diametro della fondazione. I risultati ottenuti saranno quindi estesi alla totalità della fondazione.

Infatti la direzione di applicazione del carico è una questione puramente convenzionale, in realtà questa condizione di carico si potrà verificare lungo ognuna delle direzioni uscenti dal centro della torre.

5.1. TIPO DI ANALISI E MOTIVAZIONE

L'analisi per le combinazioni delle azioni permanenti e variabili è stata condotta in regime elastico lineare. Per la determinazione degli effetti delle azioni, le analisi saranno effettuate assumendo:

- sezioni interamente reagenti con rigidzze valutate riferendosi al solo calcestruzzo;
- relazioni tensione deformazione lineari;
- valori medi del modulo d'elasticità.

Il metodo di analisi utilizzato è quello statico, che modella le azioni dinamiche agenti sulla struttura mediante l'applicazione di forze statiche equivalenti. Le forze applicate sono comprensive degli effetti dinamici ordinari delle azioni che rappresentano.

5.2. METODO DI VERIFICA SEZIONALE

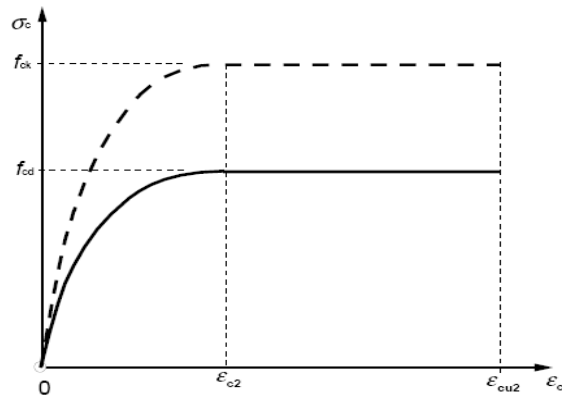
Le verifiche sono state condotte con il metodo degli stati limite (SLU e SLE) utilizzando i coefficienti parziali della normativa di cui al DM 17.01.2018.

Le verifiche degli elementi bidimensionali sono state effettuate direttamente sullo stato tensionale ottenuto, per le azioni di tipo statico e di esercizio. Per le azioni dovute al sisma (ed in genere per le azioni che provocano elevata domanda di deformazione anelastica), le verifiche sono state effettuate sulle risultanti (forze e momenti) agenti globalmente su una sezione dell'oggetto strutturale.

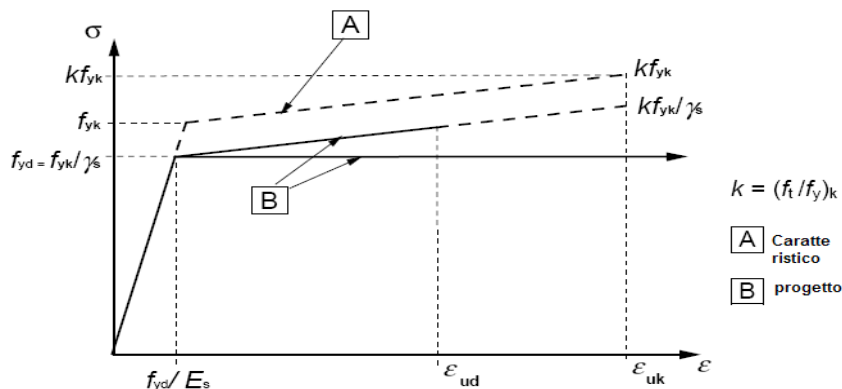
| CODICE ELABORATO | OGGETTO DELL'ELABORATO | PAGINA |
|------------------|---|--------|
| RST-PD-R0006_R0 | INTEGRALE RICOSTRUZIONE PARCO EOLICO "SALEMI-TRAPANI" RELAZIONE DI CALCOLO PRELIMINARE DELLE STRUTTURE | 22 |

Per le verifiche sezionali degli elementi in c.a. ed acciaio sono stati utilizzati i seguenti legami:

Legame parabola rettangolo per il cls



Legame elastico perfettamente plastico o incrudente a duttilità limitata per l'acciaio



5.3. CRITERI USATI PER LA MODELLAZIONE DELLA STRUTTURA

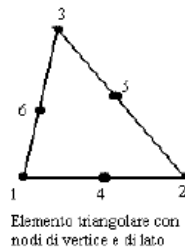
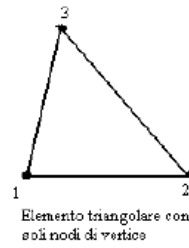
L'analisi del plinto di fondazione è stata eseguita utilizzando una modellazione con il metodo degli elementi finiti (FEM).

La struttura viene suddivisa in elementi connessi fra di loro in corrispondenza dei nodi. Il campo di spostamenti interno all'elemento viene approssimato in funzione degli spostamenti nodali mediante le funzioni di forma.

Il metodo degli elementi finiti (FEM) sviluppatosi a partire dalla fine degli anni '50 del secolo scorso rappresenta attualmente il metodo più diffuso nel campo dell'analisi del continuo sia per problemi statici che dinamici in campo lineare e non lineare.

Tralasciando gli aspetti teorici del problema, per i quali si rimanda alla vastissima letteratura specializzata, in breve il metodo suddivide il mezzo continuo in tanti sottodomini (detti elementi) connessi fra loro mediante nodi.

| CODICE ELABORATO | OGGETTO DELL'ELABORATO | PAGINA |
|------------------|---|--------|
| RST-PD-R0006_R0 | INTEGRALE RICOSTRUZIONE PARCO EOLICO "SALEMI-TRAPANI" RELAZIONE DI CALCOLO PRELIMINARE DELLE STRUTTURE | 23 |



Il programma utilizza, per l'analisi tipo piastra, elementi quadrangolari e triangolari.

La procedura di suddivisione del continuo in elementi prende il nome di generazione mesh e rappresenta il primo passo per l'analisi ad elementi finiti di qualsivoglia struttura.

In letteratura esistono diversi metodi per la generazione di una mesh di elementi su una regione di forma qualsiasi. Il metodo sicuramente più noto si basa sulla tecnica di triangolazione di Delaunay che consente di ottenere mesh di elementi triangolari. Con tale metodo la mesh ottenuta è ottimizzata nel senso che fra tutte le triangolazioni possibili quella di Delaunay minimizza il massimo angolo e massimizza il minimo angolo generando in tal modo elementi che hanno il più basso rapporto di distorsione. Nel problema di tipo piastra gli spostamenti nodali sono lo spostamento verticale w e le rotazioni intorno agli assi x e y , ϕ_x e ϕ_y .

Note le funzioni di forma che legano gli spostamenti nodali al campo di spostamenti sul singolo elemento è possibile costruire la matrice di rigidezza dell'elemento k_e ed il vettore dei carichi nodali dell'elemento p_e .

La determinazione dello stato di tensione indotte nel terreno da un carico applicato in superficie viene eseguita con l'ipotesi di mezzo continuo, elastico-lineare, omogeneo ed isotropo.

La fase di assemblaggio consente di ottenere la matrice di rigidezza globale della struttura K ed il vettore dei carichi nodali p . La soluzione del sistema

$$K u = p$$

consente di ricavare il vettore degli spostamenti nodali u .

Dagli spostamenti nodali è possibile risalire per ogni elemento al campo di spostamenti ed alle sollecitazioni M_x , M_y ed M_{xy} .

Nelle fondazioni dirette il terreno di fondazione viene modellato con delle molle disposte in corrispondenza dei nodi. La rigidezza delle molle è proporzionale alla costante di sottofondo k ed all'area dell'elemento.

Per l'analisi della piastra soggetta a carichi nel piano vengono utilizzati elementi triangolari a 6 nodi a deformazione quadratica. L'analisi fornisce in tal caso il campo di spostamenti

| CODICE ELABORATO | OGGETTO DELL'ELABORATO | PAGINA |
|------------------|---|--------|
| RST-PD-R0006_R0 | INTEGRALE RICOSTRUZIONE PARCO EOLICO "SALEMI-TRAPANI" RELAZIONE DI CALCOLO PRELIMINARE DELLE STRUTTURE | 24 |

orizzontali e le tensioni nel piano della lastra σ_x , σ_y e τ_{xy} .

5.4. VERIFICHE STRUTTURALI AGLI SLU E SLE SECONDO IL D.M. 17/01/2018

La sicurezza e le prestazioni saranno garantite verificando gli opportuni stati limite in funzione dell'utilizzo della struttura, della sua vita nominale e di quanto stabilito dalle norme di cui al D.M. 17.01.2018. Gli stati limite analizzati sono:

– Stati limite ultimi (SLU)

La sicurezza nei riguardi degli stati limite ultimi (SLU) che possono provocare eccessive deformazioni permanenti, crolli parziali o globali, dissesti, che possono compromettere l'incolumità delle persone e/o la perdita di beni, provocare danni ambientali e sociali, mettere fuori servizio l'opera. Per le verifiche sono stati utilizzati i coefficienti parziali relativi alle azioni ed alle resistenze dei materiali in accordo a quanto previsto dal D.M. 17.01.2018 per i vari tipi di materiale. I valori utilizzati sono riportati nei tabulati di calcolo.

– Stati limite di esercizio (SLE)

La sicurezza nei riguardi degli stati limite di esercizio (SLE) che possono limitare nell'uso e nella durata l'utilizzo della struttura per le azioni di esercizio. I valori limite, così come definiti nelle norme tecniche, sono riportati nelle tabelle di calcolo.

Secondo quanto previsto dalla normativa le verifiche sono state eseguite nei confronti dei seguenti stati limite:

SLU di tipo geotecnico (GEO)

collasso per carico limite dell'insieme fondazione-terreno

collasso per scorrimento sul piano di posa

SLU di tipo strutturale (STR)

raggiungimento della resistenza negli elementi strutturali, accertando per ogni stato limite considerato la sollecitazione agente sia minore o al più uguale a quella resistente.

Si dovranno adottare due diversi approcci progettuali:

Approccio 1: Combinazione 2: (A2+M2+R2) per le verifiche di stabilità globale

Approccio 2: Combinazione (A1+M1+R3) per le verifiche strutturali e per le rimanenti verifiche geotecniche.

Per gli stati limite ultimi le verifiche vengono effettuate confrontando la resistenza di

| CODICE ELABORATO | OGGETTO DELL'ELABORATO | PAGINA |
|------------------|---|--------|
| RST-PD-R0006_R0 | INTEGRALE RICOSTRUZIONE PARCO EOLICO "SALEMI-TRAPANI" RELAZIONE DI CALCOLO PRELIMINARE DELLE STRUTTURE | 25 |

progetto (R_d) il valore di progetto dell'effetto delle azioni (E_d), utilizzando il metodo dei coefficienti parziali di sicurezza. I coefficienti parziali di sicurezza, associati ai materiali ed alle azioni, tengono in conto della variabilità delle rispettive grandezze e le incertezze relative alle tolleranze geometriche e alla affidabilità del modello di calcolo.

5.5. MODELLO DI CALCOLO

Per il calcolo strutturale, e le successive verifiche, l'opera di fondazione è stata schematizzata come una piastra. Per l'analisi si è utilizzato il metodo degli elementi finiti (FEM). La struttura cioè viene suddivisa in elementi connessi fra di loro in corrispondenza dei nodi. Il campo di spostamenti interno all'elemento viene approssimato in funzione degli spostamenti nodali mediante le funzioni di forma. Il programma utilizza, per l'analisi tipo piastra, elementi quadrangolari. Nel problema di tipo piastra gli spostamenti nodali sono lo spostamento verticale w e le rotazione intorno agli assi x e y , φ_x e φ_y , legati allo spostamento w tramite relazioni:

$$f_x = -dw/dy$$

$$f_y = dw/dx$$

Note le funzioni di forma che legano gli spostamenti nodali al campo di spostamenti sul singolo elemento è possibile costruire la matrice di rigidità dell'elemento ed il vettore dei carichi nodali dell'elemento.

In particolare, dall'analisi FEM, eseguita tramite l'ausilio del Software dell'Aztec Informatica, API++14, si sono ricavate le sollecitazioni agenti sull'opera di fondazione. A sua volta, conoscendo le sollecitazioni (si rimanda al fascicolo dei calcoli) si sono eseguite le opportune verifiche agli SLU e SLE ai sensi del DM 17/01/2018; tali verifiche sono riportate nei paragrafi seguenti.

Al fine di eseguire la valutazione delle sollecitazioni agenti sul blocco di fondazione, sono state combinate tra di loro le azioni gravitazionali, sismiche e quelle specifiche sulla torre, secondo quanto previsto dalla normativa vigente.

| | | |
|------------------|---|--------|
| CODICE ELABORATO | OGGETTO DELL'ELABORATO | PAGINA |
| RST-PD-R0006_R0 | INTEGRALE RICOSTRUZIONE PARCO EOLICO "SALEMI-TRAPANI" RELAZIONE DI CALCOLO PRELIMINARE DELLE STRUTTURE | 26 |

6. CARATTERISTICHE DEI MATERIALI

Le proprietà dei materiali che costituiscono gli elementi strutturali in calcestruzzo armato previsti in progetto sono le seguenti:

| | |
|---------------------------------|---------|
| Acciaio da cemento armato: | B450C |
| Calcestruzzo per i pali: | C25/30 |
| Calcestruzzo per il plinto: | C45/55 |
| Calcestruzzo per il colletto: | C50/60 |
| Calcestruzzo per l'inghisaggio: | C90/105 |

Pertanto, le caratteristiche dei materiali possono essere riassunte nelle seguenti tabelle:

| Coefficients di sicurezza | | |
|--|--------|---|
| γ_c | 1,50 | coefficiente di sicurezza del calcestruzzo |
| α_{cc} | 0,85 | coefficiente riduttivo calcestruzzo per le resistenze di lunga durata |
| γ_s | 1,15 | coefficiente di sicurezza acciaio |
| Caratteristiche calcestruzzo suola | | |
| R_{ck} | 55,00 | Mpa resistenza cubica a compressione caratteristica |
| f_{ck} | 45,00 | Mpa resistenza cilindrica a compressione caratteristica |
| f_{cd} | 25,50 | Mpa resistenza cilindrica a compressione di progetto |
| E_{cm} | 36.283 | Mpa modulo elastico |
| $f_{cd,fat}$ | 22,63 | Mpa resistenza a fatica di progetto (MC10 eq. 5.1 - 110) |
| $\sigma_{C\ max\ SLE\ R}$ | 27,00 | Mpa tensione massima del calcestruzzo per SLE rara (0,6 x fck) |
| $\sigma_{C\ max\ SLE\ P}$ | 20,25 | Mpa tensione massima del calcestruzzo per SLE quasi permanente (0,45 x fck) |
| Caratteristiche calcestruzzo colletto | | |
| R_{ck} | 60,00 | Mpa resistenza cubica a compressione caratteristica |
| f_{ck} | 50,00 | Mpa resistenza cilindrica a compressione caratteristica |
| f_{cd} | 28,33 | Mpa resistenza cilindrica a compressione di progetto |
| E_{cm} | 37.278 | Mpa modulo elastico |
| $f_{cd,fat}$ | 24,79 | Mpa resistenza a fatica di progetto (MC10 eq. 5.1 - 110) |
| $\sigma_{C\ max\ SLE\ R}$ | 30,00 | Mpa tensione massima del calcestruzzo per SLE rara (0,6 x fck) |
| $\sigma_{C\ max\ SLE\ P}$ | 22,50 | Mpa tensione massima del calcestruzzo per SLE quasi permanente (0,45 x fck) |
| Caratteristiche calcestruzzo inghisaggio | | |
| R_{ck} | 105,00 | Mpa resistenza cubica a compressione caratteristica |
| f_{ck} | 90,00 | Mpa resistenza cilindrica a compressione caratteristica |
| f_{cd} | 51,00 | Mpa resistenza cilindrica a compressione di progetto |
| E_{cm} | 43.631 | Mpa modulo elastico |
| $f_{cd,fat}$ | 39,53 | Mpa resistenza a fatica di progetto (MC10 eq. 5.1 - 110) |
| $\sigma_{C\ max\ SLE\ R}$ | 54,00 | Mpa tensione massima del calcestruzzo per SLE rara (0,6 x fck) |
| $\sigma_{C\ max\ SLE\ P}$ | 40,50 | Mpa tensione massima del calcestruzzo per SLE quasi permanente (0,45 x fck) |
| Caratteristiche dell'acciaio | | |
| f_{yk} | 450,00 | Mpa resistenza dell'acciaio caratteristica |
| f_{yd} | 391,30 | Mpa resistenza dell'acciaio di progetto |
| $\sigma_{S\ max\ SLE\ R}$ | 360,00 | Mpa tensione massima dell'acciaio per SLE rara (0,8 x f _{yk}) |

| CODICE ELABORATO | OGGETTO DELL'ELABORATO | PAGINA |
|------------------|---|--------|
| RST-PD-R0006_R0 | INTEGRALE RICOSTRUZIONE PARCO EOLICO "SALEMI-TRAPANI" RELAZIONE DI CALCOLO PRELIMINARE DELLE STRUTTURE | 27 |

| | | | |
|----------------------------------|--------|-----|---|
| $\Delta\sigma_{Rsk}$ (dritte) | 162,50 | Mpa | escursione massima nell'acciaio verifiche a fatica barre dritte |
| $\Delta\sigma_{Rsd}$ (dritte) | 101,69 | Mpa | escursione massima nell'acciaio verifiche a fatica barre dritte a m=7 |

6.1. DETERMINAZIONE DELLE LUNGHEZZE DI ANCORAGGIO

Le barre di armatura del calcestruzzo dovranno essere opportunamente ancorate in modo da consentire la trasmissione sicura delle forze di aderenza al calcestruzzo, al fine di evitarne la fessurazione longitudinale ed il distacco. Dovranno inoltre essere curate le lunghezze di sovrapposizione delle barre.

La lunghezza di ancoraggio necessaria è stata determinata utilizzando le espressioni 8.2, 8.3 e 8.4 dell'Eurocodice 2, in cui si è posto σ_{sd} pari a f_{yd}

$$f_{bd} = 2,25 \eta_1 \eta_2 f_{ctd}$$

$$l_{b,rqd} = \frac{\phi \cdot \sigma_{sd}}{4 f_{bd}}$$

$$l_{bd} = \alpha_1 \alpha_2 \alpha_3 \alpha_4 \alpha_5 l_{b,rqd} > l_{b,min}$$

in cui

$\alpha_1 = 1,00$ (nel caso di barre non dritte con $c_d < 3\phi$)

$\alpha_2 = 1,00$ (nel caso di barre non dritte con $\alpha_2 = 0,7 < 1 - 0,15 (c_d - 3\phi)/\phi < 1,0$)

$\alpha_3 = 1,00$ (nel caso di $K = 0$)

$\alpha_4 = 1,00$ (nel caso di barre non saldate)

$\alpha_5 = 1,00$ (nel caso di assenza di confinamento dovuto a pressione trasversale)

$c_d =$ minimo tra: distanza netta tra le barre $a = [(C / n) - \phi]/2$; copriferro c_1

$\phi =$ diametro barra in mm

(in funzione della direzione del getto in fase di realizzazione)

$\eta_1 = 0,70$ considerando zona con condizioni di aderenza mediocre

$\eta_2 = 1,00$ barre con diametro minore o uguale a 32mm

Mentre la lunghezza di sovrapposizione necessaria è stata determinata utilizzando le espressioni 8.10 e 8.11 dell'Eurocodice 2.

$$l_{0d} = \alpha_1 \alpha_2 \alpha_3 \alpha_4 \alpha_5 \alpha_6 l_{b,rqd} > l_{0,min}$$

L'analisi condotta può essere riassunta nelle seguenti tabelle:

| Determinazione tensione ultima di aderenza | | |
|--|--------|--|
| Caratteristiche dell'acciaio | | |
| f_{yk} | 450,00 | Mpa resistenza dell'acciaio caratteristica |
| f_{yd} | 391,30 | Mpa resistenza dell'acciaio di progetto |
| Caratteristiche calcestruzzo | | |

| CODICE ELABORATO | OGGETTO DELL'ELABORATO | PAGINA |
|------------------|---|--------|
| RST-PD-R0006_R0 | INTEGRALE RICOSTRUZIONE PARCO EOLICO "SALEMI-TRAPANI" RELAZIONE DI CALCOLO PRELIMINARE DELLE STRUTTURE | 28 |

| | | | |
|-----------|-------|-----|---|
| R_{ck} | 55,00 | MPa | resistenza cubica a compressione caratteristica |
| f_{ck} | 45,00 | MPa | resistenza cilindrica a compressione caratteristica |
| f_{ctk} | 2,66 | MPa | resistenza a trazione del calcestruzzo caratteristica |
| f_{cd} | 25,50 | MPa | resistenza cilindrica a compressione di progetto |
| f_{ctd} | 1,77 | MPa | resistenza a trazione del calcestruzzo di progetto |

| Determinazione della tensione ultima di aderenza | | |
|--|-------|--|
| η_1 | 0,70 | per l'armatura in zona superiore del plinto in zona di aderenza mediocre |
| η_1 | 1,00 | per l'armatura in zona inferiore del plinto e in zona di aderenza buona |
| η_2 | 1,00 | armatura sempre minore o uguale a ϕ 32 |
| $f_{bd, sup}$ | 2,79 | MPa tensione ultima di aderenza armatura in zona con condizioni di aderenza mediocre |
| $f_{bd, inf}$ | 3,99 | MPa tensione ultima di aderenza armatura in zona con condizioni di aderenza buona |
| Lunghezza di ancoraggio (supponendo $\sigma_{sd} = f_{yd}$) | | |
| a | 40,00 | mm interfero minimo |
| c_1 | 50,00 | mm copriferro |
| c_d | 20,00 | mm |
| α_1 | 1,00 | barre dritte o con $c_d < 3\phi$ |
| α_2 | 1,00 | $> 0,70$ |
| K | 0,00 | |
| α_3 | 1,00 | |
| α_4 | 1,00 | |
| α_6 | 1,40 | |

Di seguito una tabella che riassume i risultati per le varie classi di diametri.

| | | | | l_{bd} ancoraggio | l_o sovrapposizione |
|-------|---------------------------------|------------------|----------|------------------------|--------------------------|
| d= 32 | armatura superiore barre dritte | $l_{b,rqd, sup}$ | 1.122 mm | 1.150 mm | 1.650 mm |
| | armatura inferiore barre dritte | $l_{b,rqd, inf}$ | 786 mm | 800 mm | 1150 mm |
| d= 28 | armatura superiore barre dritte | $l_{b,rqd, sup}$ | 982 mm | 1.000 mm | 1400 mm |
| | armatura inferiore barre dritte | $l_{b,rqd, inf}$ | 687 mm | 700 mm | 1000 mm |
| d= 26 | armatura superiore barre dritte | $l_{b,rqd, sup}$ | 912 mm | 950 mm | 1350 mm |
| | armatura inferiore barre dritte | $l_{b,rqd, inf}$ | 638 mm | 650 mm | 950 mm |
| d= 24 | armatura superiore barre dritte | $l_{b,rqd, sup}$ | 842 mm | 850 mm | 1200 mm |
| | armatura inferiore barre dritte | $l_{b,rqd, inf}$ | 589 mm | 600 mm | 850 mm |
| d= 22 | armatura superiore barre dritte | $l_{b,rqd, sup}$ | 771 mm | 800 mm | 1150 mm |
| | armatura inferiore barre dritte | $l_{b,rqd, inf}$ | 540 mm | 550 mm | 800 mm |
| d= 20 | armatura superiore barre dritte | $l_{b,rqd, sup}$ | 701 mm | 750 mm | 1050 mm |
| | armatura inferiore barre dritte | $l_{b,rqd, inf}$ | 491 mm | 500 mm | 700 mm |

Tali lunghezze sono state riportate anche negli elaborati strutturali.

| | | |
|------------------|---|--------|
| CODICE ELABORATO | OGGETTO DELL'ELABORATO | PAGINA |
| RST-PD-R0006_R0 | INTEGRALE RICOSTRUZIONE PARCO EOLICO "SALEMI-TRAPANI" RELAZIONE DI CALCOLO PRELIMINARE DELLE STRUTTURE | 29 |

7. VERIFICHE LOCALI SISTEMA DI ANCORAGGIO TRA TORRE E FONDAZIONE

7.1. VERIFICA PRESSIONI DI CONTATTO TRA LE FLANGE E CALCESTRUZZO

Per effettuare la verifica della pressione di contatto tra le flange, superiore ed inferiore dell'anchor cage, ed il calcestruzzo è necessario valutare le tensioni di compressione massime agenti $\sigma_{c,max}$ che ivi si esplicano per effetto delle sollecitazioni trasmesse dalla torre.

Nel caso in cui, nelle verifiche agli SLU, tali tensioni risultassero superiori alle tensioni massime resistenti di progetto, andranno determinate le forze agenti $F_{Ed,FS}$ per la flangia superiore e $F_{Ed,FI}$ per la flangia inferiore dell'anchor cage al fine di confrontarle con la forza di compressione ultima che tale area è in grado di sopportare (F_{Rdu}). L'azione resistente del calcestruzzo è stata calcolata secondo l'Eurocodice 2, al paragrafo 6.7, applicando la seguente relazione:

$$F_{Rdu} = A_{c0} \times f_{cd} \times \sqrt{A_{c1}/A_{c0}}$$

Per la determinazione della pressione massima che si esplica in corrispondenza delle flange, consideriamo l'azione complessiva agente come la composizione dell'aliquota dovuta alle sollecitazioni provenienti dalla torre P_{td} e dell'aliquota dovuta alla post tensione P_a .

Le analisi condotte ai vari stati limite, utilizzano i dati di partenza riportati nella seguente tabella.

| Parametri geometrici | | |
|--|----------------------|---|
| n | 100 | numero di coppie di barre |
| A _{barra} | 1120 mm ² | area di una barra M42 |
| L _{barra} | 3150 | Distanza tra le flange |
| R _m | 2,00 m | raggio medio dell'anchor cage |
| ΔC | 0,13 m | Allargamento lungo direzione circonferenziale |
| Parametri della flangia superiore dell'anchor cage | | |
| L | 0,650 m | larghezza flangia |
| R _i | 1,675 m | raggio interno della flangia |
| R _e | 2,325 m | raggio esterno della flangia |
| A _{fl sup} | 8,168 m ² | area della flangia superiore |
| L _{ingh} | 0,770 m | larghezza all'inghisaggio |
| H _{coll} | 0,600 | altezza colletto |
| L _{coll} | 1,370 m | larghezza cono al colletto |
| Parametri della flangia inferiore dell'anchor cage | | |
| L | 0,450 m | larghezza flangia |
| R _i | 1,775 m | raggio interno della flangia |
| R _e | 2,225 m | raggio esterno della flangia |
| A _{fl inf} | 5,655 m ² | area della flangia inferiore |
| H _{C50 inf} | 0,200 | altezza porzione di C50/60 sopra la flangia inferiore |
| L _{C50 inf} | 0,650 m | larghezza cono inferiore al C45/55 |

| | | |
|------------------|---|--------|
| CODICE ELABORATO | OGGETTO DELL'ELABORATO | PAGINA |
| RST-PD-R0006_R0 | INTEGRALE RICOSTRUZIONE PARCO EOLICO "SALEMI-TRAPANI" RELAZIONE DI CALCOLO PRELIMINARE DELLE STRUTTURE | 30 |

| Forze di post tensione | | |
|------------------------|----------------|---|
| P _p | 610 kN | Forza iniziale di post tensione |
| C _s | 149.333 N/mm | Costante elastica della coppia di barre |
| C _c | 1.164.133 N/mm | Costante elastica del cls compresso |
| p | 11% | Perdita di tensione nelle barre |
| Z _i | 1.376 KN | |

Di seguito la verifica allo SLU.

| Azioni agenti - SLU | | |
|---------------------|-----------------|--|
| F _{z t} | -8.711,33 KN | Forza verticale agente |
| M _{r t} | 176.571,11 KN m | Momento agente |
| P _{tdFz} | -87 KN | Forza sulla coppia di barre dovuta allo Sforzo verticale |
| P _{tdMr} | 1.766 KN | Forza sulla coppia di barre dovuta al Momento (+/-) |
| P _{td DW} | -1.853 KN | Forza sulla coppia di barre verso il basso |
| P _{td UP} | 1.679 KN | Forza sulla coppia di barre verso l'alto |
| P _{a DW} | 505 KN | Forza di post tensione agente sulla singola barra per P _{td} < Z _i |
| P _{a UP} | 839 KN | Forza di post tensione agente sulla singola barra per P _{td} > Z _i |

| Verifiche tensioni di contatto delle flange | | |
|--|-----------|--|
| f _{cd SLU (C90/105)} | 51,00 MPa | resistenza di progetto inghisaggio C90/105 |
| f _{cd SLU (C50/60)} | 28,33 MPa | resistenza di progetto colletto C50/60 |
| f _{cd SLU (C45/55)} | 25,50 MPa | resistenza di progetto suola C45/55 |
| Verifica della flangia superiore dell'ancor cage | | |
| σ _{C max sotto flangia} | 35,04 Mpa | tensione massima nel calcestruzzo sotto la flangia |
| σ _{C max sotto inghisaggio} | 29,58 Mpa | tensione massima nel calcestruzzo del colletto |
| σ _{C max sotto colletto} | 16,63 Mpa | tensione massima nel calcestruzzo della suola |
| f _{cd (90/105)} | > | σ _{C max sotto flangia} VERIFICA |
| f _{cd (C50/60)} | < | σ _{C max sotto inghisaggio} NECESSITA VERIFICA pressioni localizzate EC2 par. 6.7 |
| f _{cd (C45/55)} | > | σ _{C max sotto colletto} VERIFICA |
| Verifica della flangia inferiore dell'ancor cage | | |
| σ _{C max sopra la flangia} | 29,68 Mpa | tensione massima nel calcestruzzo sopra la flangia |
| σ _{C max al C45/55} | 20,55 MPa | tensione massima nel calcestruzzo C45/55 sopra la flangia |
| f _{cd (C45/55)} | < | σ _{C max sopra la flangia} NECESSITA VERIFICA pressioni localizzate EC2 par. 6.7 |
| f _{cd (C50/60)} | > | σ _{C max al C45/55} VERIFICA |

Nelle sezioni in cui la verifica non risulta soddisfatta si procede ad approfondirla considerando l'allargamento del cono previsto da EC2 par. 6.7.

| Verifiche pressioni localizzate EC2 par. 6.7 | | | |
|---|-------|-----|--|
| Caratteristiche calcestruzzo sotto l'inghisaggio | | | |
| σ _{C max} | 29,58 | Mpa | tensione massima di compressione agente sul calcestruzzo |
| f _{cd} | 25,50 | Mpa | resistenza cilindrica a compressione di progetto |
| Caratteristiche calcestruzzo sopra la flangia inferiore dell'ancor cage | | | |
| σ _{C max} | 29,68 | Mpa | tensione massima di compressione agente sul calcestruzzo |

| | | |
|------------------|---|--------|
| CODICE ELABORATO | OGGETTO DELL'ELABORATO | PAGINA |
| RST-PD-R0006_R0 | INTEGRALE RICOSTRUZIONE PARCO EOLICO "SALEMI-TRAPANI" RELAZIONE DI CALCOLO PRELIMINARE DELLE STRUTTURE | 31 |

| | | | |
|-------------------------------|--------------|----------------|---|
| f_{cd} | 25,50 | Mp a | resistenza cilindrica a compressione di progetto |
| Caratteristiche dimensionali | | | |
| D | 4,00 | m | Diametro medio della gabbia di ancoraggio |
| n° | 100 | | Numero di tirafondi |
| ΔC | 0,13 | m | Arco di circonferenza interessato |
| L_{FS} | 0,77 | m | Larghezza dell'inghisaggio |
| L_{FI} | 0,45 | m | Larghezza della flangia inferiore dell'ancor cage |
| $A_{CO,FS}$ | 0,10 | m ² | area porzione di setto circolare sotto l'inghisaggio |
| $A_{CO,FI}$ | 0,06 | m ² | area porzione di setto circolare sopra la flangia inferiore dell'ancor cage |
| $\Delta C_{c,FS}$ | 0,13 | m | All. lungo dir. circonferenziale sotto l'inghisaggio |
| $L_{r,FS}$ | 2,31 | m | All. lungo dir. radiale sotto l'inghisaggio |
| $\Delta C_{c,FI}$ | 0,13 | m | All. lungo dir. circonferenziale sopra la flangia inferiore dell'ancor cage |
| $L_{r,FI}$ | 1,35 | m | All. lungo dir. radiale sopra la flangia inferiore dell'ancor cage |
| $A_{C1,FS}$ | 0,29 | m ² | area zona interessata sotto l'inghisaggio |
| $A_{C1,FI}$ | 0,17 | m ² | area zona interessata sopra la flangia inferiore dell'ancor cage |
| Forze resistenti | | | |
| $(A_{C1,FS}/A_{CO,FS})^{0,5}$ | 1,73 | | per la flangia della torre |
| $(A_{C1,FI}/A_{CO,FI})^{0,5}$ | 1,73 | | per la flangia inferiore dell'ancor cage |
| $F_{Rdu,FS}$ | 4.273,6 7 | KN | $F_{Rdu}=A_{CO,FI} * f_{cd} * (A_{C1,FI}/A_{CO,FI})^{0,5}$ |
| $F_{Rdu,FI}$ | 2.497,6 0 | KN | $F_{Rdu}=A_{CO,FA} * f_{cd} * (A_{C1,FA}/A_{CO,FA})^{0,5}$ |
| Forze agenti | | | |
| $F_{Edu,FS}$ | 2.862,1 7 | KN | forza che si esplica sotto la flangia superiore dell'ancor cage $F = \sigma_{c \max} \times A_{CO, FS}$ |
| $F_{Edu,FI}$ | 1.678,6 0 | KN | forza che si esplica sopra la flangia inferiore dell'ancor cage $F = \sigma_{c \max} \times A_{CO, FI}$ |
| Verifica | | | |
| $F_{Rdu,FS}$ | > | $F_{Edu,FS}$ | VERIFICA |
| $F_{Rdu,FI}$ | > | $F_{Edu,FI}$ | VERIFICA |

La verifica risulta soddisfatta. Sarà comunque necessario disporre idonee armature in grado di equilibrare le forze di trazione trasversali dovute all'effetto del carico, di cui si dirà nel successivo paragrafo.

Di seguito la verifica allo SLE combinazione caratteristica.

| Azioni agenti - SLE caratteristica | | | |
|------------------------------------|------------|------|--|
| $F_z t$ | -6.662,22 | KN | Forza verticale agente |
| $M_r t$ | 117.714,07 | KN m | Momento agente |
| P_{tdFz} | -67 | KN | Forza sulla coppia di barre dovuta allo Sforzo verticale |
| P_{tdMr} | 1.177 | KN | Forza sulla coppia di barre dovuta al Momento (+/-) |
| P_{tdDW} | -1.244 | KN | Forza sulla coppia di barre verso il basso |
| P_{tdUP} | 1.111 | KN | Forza sulla coppia di barre verso l'alto |
| $P_a DW$ | 539 | KN | Forza di post tensione agente sulla singola barra per $P_{td} < Z_i$ |

| | | |
|------------------|---|--------|
| CODICE ELABORATO | OGGETTO DELL'ELABORATO | PAGINA |
| RST-PD-R0006_R0 | INTEGRALE RICOSTRUZIONE PARCO EOLICO "SALEMI-TRAPANI" RELAZIONE DI CALCOLO PRELIMINARE DELLE STRUTTURE | 32 |

| | | |
|----------|--------|--|
| P_a UP | 610 KN | Forza di post tensione agente sulla singola barra per Ptd < Zi |
|----------|--------|--|

| Verifica compressione calcestruzzo | | |
|--|---------------------------------|--|
| f_{cd} SLE (90/105) | 54,00 MPa | resistenza caratteristica coltetto agli SLE C90/105 ($0,6x f_{ck 90/105}$) |
| f_{cd} SLE (50/60) | 30,00 MPa | resistenza caratteristica coltetto agli SLE C50/60 ($0,6x f_{ck 50/60}$) |
| f_{cd} (C45/55) | 27,00 MPa | resistenza caratteristica coltetto agli SLE C45/55 ($0,6x f_{ck 45/55}$) |
| Verifica della flangia superiore dell'ancor cage | | |
| σ_C max sotto flangia | 28,43 Mpa | tensione massima nel calcestruzzo sotto la flangia |
| σ_C max sotto inghisaggio | 24,00 Mpa | tensione massima nel calcestruzzo sotto l'inghisaggio |
| σ_C max sotto coltetto | 13,49 Mpa | tensione massima nel calcestruzzo della suola |
| f_{cd} (90/105) | > σ_C max sotto flangia | VERIFICA |
| f_{cd} (C50/60) | > σ_C max inghisaggio | VERIFICA |
| f_{cd} (C45/55) | > σ_C max sotto coltetto | VERIFICA |
| Verifica della flangia inferiore dell'ancor cage | | |
| σ_C max sopra la flangia | 21,57 Mpa | tensione massima nel calcestruzzo |
| σ_C max al C45/55 | 14,94 Mpa | tensione massima nel calcestruzzo C45/55 sopra la flangia |
| f_{cd} (C45/55) | > σ_C max | VERIFICA |
| f_{cd} (C50/60) | > σ_C max al C45/55 | VERIFICA |

Di seguito la verifica allo SLE combinazione quasi permanente.

| Azioni agenti - SLE quasi permanente | | |
|--------------------------------------|----------------|--|
| F_z t | -6.902,00 KN | Forza verticale agente |
| M_r t | 97.465,00 KN m | Momento agente |
| P_{tdFz} | -69 KN | Forza sulla coppia di barre dovuta allo Sforzo verticale |
| P_{tdMr} | 975 KN | Forza sulla coppia di barre dovuta al Momento (+/-) |
| P_{tdDW} | -1.044 KN | Forza sulla coppia di barre verso il basso |
| P_{tdUP} | 906 KN | Forza sulla coppia di barre verso l'alto |
| P_a DW | 551 KN | Forza di post tensione agente sulla singola barra per Ptd < Zi |
| P_a UP | 610 KN | Forza di post tensione agente sulla singola barra per Ptd < Zi |

| Verifica compressione calcestruzzo | | |
|--|---------------------------------|---|
| f_{cd} SLE (90/105) | 40,50 MPa | resistenza caratteristica coltetto agli SLE C90/505 ($0,45x f_{ck 90/105}$) |
| f_{cd} (C50/60) | 22,50 MPa | resistenza caratteristica coltetto agli SLE C50/60 ($0,45x f_{ck 50/60}$) |
| f_{cd} (C45/55) | 20,25 MPa | resistenza caratteristica coltetto agli SLE C45/55 ($0,45x f_{ck 45/55}$) |
| Verifica della flangia superiore dell'ancor cage | | |
| σ_C max sotto flangia | 26,26 Mpa | tensione massima nel calcestruzzo sotto la flangia |
| σ_C max isotto inghisaggio | 22,17 Mpa | tensione massima nel calcestruzzo sotto l'inghisaggio |
| σ_C max sotto coltetto | 12,46 Mpa | tensione massima nel calcestruzzo della suola |
| f_{cd} (90/105) | > σ_C max sotto flangia | VERIFICA |
| f_{cd} (C50/60) | > σ_C max inghisaggio | VERIFICA |
| f_{cd} (C45/55) | > σ_C max sotto coltetto | VERIFICA |
| Verifica della flangia inferiore dell'ancor cage | | |
| σ_C max sopra la flangia | 21,57 Mpa | tensione massima nel calcestruzzo |
| σ_C max al C45/55 | 14,94 Mpa | tensione massima nel calcestruzzo C45/55 sopra la flangia |
| f_{cd} (C45/55) | > σ_C max | VERIFICA |
| f_{cd} (C50/60) | > σ_C max al C45/55 | VERIFICA |

La tensione di compressione del calcestruzzo sotto le flange agli SLE è inferiore a quella consentita per gli stati limite considerati, pertanto la verifica risulta soddisfatta.

Inoltre si procederà nel proseguo ad effettuare, per la zona di calcestruzzo in esame, le verifiche allo stato limite di fatica.

| | | |
|------------------|---|--------|
| CODICE ELABORATO | OGGETTO DELL'ELABORATO | PAGINA |
| RST-PD-R0006_R0 | INTEGRALE RICOSTRUZIONE PARCO EOLICO "SALEMI-TRAPANI" RELAZIONE DI CALCOLO PRELIMINARE DELLE STRUTTURE | 33 |

| Azioni minime a fatica | | |
|-------------------------|----------------|--|
| Fz t | -6.484,00 KN | Forza verticale agente |
| Mr t | 34.076,00 KN m | Momento agente |
| P _{tdFz} | -65 KN | Forza sulla coppia di barre dovuta allo Sforzo verticale |
| P _{tdMr} | 341 KN | Forza sulla coppia di barre dovuta al Momento (+/-) |
| P _{td DW} | -406 KN | Forza sulla coppia di barre verso il basso |
| P _{td UP} | 276 KN | Forza sulla coppia di barre verso l'alto |
| P _{a DW} | 587 KN | Forza di post tensione agente sulla singola barra per P _{td} < Z _i |
| P _{a UP} | 610 KN | Forza di post tensione agente sulla singola barra per P _{td} < Z _i |
| Azioni massime a fatica | | |
| Fz t | -6.622,00 KN | Forza verticale agente |
| Mr t | 78.192,00 KN m | Momento agente |
| P _{tdFz} | -66 KN | Forza sulla coppia di barre dovuta allo Sforzo verticale |
| P _{tdMr} | 782 KN | Forza sulla coppia di barre dovuta al Momento (+/-) |
| P _{td DW} | -848 KN | Forza sulla coppia di barre verso il basso |
| P _{td UP} | 716 KN | Forza sulla coppia di barre verso l'alto |
| P _{a DW} | 562 KN | Forza di post tensione agente sulla singola barra per P _{td} < Z _i |
| P _{a UP} | 610 KN | Forza di post tensione agente sulla singola barra per P _{td} < Z _i |

| Verifiche del calcestruzzo | | |
|--|-----------|--|
| f _{cd fat} (C90/105) | 39,53 MPa | resistenza di progetto a fatica inghisaggio C90/105 |
| f _{cd fat} (C50/60) | 24,79 MPa | resistenza di progetto a fatica colletto C50/60 |
| f _{cd fat} (C45/55) | 22,63 MPa | resistenza di progetto a fatica colletto C45/55 |
| Verifica della flangia superiore dell'ancor cage | | |
| σ _{C max} sotto flangia | 24,14 | tensione massima nel calcestruzzo sotto la flangia |
| σ _{C max} inghisaggio | 20,38 Mpa | tensione massima nel calcestruzzo sotto l'inghisaggio |
| σ _{C max} suola | 11,45 Mpa | tensione massima nel calcestruzzo della suola |
| σ _{C min} sotto flangia | 19,34 Mpa | tensione minima nel calcestruzzo sotto l'inghisaggio |
| σ _{C min} inghisaggio | 16,32 | tensione minima nel calcestruzzo sotto l'inghisaggio |
| σ _{C min} suola | 9,17 | tensione minima nel calcestruzzo della suola |
| η _c | 0,91 | |
| S _{cd, max} flangia | 0,56 | livello massimo delle tensioni di compressione C90/105 |
| S _{cd, min} flangia | 0,44 | livello minimo delle tensioni di compressione C90/105 |
| Y flangia | 0,72 | |
| S _{cd, max} inghisaggio | 0,75 | livello massimo delle tensioni di compressione C50/60 |
| S _{cd, min} inghisaggio | 0,60 | livello minimo delle tensioni di compressione C50/60 |
| Y inghisaggio | 0,78 | |
| S _{cd, max} suola | 0,46 | livello massimo delle tensioni di compressione C45/55 |
| S _{cd, min} suola | 0,37 | livello minimo delle tensioni di compressione C45/55 |
| Y suola | 0,69 | |
| Verifica nel calcestruzzo sotto la flangia C90/105 | | |
| (MC10 eq. 7.4.7a) Log N ₁ = | 12,62 | Log N = 15,03 > 6 VERIFICA |
| (MC10 eq. 7.4.7b) Log N ₂ = | 15,03 | |
| σ _{C max} = | 24,14 < | 54,00 = 0,6 x f _{ck(C90/105)} VERIFICA |
| (σ _{C max} + σ _{C min})/2 = | 21,74 < | 45,00 = 0,5 x f _{ck(C90/105)} VERIFICA |
| Verifica nel calcestruzzo sotto l'inghisaggio C50/60 | | |
| (MC10 eq. 7.4.7a) Log N ₁ = | 8,99 | Log N = 9,08 > 6 VERIFICA |
| (MC10 eq. 7.4.7b) Log N ₂ = | 9,08 | |
| σ _{C max} = | 20,38 < | 30,00 = 0,6 x f _{ck(C50/60)} VERIFICA |
| (σ _{C max} + σ _{C min})/2 = | 18,35 < | 25,00 = 0,5 x f _{ck(C50/60)} VERIFICA |
| Verifica nel calcestruzzo della suola C32/40 | | |
| (MC10 eq. 7.4.7a) Log N ₁ = | 13,76 | Log N = 18,07 > 6 VERIFICA |
| (MC10 eq. 7.4.7b) Log N ₂ = | 18,07 | |

| | | |
|------------------|---|--------|
| CODICE ELABORATO | OGGETTO DELL'ELABORATO | PAGINA |
| RST-PD-R0006_R0 | INTEGRALE RICOSTRUZIONE PARCO EOLICO "SALEMI-TRAPANI" RELAZIONE DI CALCOLO PRELIMINARE DELLE STRUTTURE | 34 |

| | | | |
|--|-----------|--|----------|
| $\sigma_{C \max} = 11,45$ | < | $27,00 = 0,6 \times f_{ck(C45/55)}$ | VERIFICA |
| $(\sigma_{C \max} + \sigma_{C \min})/2 = 10,31$ | < | $22,50 = 0,5 \times f_{ck(C45/55)}$ | VERIFICA |
| Verifica della flangia inferiore dell'ancor cage | | | |
| $\sigma_{C \max}$ sopra la flangia | 20,76 Mpa | tensione massima nel calcestruzzo sopra la flangia inferiore | |
| $\sigma_{C \max}$ al C45/55 | 14,37 Mpa | tensione massima nel calcestruzzo C45/55 sopra la flangia | |
| $\sigma_{C \min}$ sopra la flangia | 19,87 Mpa | tensione minima nel calcestruzzo sopra la flangia inferiore | |
| $\sigma_{C \min}$ al C45/55 | 13,76 Mpa | tensione minima nel calcestruzzo C45/55 sopra la flangia | |
| $f_{cd \text{ fat}} (C50/60)$ | 24,79 MPa | resistenza di progetto a fatica C50/60 | |
| $f_{cd \text{ fat}} (C45/55)$ | 22,63 MPa | resistenza di progetto a fatica C45/55 | |
| η_c | 0,98 | | |
| $S_{cd, \max} (C50/60)$ | 0,82 MPa | livello massimo delle tensioni di compressione | |
| $S_{cd, \min} (C50/60)$ | 0,78 MPa | livello minimo delle tensioni di compressione | |
| $Y (C50/60)$ | 0,84 | | |
| $S_{cd, \max} (C45/55)$ | 0,62 MPa | livello massimo delle tensioni di compressione | |
| $S_{cd, \min} (C45/55)$ | 0,60 MPa | livello minimo delle tensioni di compressione | |
| $Y (C45/55)$ | 0,77 | | |

| | | | |
|---|---------------|-------------------------------------|----------|
| Verifica nel calcestruzzo sopra la flangia C50/60 | | | |
| (MC10 eq. 7.4.7a) $\text{Log } N_1 = 8,79$ | Log N = 8,95 | > 6 | VERIFICA |
| (MC10 eq. 7.4.7b) $\text{Log } N_2 = 8,95$ | | | |
| $\sigma_{C \max} = 20,76$ | < | $30,00 = 0,6 \times f_{ck(C50/60)}$ | VERIFICA |
| $(\sigma_{C \max} + \sigma_{C \min})/2 = 20,31$ | < | $25,00 = 0,5 \times f_{ck(C50/60)}$ | VERIFICA |
| Verifica nel calcestruzzo sopra la flangia C45/55 | | | |
| (MC10 eq. 7.4.7a) $\text{Log } N_1 = 13,40$ | Log N = 20,09 | > 6 | VERIFICA |
| (MC10 eq. 7.4.7b) $\text{Log } N_2 = 20,09$ | | | |
| $\sigma_{C \max} = 22,63$ | < | $27,00 = 0,6 \times f_{ck(C45/55)}$ | VERIFICA |
| $(\sigma_{C \max} + \sigma_{C \min})/2 = 11,73$ | < | $22,50 = 0,5 \times f_{ck(C45/55)}$ | VERIFICA |

L'escursione di tensione nel calcestruzzo è inferiore a quella massima consentita, pertanto la verifica risulta soddisfatta.

| CODICE ELABORATO | OGGETTO DELL'ELABORATO | PAGINA |
|------------------|---|--------|
| RST-PD-R0006_R0 | INTEGRALE RICOSTRUZIONE PARCO EOLICO "SALEMI-TRAPANI" RELAZIONE DI CALCOLO PRELIMINARE DELLE STRUTTURE | 35 |

7.2. VERIFICA TIRANTI PER IL CALCESTRUZZO COMPRESSO

Secondo quanto disposto dall'Eurocodice 2, al paragrafo 6.7, si raccomanda di disporre idonee armature in grado di equilibrare le forze di trazione trasversali dovute all'effetto delle pressioni localizzate. Tali armature sono state disposte in prossimità delle flange, superiore ed inferiore dell'ancor cage.

Le forze di trazione agenti in tali armature sono state quindi valutate con l'ausilio di modelli tirante-puntone, secondo quanto disposto dall'Eurocodice 2, al paragrafo 6.5.3.

L'analisi condotta può essere riassunta nelle seguenti tabelle:

| Caratteristiche geometriche e dei materiali | | |
|--|----------------------|--|
| Caratteristiche dell'acciaio | | |
| f_{yd} | 391,30 Mpa | resistenza dell'acciaio di progetto |
| Caratteristiche dimensionali flangia superiore dell'ancor cage | | |
| H | 3,15 m | Altezza puntone |
| a | 0,65 m | Larghezza flangia |
| b_{eff} | 2,00 m | regione di totale discontinuità - $b_{eff} = 0,5 H + 0,65 a$ |
| $\tan \theta$ | 2,34 | |
| θ | 67 ° | Angolo di inclinazione dei puntoni |
| h | 1,58 m | |
| $z=h/2$ | 0,79 m | |
| d | 0,95 m | |
| Caratteristiche dimensionali flangia inferiore dell'ancor cage | | |
| H | 3,15 m | Altezza puntone |
| a | 0,45 m | Larghezza flangia |
| b_{eff} | 1,87 m | regione di totale discontinuità - $b_{eff} = 0,5 H + 0,65 a$ |
| $\tan \theta$ | 2,22 | |
| θ | 66 ° | Angolo di inclinazione dei puntoni |
| h | 1,58 m | |
| $z=h/2$ | 0,79 m | |
| d | 0,95 m | |
| Caratteristiche armatura presente per la flangia superiore | | |
| ϕ | 20 mm | diametro di armatura per la flangia superiore |
| n | 300 | numero barre totali |
| A | 1885 mm ² | Area di armatura per la flangia superiore |
| Caratteristiche armatura presente per la flangia inferiore | | |
| ϕ | 20 mm | diametro di armatura per la flangia inferiore |
| n | 300 | numero barre totali |
| A | 1885 mm ² | Area di armatura per la flangia inferiore |

| Verifica SLU | | |
|--------------------------------------|------------|---|
| Azione agente | | |
| $F_{Edu,FS}$ | 2862,17 KN | forza che si esplica sotto la flangia superiore dell'ancor cage |
| $F_{Edu,FI}$ | 1678,60 KN | forza che si esplica sopra la flangia inferiore dell'ancor cage |
| Forza di trazione corrispondente | | |
| $T_{ed,FS}$ | 612,19 KN | $T=F/4 \times (1-0,7xa/H)$ |
| $T_{ed,FI}$ | 377,68 KN | $T=F/4 \times (1-0,7xa/H)$ |
| Forza di trazione massima resistente | | |
| $F_{R,FS}$ | 737,59 KN | $F_{Rd}=A \cdot f_{yd}$ |

| | | |
|------------------|---|--------|
| CODICE ELABORATO | OGGETTO DELL'ELABORATO | PAGINA |
| RST-PD-R0006_R0 | INTEGRALE RICOSTRUZIONE PARCO EOLICO "SALEMI-TRAPANI" RELAZIONE DI CALCOLO PRELIMINARE DELLE STRUTTURE | 36 |

| | | |
|--------------------------|-----------|-------------------|
| $F_{R, FI}$ | 737,59 KN | $F_{Rd}=A*f_{yd}$ |
| VERIFICA | | |
| $F_{R, FS} > T_{ed, FS}$ | VERIFICA | |
| $F_{R, FI} > T_{ed, FI}$ | VERIFICA | |

La forza massima agente nelle armature allo scopo disposte sotto l'inghisaggio e sopra la flangia inferiore dell'ancor cage risulta idonea a sostenere le forze in gioco, pertanto la verifica risulta soddisfatta.

Inoltre si procederà nel proseguo ad effettuare, per le armature in esame, le verifiche agli stati limite di esercizio e allo stato limite di fatica.

| Verifica SLE – combinazione caratteristica | | |
|--|------------|---|
| Azione agente | | |
| $\sigma_{c \max}$ | 24,00 Mpa | forza che si esplica sotto la flangia superiore dell'ancor cage |
| F_{FS} | 2322,35 KN | forza max che si esplica sotto l'inghisaggio $F = \sigma_{c \max} \times A_{C0, FT}$ |
| $\sigma_{c \max}$ | 21,57 Mpa | tensione max agente sul calcestruzzo sopra la flangia inferiore dell'ancor cage |
| F_{FI} | 1220,00 KN | forza max che si esplica sopra la flangia inferiore dell'ancor cage $F = \sigma_{c \max} \times A_{C0, FA}$ |
| Caratteristiche acciaio | | |
| $f_{yd \text{ SLE}}$ | 360 MPa | resistenza dell'acciaio di progetto agli SLE ($0,8 \times f_{yk}$) |
| Forza di trazione corrispondente agente nei tiranti sotto la flangia della torre | | |
| T_{FS} | 496,73 KN | $T = F/4 \times (1 - 0,7x_a/h)$ |
| $\sigma_{s \max}$ | 263,52 MPa | tensione massima nell'acciaio dei tiranti sotto l'inghisaggio |
| $f_{yd \text{ SLE}} > \sigma_{s \max}$ | VERIFICA | |
| Forza di trazione corrispondente agente nei tiranti sopra la flangia inferiore dell'ancor cage | | |
| T_{FI} | 244,00 KN | $T = F/4 \times (1 - 0,7x_a/h)$ |
| $\sigma_{s \max}$ | 129,45 MPa | tensione massima nell'acciaio dei tiranti sopra la flangia inferiore dell'ancor cage |
| $f_{yd \text{ SLE}} > \sigma_{s \max}$ | VERIFICA | |

La tensione massima nell'acciaio è inferiore a quella consentita per gli stati limite di esercizio, pertanto la verifica risulta soddisfatta.

Di seguito la a fatica.

| Verifica a fatica | | |
|--|------------|---|
| Azione agente sotto la flangia superiore dell'ancor cage | | |
| $\sigma_{c \max}$ | 24,14 Mpa | tensione massima agente sul calcestruzzo sotto la flangia |
| $F_{FT \max}$ | 2335,72 KN | forza massima che si esplica sotto la flangia $F = \sigma_{c \max} \times A_{C0, FT}$ |
| $\sigma_{c \min}$ | 19,34 Mpa | tensione minima agente sul calcestruzzo sotto la flangia |
| $F_{FS \min}$ | 1871,08 KN | forza minima che si esplica sotto la flangia $F = \sigma_{c \min} \times A_{C0, FT}$ |
| ΔF_{FS} | 464,64 KN | variazione dell'Azione che si esplica sotto la flangia ($F_{\max} - F_{\min}$) |
| Azione agente sopra la flangia inferiore dell'ancor cage | | |
| $\sigma_{c \max}$ | 20,76 Mpa | tensione massima agente sul calcestruzzo sopra la flangia inferiore |
| $F_{FI \max}$ | 1173,89 KN | forza massima che si esplica sopra la flangia $F = \sigma_{c \max} \times A_{C0, FA}$ |
| $\sigma_{c \min}$ | 19,87 Mpa | tensione minima agente sul calcestruzzo sopra la flangia |
| $F_{FI \min}$ | 1123,57 KN | forza minima che si esplica sopra la flangia $F = \sigma_{c \min} \times A_{C0, FA}$ |
| ΔF_{FI} | 50,31 KN | variazione dell'Azione che si esplica sotto la flangia ($F_{\max} - F_{\min}$) |
| Caratteristiche acciaio | | |
| $\Delta \sigma_{Rsd}$ (dritte) | 101,69 MPa | escursione massima nell'acciaio verifiche a fatica barre dritte |
| Forza di trazione corrispondente agente nei tiranti sotto la flangia superiore dell'ancor cage | | |
| ΔT_{FS} | 82,60 KN | $T = F/4 \times (1 - 0,7x_a/h)$ |
| $\Delta \sigma_{s \max}$ | 43,82 MPa | escursione di tensione massima nell'acciaio dei tiranti sotto la flangia |

| | | |
|------------------|---|--------|
| CODICE ELABORATO | OGGETTO DELL'ELABORATO | PAGINA |
| RST-PD-R0006_R0 | INTEGRALE RICOSTRUZIONE PARCO EOLICO "SALEMI-TRAPANI" RELAZIONE DI CALCOLO PRELIMINARE DELLE STRUTTURE | 37 |

| | | | |
|-------------------------------|---|-------------------------|----------|
| $\Delta\sigma_{Rsd}$ (dritte) | > | $\Delta\sigma_{S\ max}$ | VERIFICA |
|-------------------------------|---|-------------------------|----------|

| | | | |
|--|----------|--|----------|
| Forza di trazione corrispondente agente nei tiranti sopra la flangia inferiore dell'ancor cage | | | |
| ΔT_{FI} | 10,06 KN | $T=F/4 \times (1-0,7x_a/h)$ | |
| $\Delta\sigma_{S\ max}$ | 5,34 MPa | escursione di tensione massima nell'acciaio dei tiranti sopra la flangia | |
| $\Delta\sigma_{Rsd}$ (dritte) | > | $\Delta\sigma_{S\ max}$ | VERIFICA |

L'escursione di tensione nell'acciaio è inferiore a quella massima consentita, pertanto la verifica risulta soddisfatta.

7.3. VERIFICA DELLE ARMATURE DEL COLLETTTO

Per assicurare il trasferimento degli sforzi di trazione provenienti dalla torre alla fondazione sono stati disposti n° 2 serie di coppie ferri piegati ad U, una interna ed una esterna alla gabbia di tirafondi, ognuna composta da n°100 ferri.

Per le verifiche consideriamo il colletto come una sezione in c.a. .

| Dati generali | | | |
|-----------------------------------|--------|-----------------|--|
| f_{yd} | 391,30 | Mpa | resistenza dell'acciaio di progetto |
| $f_{yd\ SLE}$ | 360 | MPa | resistenza dell'acciaio di progetto agli SLE (0,8xfyk) |
| Caratteristiche armatura presente | | | |
| ϕ | 26 | mm | diametro barre armatura |
| A | 531 | mm ² | Area barre armatura |

Di seguito la verifica allo SLU.

Titolo : []

Sezione circolare cava

Raggio esterno: 300 [cm]
Raggio interno: 100 [cm]
N° barre uguali: 0
Diametro barre: 0 [cm]
Copifero (baric.): 0 [cm]

N° barre: 400 Zoom

| N° | As [cm²] | x [cm] | y [cm] |
|----|----------|--------|--------|
| 1 | 5,31 | -289 | 0 |
| 2 | 5,31 | -237,4 | 0 |
| 3 | 5,31 | -162,6 | 0 |
| 4 | 5,31 | -111,1 | 0 |
| 5 | 5,31 | -288,4 | -18,1 |
| 6 | 5,31 | -236,9 | -14,9 |

Sollecitazioni
S.L.U. Metodo n

N_{Ed} : 8711 [kN]
 M_{xEd} : 176571 [kNm]
 M_{yEd} : 0 [kNm]

P.to applicazione N
 Centro Baricentro cls
 Coord.[cm] xN: 0 yN: 0

Materiali
B450C C45/55
 ϵ_{su} : 67,5 ‰ ϵ_{c2} : 2 ‰
 f_{yd} : 391,3 N/mm² ϵ_{cu} : 3,5 ‰
 E_s : 200.000 N/mm² f_{cd} : 25,5 ‰
 E_s/E_c : 15 f_{cc}/f_{cd} : 0,8
 ϵ_{syd} : 1,957 ‰ $\sigma_{c,adm}$: 16
 $\sigma_{s,adm}$: 255 N/mm² τ_{co} : 0,9333
 τ_{c1} : 2,543

Calcoli
 M_{Rd} : 220.076 kNm
 σ_c : -25,5 N/mm²
 σ_s : 391,3 N/mm²
 ϵ_c : 3,5 ‰
 ϵ_s : 14,62 ‰
d: 589 cm
x: 113,7 x/d: 0,1931
 δ : 0,7

Metodo di calcolo
 S.L.U.+ S.L.U.-
 Metodo n

Tipo flessione
 Retta Deviata

Vertici: 50 N° rett. 100
Calcola MRd Dominio M-N
L₀: 0 cm Col. modello
 M-curvatura
 Precompresso

Il momento resistente della sezione (M_{Rd}) risulta maggiore del momento agente (M_{Ed}), pertanto la verifica risulta soddisfatta.

| | | |
|------------------|---|--------|
| CODICE ELABORATO | OGGETTO DELL'ELABORATO | PAGINA |
| RST-PD-R0006_R0 | INTEGRALE RICOSTRUZIONE PARCO EOLICO "SALEMI-TRAPANI" RELAZIONE DI CALCOLO PRELIMINARE DELLE STRUTTURE | 38 |

Inoltre si procederà nel proseguo ad effettuare, per le armature in esame, le verifiche agli stati limite di esercizio e allo stato limite di fatica considerando l'azione di post tensione dei tirafondi

Di seguito la verifica allo SLE combinazione caratteristica.

Titolo: []

Sezione circolare cava

- Raggio esterno: 300 [cm]
- Raggio interno: 100 [cm]
- N° barre uguali: 0
- Diametro barre: 0 [cm]
- Copriferro (baric.): 0 [cm]

N° barre: 400 Zoom

| N° | As [cm²] | x [cm] | y [cm] |
|----|----------|--------|--------|
| 1 | 5,31 | -289 | 0 |
| 2 | 5,31 | -237,4 | 0 |
| 3 | 5,31 | -162,6 | 0 |
| 4 | 5,31 | -111,1 | 0 |
| 5 | 5,31 | -288,4 | -18,1 |
| 6 | 5,31 | -236,9 | -14,9 |

Tipo Sezione:

- Rettan.re
- Trapezi
- a T
- Circolare
- Rettangoli
- Coord.
- DXF

Armatura Precompressione

N° cavi: 200 Zoom

| N° | As [cm²] | x [cm] | y [cm] | σ_{sp} [MPa] |
|----|----------|--------|--------|---------------------|
| 1 | 0 | -210,4 | 0 | 545 |
| 2 | 13,85 | -189,7 | 0 | 545 |
| 3 | 13,85 | -209,9 | -13,2 | 545 |
| 4 | 13,85 | -189,3 | -11,9 | 545 |
| 5 | 13,85 | -208,7 | -26,4 | 545 |
| 6 | 13,85 | -188,2 | -23,8 | 545 |

Sollecitazioni

S.L.U. Metodo n

N_{Ed}: 0 -6622 kN
M_{xEd}: 0 117714 kNm
M_{yEd}: 0 0

P.to applicazione N

Centro Baricentro cls
 Coord.[cm]

xN: 0 yN: 0

Materiali

B450C C45/55

ϵ_{su} : 67,5% ϵ_{c2} : 2%
 f_{yd} : 391,3 N/mm² ϵ_{cu} : 3,5%
 E_s : 200.000 N/mm² f_{cd} : 25,5%
 E_s/E_c : 15 f_{cc}/f_{cd} : 0,8
 ϵ_{syd} : 1,957% $\sigma_{c,adm}$: 16
 $\sigma_{s,adm}$: 255 N/mm² τ_{co} : 0,9333
 τ_{c1} : 2,543

σ_c : -9,642 N/mm²
 σ_s : -2,066 N/mm²
 ϵ_s : -0,01033%
d: 589 cm
x: 597,5 x/d: 1,014
 δ : 1

Metodo di calcolo:

- S.L.U. +
- S.L.U. -
- Metodo n

Vertici: 50
Verifica
N° iterazioni: 1
 Precompresso

Barra

ϵ_{su} : 67,5%
 f_{yd} : 869,6 N/mm²
 E_s/E_c : 6
 ϵ_{syd} : 4,348%
 $\sigma_{s,adm}$: 800 N/mm²

σ_{sp} : 536,6 N/mm²
 ϵ_{sp} : 2,683% compressa predef.

La tensione massima nell'acciaio è inferiore a quella consentita per gli stati limite di esercizio, pertanto la verifica risulta soddisfatta.

Di seguito la verifica a fatica eseguita.

Fatica minimi

Titolo: []

Sezione circolare cava

- Raggio esterno: 300 [cm]
- Raggio interno: 100 [cm]
- N° barre uguali: 0
- Diametro barre: 0 [cm]
- Copriferro (baric.): 0 [cm]

N° barre: 400 Zoom

| N° | As [cm²] | x [cm] | y [cm] |
|----|----------|--------|--------|
| 1 | 5,31 | -289 | 0 |
| 2 | 5,31 | -237,4 | 0 |
| 3 | 5,31 | -162,6 | 0 |
| 4 | 5,31 | -111,1 | 0 |
| 5 | 5,31 | -288,4 | -18,1 |
| 6 | 5,31 | -236,9 | -14,9 |

Tipo Sezione:

- Rettan.re
- Trapezi
- a T
- Circolare
- Rettangoli
- Coord.
- DXF

Armatura Precompressione

N° cavi: 200 Zoom

| N° | As [cm²] | x [cm] | y [cm] | σ_{sp} [MPa] |
|----|----------|--------|--------|---------------------|
| 1 | 0 | -210,4 | 0 | 545 |
| 2 | 13,85 | -189,7 | 0 | 545 |
| 3 | 13,85 | -209,9 | -13,2 | 545 |
| 4 | 13,85 | -189,3 | -11,9 | 545 |
| 5 | 13,85 | -208,7 | -26,4 | 545 |
| 6 | 13,85 | -188,2 | -23,8 | 545 |

Sollecitazioni

S.L.U. Metodo n

N_{Ed}: 0 -6484 kN
M_{xEd}: 0 34076 kNm
M_{yEd}: 0 0

P.to applicazione N

Centro Baricentro cls
 Coord.[cm]

xN: 0 yN: 0

Materiali

B450C C45/55

ϵ_{su} : 67,5% ϵ_{c2} : 2%
 f_{yd} : 391,3 N/mm² ϵ_{cu} : 3,5%
 E_s : 200.000 N/mm² f_{cd} : 25,5%
 E_s/E_c : 15 f_{cc}/f_{cd} : 0,8
 ϵ_{syd} : 1,957% $\sigma_{c,adm}$: 16
 $\sigma_{s,adm}$: 255 N/mm² τ_{co} : 0,9333
 τ_{c1} : 2,543

σ_c : -6,207 N/mm²
 ϵ_s : -0,2591%

Metodo di calcolo:

- S.L.U. +
- S.L.U. -
- Metodo n

Vertici: 50
Verifica
N° iterazioni: 0
 Precompresso

Barra

ϵ_{su} : 67,5%
 f_{yd} : 869,6 N/mm²
 E_s/E_c : 6
 ϵ_{syd} : 4,348%
 $\sigma_{s,adm}$: 800 N/mm²

σ_{sp} : 522,1 N/mm²
 ϵ_{sp} : 2,61% compressa predef.

| | | |
|------------------|---|--------|
| CODICE ELABORATO | OGGETTO DELL'ELABORATO | PAGINA |
| RST-PD-R0006_R0 | INTEGRALE RICOSTRUZIONE PARCO EOLICO "SALEMI-TRAPANI" RELAZIONE DI CALCOLO PRELIMINARE DELLE STRUTTURE | 39 |

Fatica massimi

Titolo : _____

Sezione circolare cava

Raggio esterno: 300 [cm]

Raggio interno: 100 [cm]

N° barre uguali: 0

Diametro barre: 0 [cm]

Copriferro (baric.): 0 [cm]

N° barre: 400 Zoom

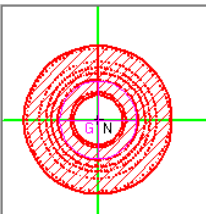
| N° | As [cm²] | x [cm] | y [cm] |
|----|----------|--------|--------|
| 1 | 5,31 | -289 | 0 |
| 2 | 5,31 | -237,4 | 0 |
| 3 | 5,31 | -162,6 | 0 |
| 4 | 5,31 | -111,1 | 0 |
| 5 | 5,31 | -288,4 | -18,1 |
| 6 | 5,31 | -236,9 | -14,9 |

Armatura Precompressione

N° cavi: 200 Zoom

| N° | As [cm²] | x [cm] | y [cm] | σ_{sp} [MPa] |
|----|----------|--------|--------|---------------------|
| 1 | 0 | -210,4 | 0 | 545 |
| 2 | 13,85 | -189,7 | 0 | 545 |
| 3 | 13,85 | -209,9 | -13,2 | 545 |
| 4 | 13,85 | -189,3 | -11,9 | 545 |
| 5 | 13,85 | -208,7 | -26,4 | 545 |
| 6 | 13,85 | -188,2 | -23,8 | 545 |

Tipologia Sezione: Rettan.re Trapezi a T Circolare Rettangoli Coord. DXF



Metodo di calcolo: S.L.U.+ S.L.U.- Metodo n

Materiali: B450C C45/55

E_{su} 67,5 ‰ E_{c2} 2 ‰

f_{yd} 391,3 N/mm² E_{cu} 3,5 ‰

E_s 200.000 N/mm² f_{cd} 25,5 ‰

E_s/E_c 15 f_{cc}/f_{cd} 0,8

E_{syd} 1,957 ‰ $\sigma_{c,adm}$ 16

$\sigma_{s,adm}$ 255 N/mm² τ_{co} 0,9333

τ_{c1} 2,543

Sollecitazioni: S.L.U. Metodo n

N_{Ed} 0 -6622 kN

M_{xEd} 0 78192 kNm

M_{yEd} 0 0

P.to applicazione N: Centro Baricentro cls Coord.[cm]

xN 0 yN 0

σ_c -0,017 N/mm²

ϵ_s -0,1278 ‰

Vertici: 50

Verifica

N° iterazioni: 0

Precompresso

Armatura Precompressione: Tipo cavo Barra

E_{su} 67,5 ‰

f_{yd} 869,6 N/mm²

E_s/E_c 6

E_{syd} 4,348 ‰

$\sigma_{s,adm}$ 800 N/mm²

σ_{sp} 529,7 N/mm²

ϵ_{sp} 2,649 ‰ compressa predef.

| Tensioni agenti | | | |
|--------------------------------|---------------------------|---|-------------------|
| F_{ed} | -6.622,00 KN | Forza verticale massima agente | |
| M_{ed} | 78.192,00 KN m | Momento massimo agente | |
| F_{ed} | -6.484,00 KN | Forza verticale minima agente | |
| M_{ed} | 34.076,00 KN m | Momento minimo agente | |
| $\sigma_{s\ fat\ max}$ | 118,50 Mpa | tensione massima nella barra dell'ancor cage maggiormente sollecitata | |
| $\sigma_{s\ fat\ min}$ | 92,40 Mpa | tensione minima nella barra dell'ancor cage maggiormente sollecitata | |
| $\Delta\sigma_{Rsd}$ (dritte) | 101,69 Mpa | escursione ammissibile nell'acciaio - verifiche a fatica barre dritte | |
| $\Delta\sigma_{Rsd}$ (piegate) | 54,10 Mpa | barre piegate | $\phi= 26$ D= 182 |
| VERIFICA | | | |
| $\Delta\sigma_{s\ max}$ | 26,10 MPa | escursione di tensione massima nelle armature di collegamento | |
| $\Delta\sigma_{Rsk}$ (piegate) | > $\Delta\sigma_{s\ max}$ | VERIFICA | |

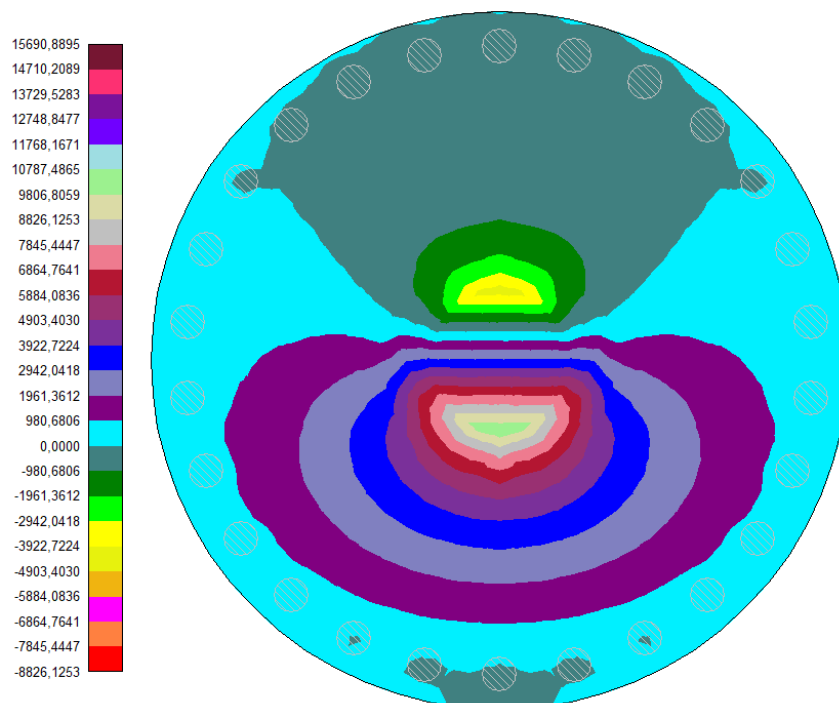
L'escursione di tensione nell'acciaio è inferiore a quella massima consentita, pertanto la verifica risulta soddisfatta.

| CODICE ELABORATO | OGGETTO DELL'ELABORATO | PAGINA |
|------------------|---|--------|
| RST-PD-R0006_R0 | INTEGRALE RICOSTRUZIONE PARCO EOLICO "SALEMI-TRAPANI" RELAZIONE DI CALCOLO PRELIMINARE DELLE STRUTTURE | 40 |

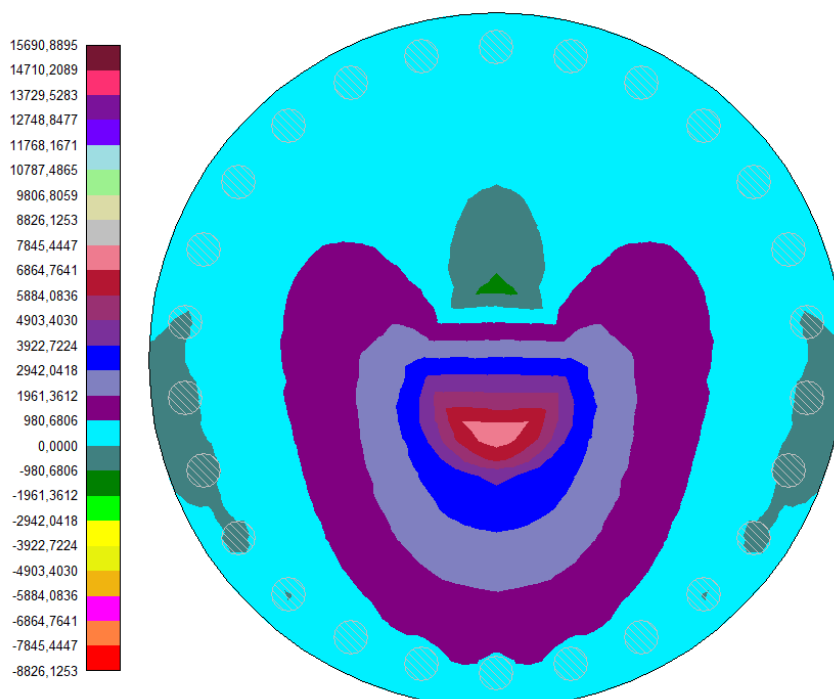
8. VERIFICHE GLOBALI PLINTO DI FONDAZIONE

I risultati di output del modello FEM possono essere riassunti nella seguente colormap in cui è rappresentato l'andamento delle principali caratteristiche di sollecitazione agenti.

- Distribuzione del momento M_y (KN m) nella piastra di fondazione – COMB 12

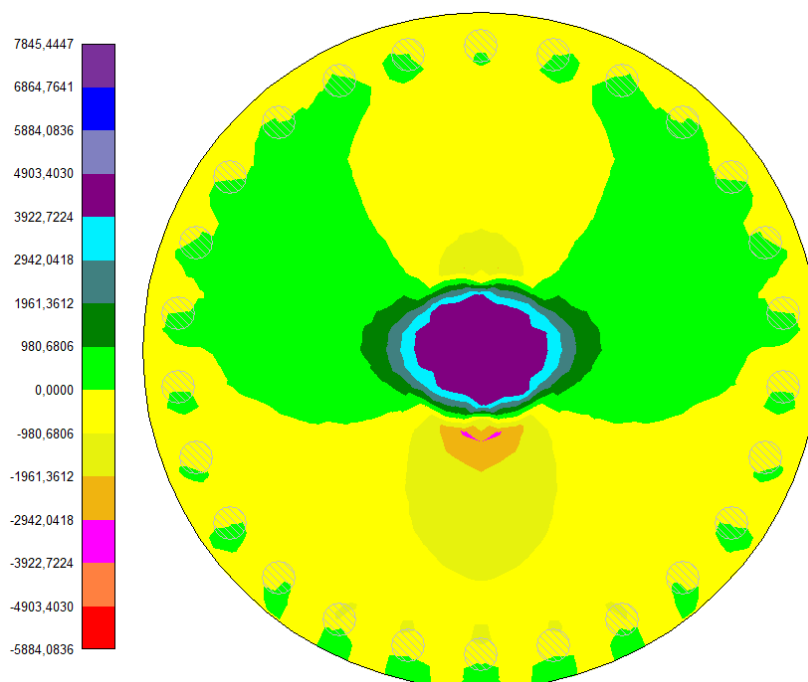


- Distribuzione del momento M_x (KN m) nella piastra di fondazione




| CODICE ELABORATO | OGGETTO DELL'ELABORATO | PAGINA |
|------------------|---|--------|
| RST-PD-R0006_R0 | INTEGRALE RICOSTRUZIONE PARCO EOLICO "SALEMI-TRAPANI" RELAZIONE DI CALCOLO PRELIMINARE DELLE STRUTTURE | 41 |

- Distribuzione del taglio T_y (kN) nella piastra di fondazione



Dall'analisi delle colormap possiamo affermare che, nella configurazione di carico analizzata, le sollecitazioni massime agenti lungo la struttura esaminata sono localizzate lungo il diametro della fondazione individuato dall'asse Y. Pertanto si è concentrata l'analisi sulle sollecitazioni radiali e tangenziali agenti lungo tale asse, al fine di estendere i risultati dell'analisi alla totalità della fondazione.

 Zona maggiormente sollecitata

Per la definizione delle azioni massime agenti è stato effettuato l'involuppo delle sollecitazioni nodali agenti nei punti individuati in figura come nodi analizzati, appartenenti ad una fascia di fondazione di larghezza pari ad 1,2 m a cavallo dell'asse Y.

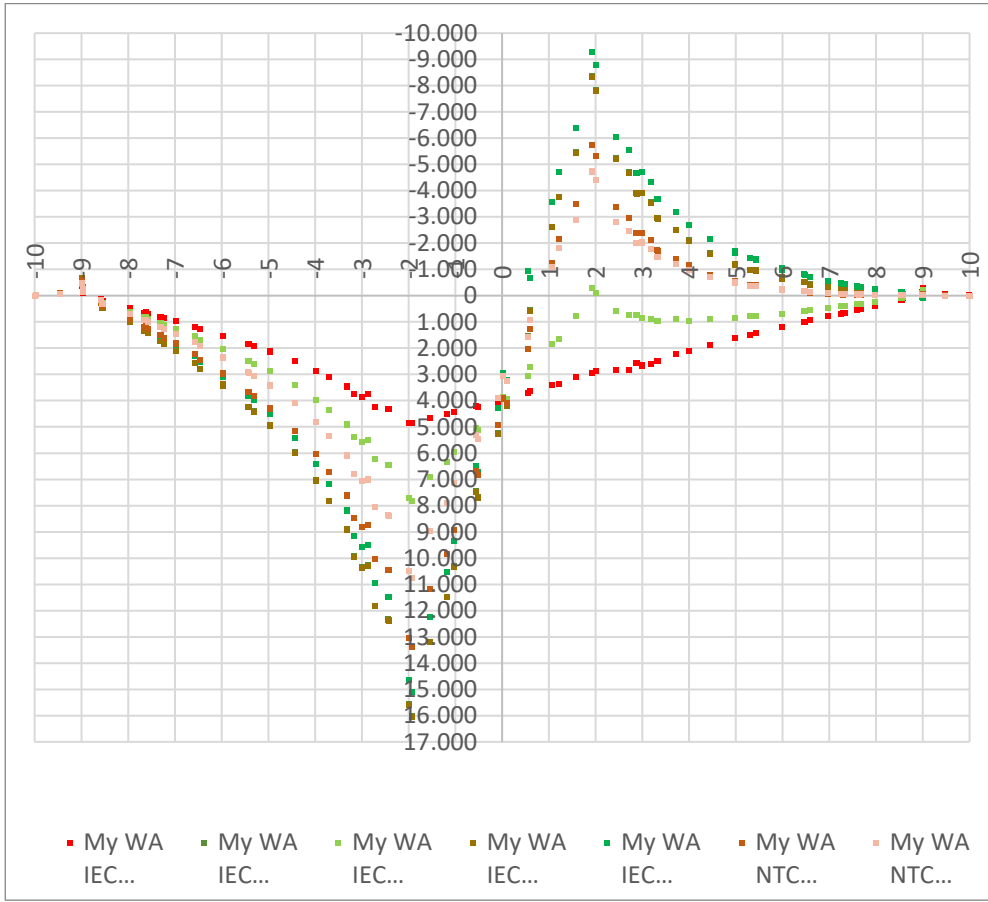
8.1. CARATTERISTICHE DI SOLLECITAZIONE AGENTI

Dall'analisi effettuata sono state dedotte le seguenti sollecitazioni massime agenti sulla fondazione:

SLU – A1

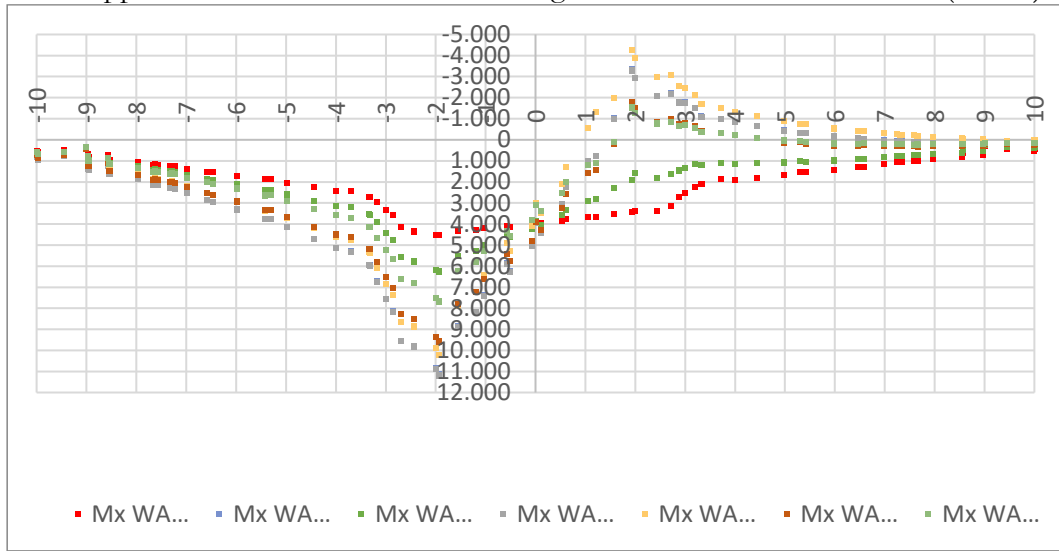
Involuppo del momento radiale agente sulla fascia di fondazione (KN m)

| | | |
|------------------|---|--------|
| CODICE ELABORATO | OGGETTO DELL'ELABORATO | PAGINA |
| RST-PD-R0006_R0 | INTEGRALE RICOSTRUZIONE PARCO EOLICO "SALEMI-TRAPANI" RELAZIONE DI CALCOLO PRELIMINARE DELLE STRUTTURE | 42 |

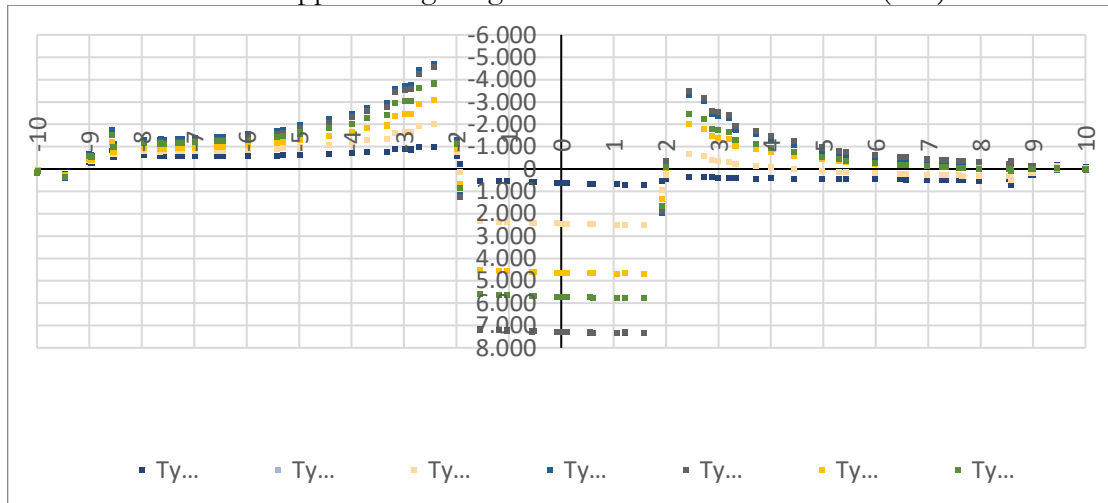


| CODICE ELABORATO | OGGETTO DELL'ELABORATO | PAGINA |
|------------------|---|--------|
| RST-PD-R0006_R0 | INTEGRALE RICOSTRUZIONE PARCO EOLICO "SALEMI-TRAPANI" RELAZIONE DI CALCOLO PRELIMINARE DELLE STRUTTURE | 43 |

Inviluppo del momento circonferenziale agente sulla fascia di fondazione (KN m)



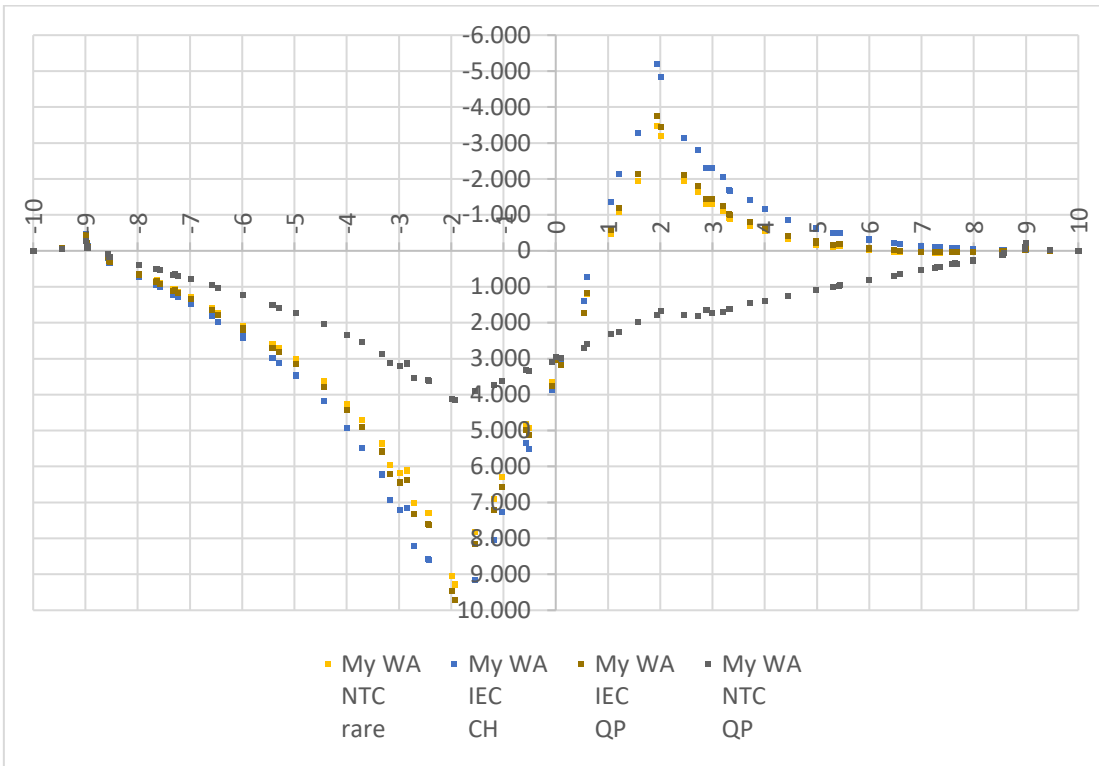
Inviluppo del taglio agente sulla fascia di fondazione (KN)



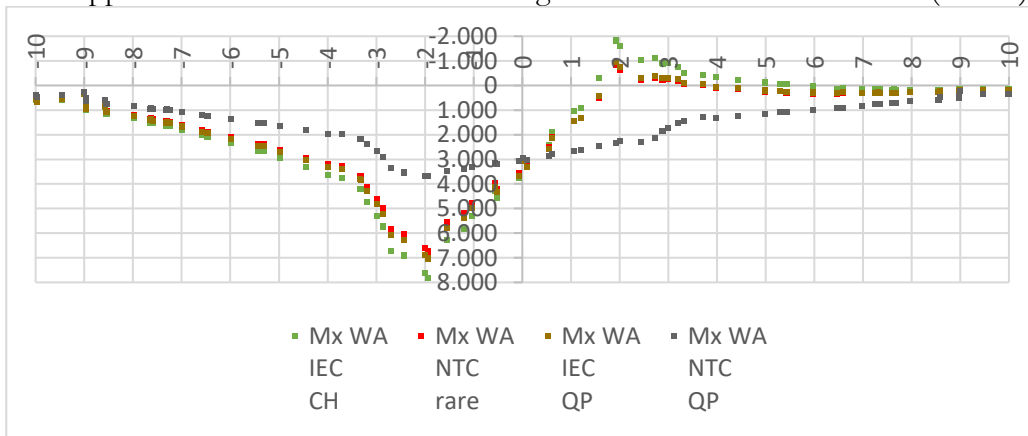
| | | |
|------------------|---|--------|
| CODICE ELABORATO | OGGETTO DELL'ELABORATO | PAGINA |
| RST-PD-R0006_R0 | INTEGRALE RICOSTRUZIONE PARCO EOLICO "SALEMI-TRAPANI" RELAZIONE DI CALCOLO PRELIMINARE DELLE STRUTTURE | 44 |

SLE combinazioni Quasi Permanente e Caratteristica

Involuppo del momento radiale agente sulla fascia di fondazione (KN m)



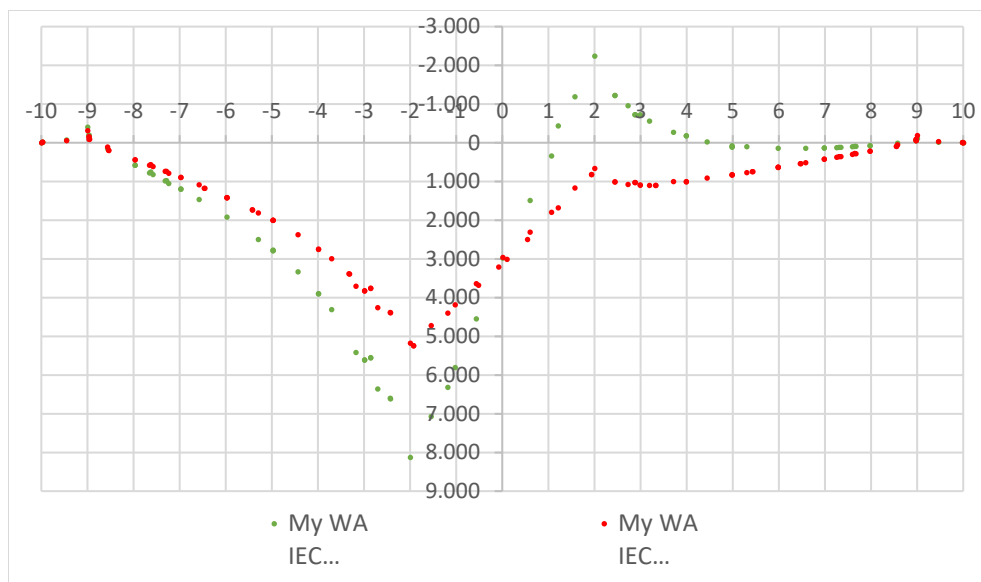
Involuppo del momento circonferenziale agente sulla fascia di fondazione (KN m)



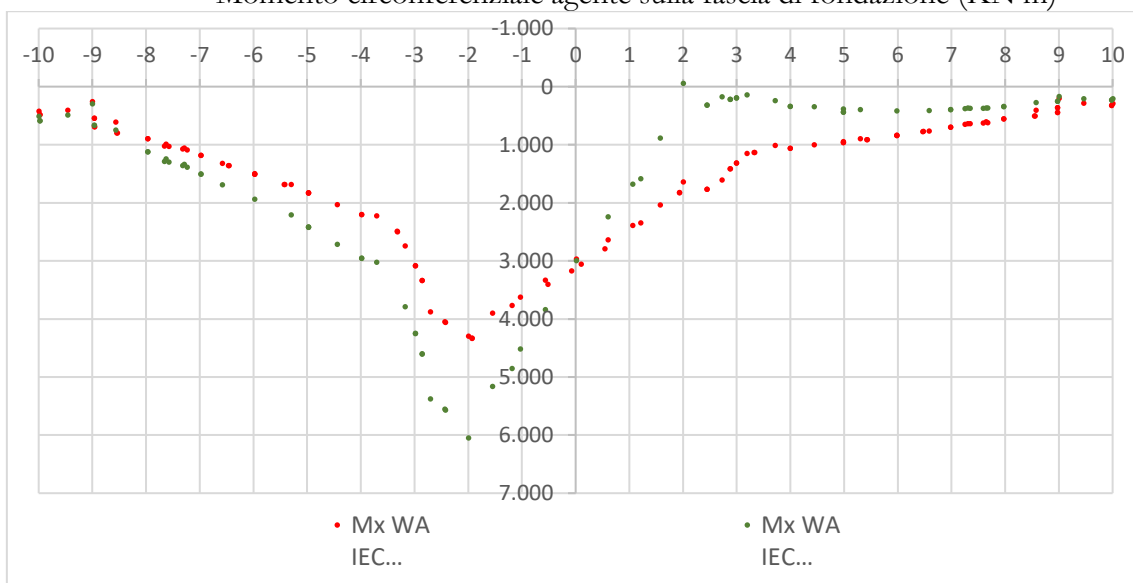
Carichi a fatica

Momento radiale agente sulla fascia di fondazione (KN m)

| CODICE ELABORATO | OGGETTO DELL'ELABORATO | PAGINA |
|------------------|---|--------|
| RST-PD-R0006_R0 | INTEGRALE RICOSTRUZIONE PARCO EOLICO "SALEMI-TRAPANI" RELAZIONE DI CALCOLO PRELIMINARE DELLE STRUTTURE | 45 |



Momento circonferenziale agente sulla fascia di fondazione (KN m)



Dalle analisi dei tabulati di output (riportati nell'elaborato fascicolo dei calcoli) provenienti dalla modellazione in oggetto è stato possibile desumere le condizioni di sollecitazioni agenti più gravose e, altresì, le sezioni della piastra maggiormente sollecitate.

Definite le sollecitazioni agenti si sono eseguite le opportune verifiche agli SLU e SLE ai sensi del DM 17/01/2018; tali verifiche sono riportate nei paragrafi seguenti.

Il progetto-verifica avviene sempre secondo due direzioni ortogonali, una radiale e l'altra circonferenziale. Le convenzioni adottate sono tali che il momento positivo produce le fibre tese della parte inferiore della fondazione.

| | | |
|------------------|---|--------|
| CODICE ELABORATO | OGGETTO DELL'ELABORATO | PAGINA |
| RST-PD-R0006_R0 | INTEGRALE RICOSTRUZIONE PARCO EOLICO "SALEMI-TRAPANI" RELAZIONE DI CALCOLO PRELIMINARE DELLE STRUTTURE | 46 |

8.2. VERIFICA PRESSO-FLESSIONE AGLI SLU

Il momento resistente viene determinato dopo aver calcolato la curvatura che, in condizioni di deformazione limite del calcestruzzo o dell'acciaio, soddisfa l'equilibrio alla traslazione. Tale momento viene quindi confrontato con il momento agente nella sezione corrispondente, la verifica risulta soddisfatta se risulta soddisfatta la seguente espressione:

$$M_{rd} \geq M_{ed}$$

Le sezioni indagate ai fini della determinazione del momento radiale resistente sono individuate dalla ordinata a cui si effettua l'analisi. Le verifiche sono riportate nelle tabelle seguenti.

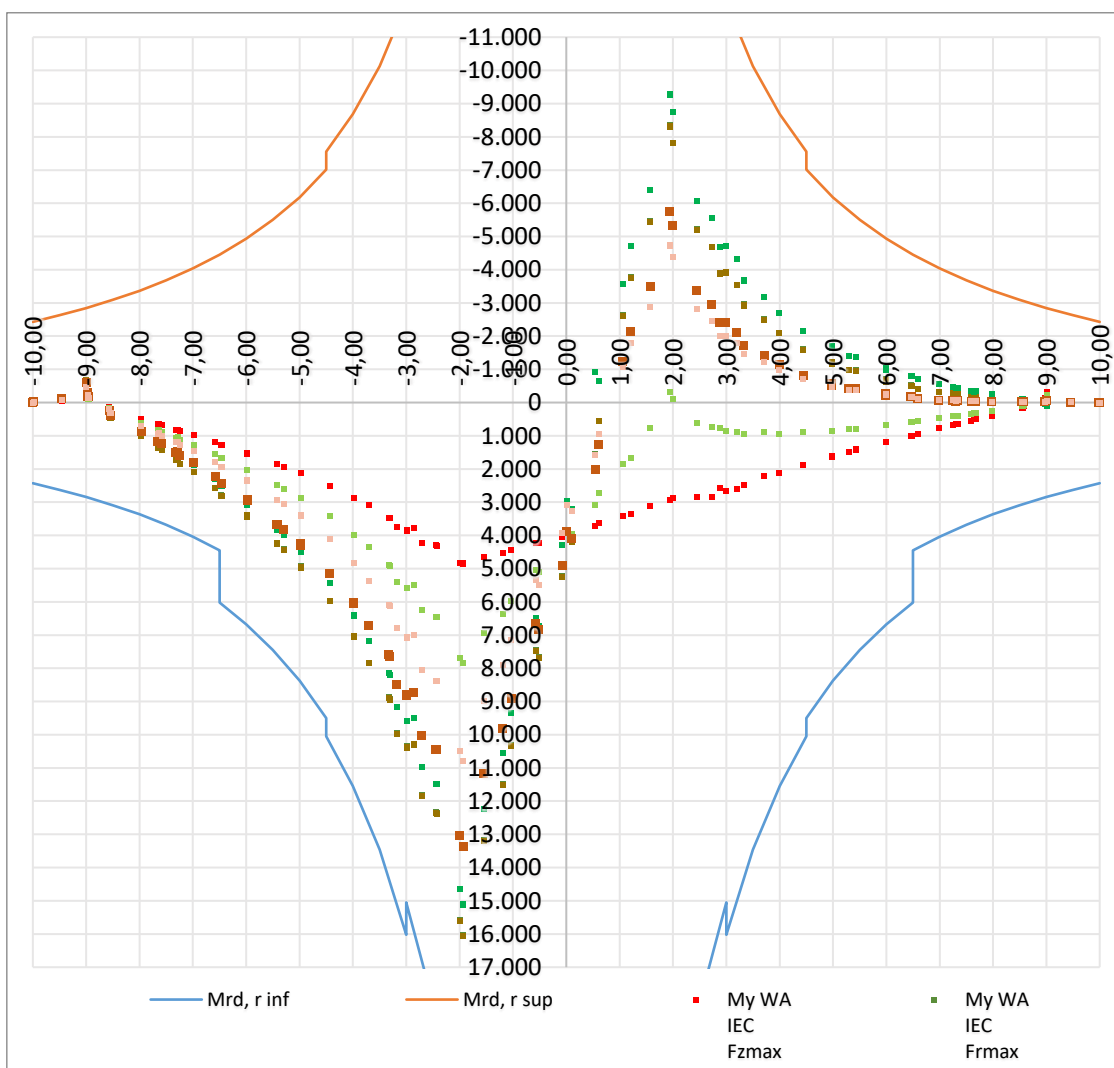
| Momento Ultimo Resistente radiale inferiore | | | | | | | | | |
|---|-------|-------|-----------------|--------------|-----------------|--------------|-----------------------|----------------------|------------------------|
| y (-) | y (+) | C | $\phi_{r, inf}$ | $n_{r, inf}$ | $\phi_{r, inf}$ | $n_{r, inf}$ | H (M _{inf}) | A _{f, inf} | M _{rd, r inf} |
| [m] | [m] | [m] | [mm] | | [mm] | | [mm] | [mm ² /m] | [kN*m] |
| -10,00 | 10,00 | 62,83 | 32 | 200 | 20 | 200 | 1850 | 3560,00 | 2.428,26 |
| -9,50 | 9,50 | 59,69 | 32 | 200 | 20 | 200 | 1900 | 3747,37 | 2.625,90 |
| -9,00 | 9,00 | 56,55 | 32 | 200 | 20 | 200 | 1950 | 3955,56 | 2.845,47 |
| -8,50 | 8,50 | 53,41 | 32 | 200 | 20 | 200 | 2000 | 4188,24 | 3.090,84 |
| -8,00 | 8,00 | 50,27 | 32 | 200 | 20 | 200 | 2050 | 4450,00 | 3.366,82 |
| -7,50 | 7,50 | 47,12 | 32 | 200 | 20 | 200 | 2100 | 4746,67 | 3.679,54 |
| -7,00 | 7,00 | 43,98 | 32 | 200 | 20 | 200 | 2150 | 5085,71 | 4.036,86 |
| -6,50 | 6,50 | 40,84 | 32 | 200 | 20 | 200 | 2200 | 5476,92 | 4.449,05 |
| -6,50 | 6,50 | 40,84 | 32 | 300 | 20 | 200 | 2200 | 7446,15 | 6.022,55 |
| -6,00 | 6,00 | 37,70 | 32 | 300 | 20 | 200 | 2250 | 8066,67 | 6.675,26 |
| -6,00 | 6,00 | 37,70 | 32 | 300 | 20 | 200 | 2250 | 8066,67 | 6.675,26 |
| -5,50 | 5,50 | 34,56 | 32 | 300 | 20 | 200 | 2300 | 8800,00 | 7.446,47 |
| -5,50 | 5,50 | 34,56 | 32 | 300 | 20 | 200 | 2300 | 8800,00 | 7.446,47 |
| -5,00 | 5,00 | 31,42 | 32 | 300 | 20 | 200 | 2350 | 9680,00 | 8.371,75 |
| -4,50 | 4,50 | 28,27 | 32 | 300 | 20 | 200 | 2400 | 10755,56 | 9.502,32 |
| -4,50 | 4,50 | 28,27 | 32 | 300 | 32 | 100 | 2400 | 11377,78 | 10.047,01 |
| -4,00 | 4,00 | 25,13 | 32 | 300 | 32 | 100 | 2450 | 12800,00 | 11.541,88 |
| -3,50 | 3,50 | 21,99 | 32 | 300 | 32 | 100 | 2500 | 14628,57 | 13.463,86 |
| -3,00 | 3,00 | 18,85 | 32 | 300 | 32 | 100 | 2550 | 17066,67 | 16.026,69 |
| -3,00 | 3,00 | 18,85 | 32 | 200 | 32 | 100 | 3150 | 12800,00 | 15.047,88 |
| -2,50 | 2,50 | 15,71 | 32 | 200 | 32 | 100 | 3150 | 15360,00 | 18.041,25 |
| -2,00 | 2,00 | 12,57 | 32 | 200 | 32 | 100 | 3150 | 19200,00 | 22.531,93 |

| Momento Ultimo Resistente radiale superiore | | | | | | | | | |
|---|-------|-------|-----------------|--------------|-----------------|--------------|-----------------------|----------------------|------------------------|
| y (-) | y (+) | C | $\phi_{r, sup}$ | $n_{r, sup}$ | $\phi_{r, sup}$ | $n_{r, sup}$ | H (M _{sup}) | A _{f, sup} | M _{rd, r sup} |
| [m] | [m] | [m] | [mm] | | [mm] | | | [mm ² /m] | [kN*m] |
| -10,00 | 10,00 | 62,83 | 32 | 200 | 20 | 200 | 1850 | 3560,00 | -2.428,26 |
| -9,50 | 9,50 | 59,69 | 32 | 200 | 20 | 200 | 1900 | 3747,37 | -2.625,90 |
| -9,00 | 9,00 | 56,55 | 32 | 200 | 20 | 200 | 1950 | 3955,56 | -2.845,47 |
| -8,50 | 8,50 | 53,41 | 32 | 200 | 20 | 200 | 2000 | 4188,24 | -3.090,84 |
| -8,00 | 8,00 | 50,27 | 32 | 200 | 20 | 200 | 2050 | 4450,00 | -3.366,82 |
| -7,50 | 7,50 | 47,12 | 32 | 200 | 20 | 200 | 2100 | 4746,67 | -3.679,54 |
| -7,00 | 7,00 | 43,98 | 32 | 200 | 20 | 200 | 2150 | 5085,71 | -4.036,86 |
| -6,50 | 6,50 | 40,84 | 32 | 200 | 20 | 200 | 2200 | 5476,92 | -4.449,05 |
| -6,50 | 6,50 | 40,84 | 32 | 200 | 20 | 200 | 2200 | 5476,92 | -4.448,51 |

| CODICE ELABORATO | OGGETTO DELL'ELABORATO | PAGINA |
|------------------|---|--------|
| RST-PD-R0006_R0 | INTEGRALE RICOSTRUZIONE PARCO EOLICO "SALEMI-TRAPANI" RELAZIONE DI CALCOLO PRELIMINARE DELLE STRUTTURE | 47 |

| | | | | | | | | | |
|-------|------|-------|----|-----|----|-----|------|----------|------------|
| -6,00 | 6,00 | 37,70 | 32 | 200 | 20 | 200 | 2250 | 5933,33 | -4.929,22 |
| -6,00 | 6,00 | 37,70 | 32 | 200 | 20 | 200 | 2250 | 5933,33 | -4.929,22 |
| -5,50 | 5,50 | 34,56 | 32 | 200 | 20 | 200 | 2300 | 6472,73 | -5.497,25 |
| -5,50 | 5,50 | 34,56 | 32 | 200 | 20 | 200 | 2300 | 6472,73 | -5.497,25 |
| -5,00 | 5,00 | 31,42 | 32 | 200 | 20 | 200 | 2350 | 7120,00 | -6.178,79 |
| -4,50 | 4,50 | 28,27 | 32 | 200 | 20 | 200 | 2400 | 7911,11 | -7.011,67 |
| -4,50 | 4,50 | 28,27 | 32 | 300 | | | 2400 | 8533,33 | -7.557,34 |
| -4,00 | 4,00 | 25,13 | 32 | 300 | | | 2450 | 9600,00 | -8.680,09 |
| -3,50 | 3,50 | 21,99 | 32 | 300 | | | 2500 | 10971,43 | -10.123,53 |
| -3,00 | 3,00 | 18,85 | 32 | 300 | | | 2550 | 12800,00 | -12.048,01 |
| -3,00 | 3,00 | 18,85 | 32 | 200 | 32 | 100 | 2550 | 12800,00 | -12.047,63 |
| -2,50 | 2,50 | 15,71 | 32 | 200 | 32 | 100 | 2550 | 15360,00 | -14.439,41 |
| -2,00 | 2,00 | 12,57 | 32 | 200 | 32 | 100 | 2550 | 19200,00 | -18.027,82 |

Nel seguente grafico viene confrontato il momento radiale resistente ultimo con il momento radiale agente:



Il momento resistente risulta sempre maggiore del momento agente. La fondazione risulta pertanto verificata in ogni sua sezione.

| CODICE ELABORATO | OGGETTO DELL'ELABORATO | PAGINA |
|------------------|---|--------|
| RST-PD-R0006_R0 | INTEGRALE RICOSTRUZIONE PARCO EOLICO "SALEMI-TRAPANI" RELAZIONE DI CALCOLO PRELIMINARE DELLE STRUTTURE | 48 |

Le sezioni indagate ai fini della determinazione del momento circonferenziale resistente sono individuate dalla ordinata a cui si effettua la verifica. Le verifiche sono riportate nelle tabelle seguenti.

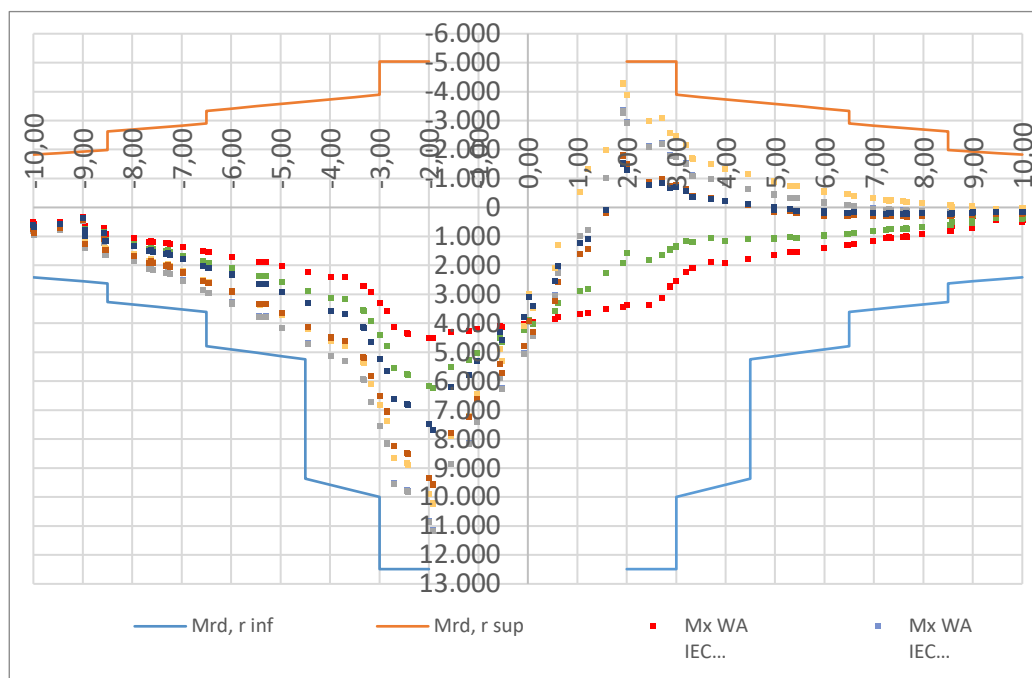
| Momento Ultimo Resistente circonferenziale inferiore | | | | | | |
|---|-------|-----------------|-----------------|-----------------------|----------------------|------------------------|
| y (-) | y (+) | $\phi_{c, inf}$ | $\rho_{c, inf}$ | H (M _{inf}) | A _{f, inf} | M _{rd, r inf} |
| [m] | [m] | [mm] | [mm] | [mm] | [mm ² /m] | [kN*m] |
| -10,00 | 10,00 | 26 | 150 | 1850 | 3539,53 | 2.414,24 |
| -9,50 | 9,50 | 26 | 150 | 1900 | 3539,53 | 2.483,14 |
| -9,00 | 9,00 | 26 | 150 | 1950 | 3539,53 | 2.552,04 |
| -8,50 | 8,50 | 26 | 150 | 2000 | 3539,53 | 2.620,98 |
| -8,50 | 8,50 | 26 | 120 | 2000 | 4424,41 | 3.261,70 |
| -7,50 | 7,50 | 26 | 120 | 2100 | 4424,41 | 3.434,23 |
| -7,00 | 7,00 | 26 | 120 | 2150 | 4424,41 | 3.520,51 |
| -6,50 | 6,50 | 26 | 120 | 2200 | 4424,41 | 3.606,82 |
| -6,50 | 6,50 | 26 | 90 | 2200 | 5899,21 | 4.787,40 |
| -6,00 | 6,00 | 26 | 90 | 2250 | 5899,21 | 4.902,54 |
| -6,00 | 6,00 | 26 | 90 | 2250 | 5899,21 | 4.902,54 |
| -5,50 | 5,50 | 26 | 90 | 2300 | 5899,21 | 5.017,68 |
| -5,50 | 5,50 | 26 | 90 | 2300 | 5899,21 | 5.017,68 |
| -5,00 | 5,00 | 26 | 90 | 2350 | 5899,21 | 5.132,82 |
| -4,50 | 4,50 | 26 | 90 | 2400 | 5899,21 | 5.247,97 |
| -4,50 | 4,50 | 26 | 50 | 2400 | 10618,58 | 9.369,78 |
| -4,00 | 4,00 | 26 | 50 | 2450 | 10618,58 | 9.577,86 |
| -3,50 | 3,50 | 26 | 50 | 2500 | 10618,58 | 9.786,16 |
| -3,00 | 3,00 | 26 | 50 | 2550 | 10618,58 | 9.994,67 |
| -3,00 | 3,00 | 26 | 50 | 3150 | 10618,58 | 12.490,31 |
| -2,50 | 2,50 | 26 | 50 | 3150 | 10618,58 | 12.490,31 |
| -2,00 | 2,00 | 26 | 50 | 3150 | 10618,58 | 12.490,31 |

| Momento Ultimo Resistente circonferenziale superiore | | | | | | |
|---|-------|-----------------|-----------------|-----------------------|----------------------|------------------------|
| y (-) | y (+) | $\phi_{c, sup}$ | $\rho_{c, sup}$ | H (M _{sup}) | A _{f, sup} | M _{rd, r sup} |
| [m] | [m] | [mm] | [mm] | [mm] | [mm ² /m] | [kN*m] |
| -10,00 | 10,00 | 26 | 200 | 1850 | 2654,65 | -1.825,42 |
| -9,50 | 9,50 | 26 | 200 | 1900 | 2654,65 | -1.876,92 |
| -9,00 | 9,00 | 26 | 200 | 1950 | 2654,65 | -1.928,48 |
| -8,50 | 8,50 | 26 | 200 | 2000 | 2654,65 | -1.980,10 |
| -8,50 | 8,50 | 26 | 150 | 2000 | 3539,53 | -2.621,54 |
| -7,50 | 7,50 | 26 | 150 | 2100 | 3539,53 | -2.759,40 |
| -7,00 | 7,00 | 26 | 150 | 2150 | 3539,53 | -2.828,41 |
| -6,50 | 6,50 | 26 | 150 | 2200 | 3539,53 | -2.897,48 |
| -6,50 | 6,50 | 26 | 130 | 2200 | 4084,07 | -3.333,86 |
| -6,00 | 6,00 | 26 | 130 | 2250 | 4084,07 | -3.413,56 |
| -6,00 | 6,00 | 26 | 130 | 2250 | 4084,07 | -3.413,56 |
| -5,50 | 5,50 | 26 | 130 | 2300 | 4084,07 | -3.493,31 |
| -5,50 | 5,50 | 26 | 130 | 2300 | 4084,07 | -3.493,31 |
| -5,00 | 5,00 | 26 | 130 | 2350 | 4084,07 | -3.573,14 |
| -4,50 | 4,50 | 26 | 130 | 2400 | 4084,07 | -3.652,73 |
| -4,50 | 4,50 | 26 | 130 | 2400 | 4084,07 | -3.652,32 |
| -4,00 | 4,00 | 26 | 130 | 2450 | 4084,07 | -3.731,89 |

| CODICE ELABORATO | OGGETTO DELL'ELABORATO | PAGINA |
|------------------|---|--------|
| RST-PD-R0006_R0 | INTEGRALE RICOSTRUZIONE PARCO EOLICO "SALEMI-TRAPANI" RELAZIONE DI CALCOLO PRELIMINARE DELLE STRUTTURE | 49 |

| | | | | | | |
|-------|------|----|-----|------|---------|-----------|
| -3,50 | 3,50 | 26 | 130 | 2500 | 4084,07 | -3.811,44 |
| -3,00 | 3,00 | 26 | 130 | 2550 | 4084,07 | -3.890,98 |
| -3,00 | 3,00 | 26 | 100 | 2550 | 5309,29 | -5.039,64 |
| -2,50 | 2,50 | 26 | 100 | 2550 | 5309,29 | -5.039,64 |
| -2,00 | 2,00 | 26 | 100 | 2550 | 5309,29 | -5.039,64 |

Nel seguente grafico viene confrontato il momento radiale resistente ultimo con il momento radiale agente:



Il momento resistente risulta sempre maggiore del momento agente. La fondazione risulta pertanto verificata in ogni sua sezione.

| | | |
|------------------|---|--------|
| CODICE ELABORATO | OGGETTO DELL'ELABORATO | PAGINA |
| RST-PD-R0006_R0 | INTEGRALE RICOSTRUZIONE PARCO EOLICO "SALEMI-TRAPANI" RELAZIONE DI CALCOLO PRELIMINARE DELLE STRUTTURE | 50 |

8.3. VERIFICA TAGLIO AGLI SLU

Le verifiche a taglio sono state eseguite in accordo con quanto disposto dall'Eurocodice 2 al paragrafo 6.2. Il procedimento consiste nel confrontare il valore dell'azione a taglio massima resistente (V_{Rd}) dell'elemento, con il valore di sforzo di taglio di progetto (V_{Ed}) che vi agisce. La prima parte della verifica vede confrontarsi il valore di taglio agente di progetto con la resistenza a taglio di progetto dell'elemento privo di armatura a taglio ($V_{Rd,c}$).

$$V_{Rd,c} = \left[C_{Rd,c} k (100 \rho_l f_{ck})^{1/3} + k_1 \sigma_{cp} \right] \cdot b_w d$$

Se si verifica che sono necessarie armature a taglio, il valore dell'azione a taglio massima resistente (V_{Rd}), è stato calcolato come valore minimo tra i seguenti valori:

$$V_{Rd,max} = \frac{\alpha_{cw} b_w z v_1 f_{cd}}{(\cot\theta + \tan\theta)} \quad e \quad V_{Rd,s} = \frac{A_{sw}}{s} z f_{yd} \cot\theta$$

Nelle verifiche si limita l'inclinazione θ dei puntoni di calcestruzzo rispetto all'asse della trave secondo la seguente espressione:

$$1 \leq \cot \theta \leq 2,5$$

| Dati generali verifiche a taglio | | |
|--|----------|--|
| verifica a taglio di elementi che non presentano specifiche armature | | |
| $C_{Rd,c}$ | 0,12 | $0,18 / \gamma_c$ |
| k_1 | 0,15 | |
| σ_{cp} | 0,00 Mpa | N_{ed} / A_c |
| verifica a taglio di elementi con specifiche armature | | |
| α_{cw} | 1 | |
| f_{ywd} | 360 Mpa | |
| v_1 | 0,60 | 0,6 se $f_{ywd} < 80\% f_{yk}$ 0,6 [1-fck/250] se $f_{ywd} > 80\% f_{yk}$ |

Le sezioni indagate ai fini della determinazione del taglio radiale resistente sono individuate dalla ordinata a cui si effettua la verifica. Le verifiche sono riportate nelle tabelle seguenti.

| Taglio Ultimo Resistente radiale superiore senza specifiche armature | | | | | | | | | |
|--|-------|-------|------------------------|------|------|------|----------|-----------|----------------|
| y (-) | y (+) | C | $A_{f, r \text{ sup}}$ | H | d | k | ρ_r | v_{min} | $V_{rdc, sup}$ |
| [m] | [m] | [m] | [mm ² /m] | [mm] | [mm] | | | [Mpa] | [kN] |
| -10,00 | 10,00 | 62,83 | 3560,00 | 1850 | 1770 | 1,34 | 0,002 | 0,363 | -641,84 |
| -9,50 | 9,50 | 59,69 | 3747,37 | 1900 | 1820 | 1,33 | 0,002 | 0,361 | -656,53 |
| -9,00 | 9,00 | 56,55 | 3955,56 | 1950 | 1870 | 1,33 | 0,002 | 0,359 | -671,18 |
| -8,50 | 8,50 | 53,41 | 4188,24 | 2000 | 1920 | 1,32 | 0,002 | 0,357 | -685,79 |
| -8,00 | 8,00 | 50,27 | 4450,00 | 2050 | 1970 | 1,32 | 0,002 | 0,356 | -700,36 |
| -7,50 | 7,50 | 47,12 | 4746,67 | 2100 | 2020 | 1,31 | 0,002 | 0,354 | -714,90 |
| -7,00 | 7,00 | 43,98 | 5085,71 | 2150 | 2070 | 1,31 | 0,002 | 0,352 | -729,40 |
| -6,40 | 6,40 | 40,21 | 5476,92 | 2210 | 2130 | 1,31 | 0,003 | 0,351 | -755,27 |
| -5,80 | 5,80 | 36,44 | 5933,33 | 2270 | 2190 | 1,30 | 0,003 | 0,349 | -787,64 |
| -5,30 | 5,30 | 33,30 | 6472,73 | 2320 | 2240 | 1,30 | 0,003 | 0,348 | -820,96 |
| -4,80 | 4,80 | 30,16 | 7120,00 | 2370 | 2290 | 1,30 | 0,003 | 0,346 | -857,86 |
| -4,30 | 4,30 | 27,02 | 7911,11 | 2420 | 2340 | 1,29 | 0,003 | 0,345 | -899,20 |
| -3,80 | 3,80 | 23,88 | 9600,00 | 2470 | 2390 | 1,29 | 0,004 | 0,344 | -970,41 |
| -3,30 | 3,30 | 20,73 | 10971,43 | 2520 | 2440 | 1,29 | 0,004 | 0,343 | -1.026,30 |
| -3,00 | 3,00 | 18,85 | 12800,00 | 2550 | 2470 | 1,28 | 0,005 | 0,342 | -1.087,78 |

| | | |
|------------------|---|--------|
| CODICE ELABORATO | OGGETTO DELL'ELABORATO | PAGINA |
| RST-PD-R0006_R0 | INTEGRALE RICOSTRUZIONE PARCO EOLICO "SALEMI-TRAPANI" RELAZIONE DI CALCOLO PRELIMINARE DELLE STRUTTURE | 51 |

| | | | | | | | | | |
|-------|------|-------|----------|------|------|------|-------|-------|-----------|
| -3,00 | 3,00 | 18,85 | 12800,00 | 3150 | 3070 | 1,26 | 0,004 | 0,330 | -1.228,78 |
| -2,50 | 2,50 | 15,71 | 15360,00 | 3150 | 3070 | 1,26 | 0,005 | 0,330 | -1.305,77 |
| -2,00 | 2,00 | 12,57 | 19200,00 | 3150 | 3070 | 1,26 | 0,006 | 0,330 | -1.406,60 |

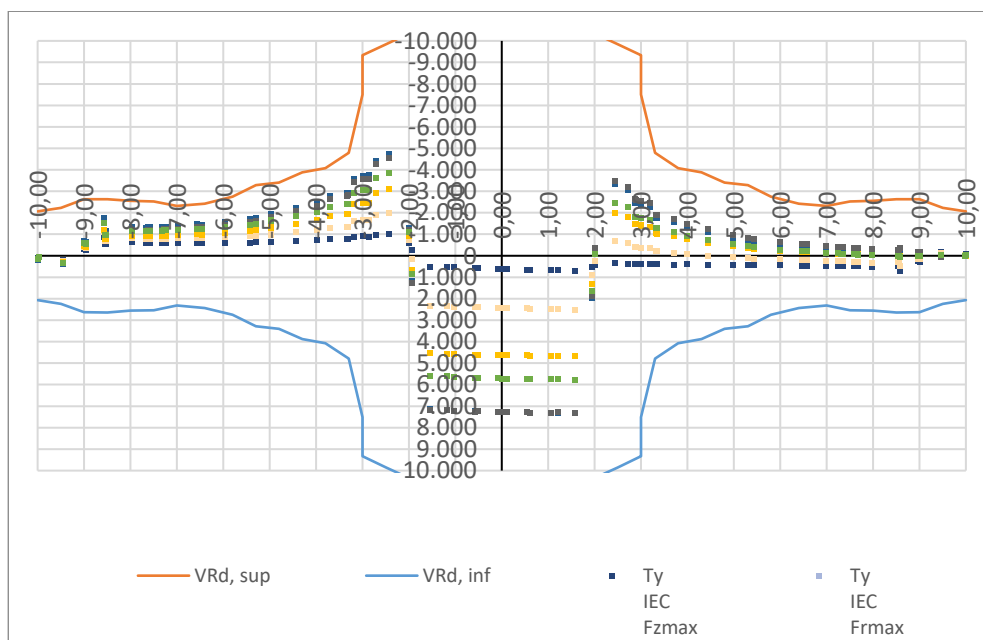
| Taglio Ultimo Resistente radiale inferiore senza specifiche armature | | | | | | | | | |
|--|-------|-------|-----------------------|------|------|------|----------------|------------------|-----------------------|
| y (-) | y (+) | C | A _{f, r inf} | H | d | k | ρ _r | V _{min} | V _{rdc, inf} |
| [m] | [m] | [m] | [mm ² /m] | [mm] | [mm] | | | [Mpa] | [kN] |
| -10,00 | 10,00 | 62,83 | 3560,00 | 1850 | 1770 | 1,34 | 0,002 | 0,363 | 641,84 |
| -9,50 | 9,50 | 59,69 | 3747,37 | 1900 | 1820 | 1,33 | 0,002 | 0,361 | 656,53 |
| -9,00 | 9,00 | 56,55 | 3955,56 | 1950 | 1870 | 1,33 | 0,002 | 0,359 | 671,18 |
| -8,50 | 8,50 | 53,41 | 4188,24 | 2000 | 1920 | 1,32 | 0,002 | 0,357 | 685,79 |
| -8,00 | 8,00 | 50,27 | 4450,00 | 2050 | 1970 | 1,32 | 0,002 | 0,356 | 700,36 |
| -7,50 | 7,50 | 47,12 | 4746,67 | 2100 | 2020 | 1,31 | 0,002 | 0,354 | 714,90 |
| -7,00 | 7,00 | 43,98 | 5085,71 | 2150 | 2070 | 1,31 | 0,002 | 0,352 | 729,40 |
| -6,40 | 6,40 | 40,21 | 7446,15 | 2210 | 2130 | 1,31 | 0,003 | 0,351 | 836,70 |
| -5,80 | 5,80 | 36,44 | 8066,67 | 2270 | 2190 | 1,30 | 0,004 | 0,349 | 872,55 |
| -5,30 | 5,30 | 33,30 | 8800,00 | 2320 | 2240 | 1,30 | 0,004 | 0,348 | 909,47 |
| -4,80 | 4,80 | 30,16 | 9680,00 | 2370 | 2290 | 1,30 | 0,004 | 0,346 | 950,34 |
| -4,30 | 4,30 | 27,02 | 10755,56 | 2420 | 2340 | 1,29 | 0,005 | 0,345 | 996,14 |
| -3,80 | 3,80 | 23,88 | 12800,00 | 2470 | 2390 | 1,29 | 0,005 | 0,344 | 1.068,07 |
| -3,30 | 3,30 | 20,73 | 14628,57 | 2520 | 2440 | 1,29 | 0,006 | 0,343 | 1.129,59 |
| -3,00 | 3,00 | 18,85 | 17066,67 | 2550 | 2470 | 1,28 | 0,007 | 0,342 | 1.197,25 |
| -3,00 | 3,00 | 18,85 | 12800,00 | 3150 | 3070 | 1,26 | 0,004 | 0,330 | 1.228,78 |
| -2,50 | 2,50 | 15,71 | 15360,00 | 3150 | 3070 | 1,26 | 0,005 | 0,330 | 1.305,77 |
| -2,00 | 2,00 | 12,57 | 19200,00 | 3150 | 3070 | 1,26 | 0,006 | 0,330 | 1.406,60 |

| Taglio Ultimo Resistente radiale inferiore con specifiche armature | | | | | | | | | | | | | |
|--|-------|-------|------|------|----------------|-----------------|--------------------|--------------------|----------------------|------|------------------------|--------------------------|----------------------|
| y (-) | y (+) | C | H | d | ρ _r | φ _{st} | p _{st, r} | n _{st, r} | A _{st, r} | θ | V _{Rd, s sup} | V _{Rd, max sup} | V _{Rd, sup} |
| [m] | [m] | [m] | [mm] | [mm] | | [mm] | [mm] | (totale) | [mm ² /m] | ° | [kN] | [kN] | [kN] |
| -10,00 | 10,00 | 62,83 | 1850 | 1770 | 0,002 | 20 | 500 | 144 | 720,00 | 21,8 | 2.064,56 | 4.202,17 | -2.064,56 |
| -9,50 | 9,50 | 59,69 | 1900 | 1820 | 0,002 | 20 | 500 | 144 | 757,89 | 21,8 | 2.234,61 | 4.320,88 | -2.234,61 |
| -9,00 | 9,00 | 56,55 | 1950 | 1870 | 0,002 | 20 | 500 | 156 | 866,67 | 21,8 | 2.625,52 | 4.439,58 | -2.625,52 |
| -8,50 | 8,50 | 53,41 | 2000 | 1920 | 0,002 | 20 | 500 | 144 | 847,06 | 21,8 | 2.634,88 | 4.558,11 | -2.634,88 |
| -8,00 | 8,00 | 50,27 | 2050 | 1970 | 0,002 | 20 | 500 | 128 | 800,00 | 21,8 | 2.553,30 | 4.676,81 | -2.553,30 |
| -7,50 | 7,50 | 47,12 | 2100 | 2020 | 0,002 | 20 | 500 | 116 | 773,33 | 21,8 | 2.530,70 | 4.795,70 | -2.530,70 |
| -7,00 | 7,00 | 43,98 | 2150 | 2070 | 0,002 | 20 | 600 | 116 | 828,57 | 21,8 | 2.315,48 | 4.914,41 | -2.315,48 |
| -6,40 | 6,40 | 40,21 | 2210 | 2130 | 0,003 | 20 | 600 | 108 | 843,75 | 21,8 | 2.426,24 | 5.056,85 | -2.426,24 |
| -5,80 | 5,80 | 36,44 | 2270 | 2190 | 0,003 | 20 | 600 | 108 | 931,03 | 21,8 | 2.752,65 | 5.199,30 | -2.752,65 |
| -5,30 | 5,30 | 33,30 | 2320 | 2240 | 0,003 | 20 | 500 | 96 | 905,66 | 21,8 | 3.285,75 | 5.318,90 | -3.285,75 |
| -4,80 | 4,80 | 30,16 | 2370 | 2290 | 0,003 | 20 | 500 | 88 | 916,67 | 21,8 | 3.400,89 | 5.436,49 | -3.400,89 |
| -4,30 | 4,30 | 27,02 | 2420 | 2340 | 0,003 | 20 | 500 | 88 | 1023,26 | 21,8 | 3.879,23 | 5.555,20 | -3.879,23 |
| -3,80 | 3,80 | 23,88 | 2470 | 2390 | 0,004 | 20 | 500 | 80 | 1052,63 | 21,8 | 4.075,87 | 5.673,90 | -4.075,87 |
| -3,30 | 3,30 | 20,73 | 2520 | 2440 | 0,004 | 20 | 500 | 80 | 1212,12 | 21,8 | 4.791,61 | 5.792,60 | -4.791,61 |
| -3,00 | 3,00 | 18,85 | 2550 | 2470 | 0,005 | 26 | 500 | 100 | 2816,67 | 31,0 | 7.506,18 | 7.506,18 | -7.506,18 |
| -3,00 | 3,00 | 18,85 | 3150 | 3070 | 0,004 | 26 | 500 | 100 | 2816,67 | 31,0 | 9.329,54 | 9.329,54 | -9.329,54 |
| -2,50 | 2,50 | 15,71 | 3150 | 3070 | 0,005 | 26 | 500 | 100 | 3380,00 | 34,3 | 9.844,44 | 9.844,44 | -9.844,44 |
| -2,00 | 2,00 | 12,57 | 3150 | 3070 | 0,006 | 26 | 500 | 100 | 4225,00 | 39,1 | 10.344,67 | 10.344,67 | -10.344,67 |

| | | |
|------------------|---|--------|
| CODICE ELABORATO | OGGETTO DELL'ELABORATO | PAGINA |
| RST-PD-R0006_R0 | INTEGRALE RICOSTRUZIONE PARCO EOLICO "SALEMI-TRAPANI" RELAZIONE DI CALCOLO PRELIMINARE DELLE STRUTTURE | 52 |

| Taglio Ultimo Resistente radiale inferiore con specifiche armature | | | | | | | | | | | | | |
|--|---------|-------|------|------|----------|-------------|---------------|------------|----------------------|----------|----------------|------------------|---------------|
| $y (-)$ | $y (+)$ | C | H | d | ρ_r | ϕ_{st} | $\rho_{st,r}$ | $n_{st,r}$ | $A_{st,r}$ | θ | $V_{Rd,s inf}$ | $V_{Rd,max inf}$ | $V_{Rd, inf}$ |
| [m] | [m] | [m] | [mm] | [mm] | | [mm] | [mm] | (totale) | [mm ² /m] | ° | [kN] | [kN] | [kN] |
| -10,00 | 10,00 | 62,83 | 1850 | 1770 | 0,002 | 20 | 500 | 144 | 720,00 | 21,8 | 2.064,56 | 4.202,17 | 2.064,56 |
| -9,50 | 9,50 | 59,69 | 1900 | 1820 | 0,002 | 20 | 500 | 144 | 757,89 | 21,8 | 2.234,61 | 4.320,88 | 2.234,61 |
| -9,00 | 9,00 | 56,55 | 1950 | 1870 | 0,002 | 20 | 500 | 156 | 866,67 | 21,8 | 2.625,52 | 4.439,58 | 2.625,52 |
| -8,50 | 8,50 | 53,41 | 2000 | 1920 | 0,002 | 20 | 500 | 144 | 847,06 | 21,8 | 2.634,88 | 4.558,11 | 2.634,88 |
| -8,00 | 8,00 | 50,27 | 2050 | 1970 | 0,002 | 20 | 500 | 128 | 800,00 | 21,8 | 2.553,30 | 4.676,81 | 2.553,30 |
| -7,50 | 7,50 | 47,12 | 2100 | 2020 | 0,002 | 20 | 500 | 116 | 773,33 | 21,8 | 2.530,70 | 4.795,70 | 2.530,70 |
| -7,00 | 7,00 | 43,98 | 2150 | 2070 | 0,002 | 20 | 600 | 116 | 828,57 | 21,8 | 2.315,48 | 4.914,41 | 2.315,48 |
| -6,40 | 6,40 | 40,21 | 2210 | 2130 | 0,003 | 20 | 600 | 106 | 843,75 | 21,8 | 2.426,24 | 5.056,85 | 2.426,24 |
| -5,80 | 5,80 | 36,44 | 2270 | 2190 | 0,004 | 20 | 600 | 98 | 931,03 | 21,8 | 2.752,65 | 5.199,30 | 2.752,65 |
| -5,30 | 5,30 | 33,30 | 2320 | 2240 | 0,004 | 20 | 500 | 96 | 905,66 | 21,8 | 3.285,75 | 5.318,90 | 3.285,75 |
| -4,80 | 4,80 | 30,16 | 2370 | 2290 | 0,004 | 20 | 500 | 88 | 916,67 | 21,8 | 3.400,89 | 5.436,49 | 3.400,89 |
| -4,30 | 4,30 | 27,02 | 2420 | 2340 | 0,005 | 20 | 500 | 88 | 1023,26 | 21,8 | 3.879,23 | 5.555,20 | 3.879,23 |
| -3,80 | 3,80 | 23,88 | 2470 | 2390 | 0,005 | 20 | 500 | 80 | 1052,63 | 21,8 | 4.075,87 | 5.673,90 | 4.075,87 |
| -3,30 | 3,30 | 20,73 | 2520 | 2440 | 0,006 | 20 | 500 | 80 | 1212,12 | 21,8 | 4.791,61 | 5.792,60 | 4.791,61 |
| -3,00 | 3,00 | 18,85 | 2550 | 2470 | 0,007 | 20 | 500 | 100 | 2816,67 | 31,0 | 7.506,18 | 7.506,18 | 7.506,18 |
| -3,00 | 3,00 | 18,85 | 3150 | 3070 | 0,004 | 26 | 500 | 100 | 2816,67 | 31,0 | 9.329,54 | 9.329,54 | 9.329,54 |
| -2,50 | 2,50 | 15,71 | 3150 | 3070 | 0,005 | 26 | 500 | 100 | 3380,00 | 34,3 | 9.844,44 | 9.844,44 | 9.844,44 |
| -2,00 | 2,00 | 12,57 | 3150 | 3070 | 0,006 | 26 | 500 | 100 | 4225,00 | 39,1 | 10.344,67 | 10.344,67 | 10.344,67 |

Nel seguente grafico viene confrontato il taglio resistente ultimo con il taglio agente:



Il taglio resistente risulta sempre maggiore del taglio agente. La fondazione risulta pertanto verificata in ogni sua sezione.

| | | |
|------------------|---|--------|
| CODICE ELABORATO | OGGETTO DELL'ELABORATO | PAGINA |
| RST-PD-R0006_R0 | INTEGRALE RICOSTRUZIONE PARCO EOLICO "SALEMI-TRAPANI" RELAZIONE DI CALCOLO PRELIMINARE DELLE STRUTTURE | 53 |

8.4. VERIFICA PRESSO-FLESSIONE AGLI SLE

La verifica è stata condotta valutando le sollecitazioni dovute alle combinazioni caratteristica e quasi permanente delle azioni, e valutando le massime tensioni agenti nel calcestruzzo e nelle armature: si deve verificare che tali tensioni siano inferiori ai massimi valori consentiti per lo stato limite in esame.

Nel caso in cui le tensioni agenti nel calcestruzzo dovute alla combinazione caratteristica siano inferiori alle tensioni limite imposte per la combinazione quasi permanente non si è proceduto alla determinazione delle tensioni dovute a tale ultima combinazione, ritenendo la verifica alla combinazione quasi permanente sicuramente soddisfatta.

I valori limite di calcolo sono i seguenti:

$$\sigma_{SLE R} \leq 360,00 \text{ Mpa}$$

$$\sigma_{C SLE R} \leq 27,00 \text{ Mpa}$$

$$\sigma_{C SLE QP} \leq 20,25 \text{ Mpa}$$

L'analisi condotta può essere riassunta nelle seguenti tabelle:

| Tensione nel calcestruzzo superiore e nell'acciaio inferiore dovuta al momento radiale che tende le fibre inferiori | | | | | | | | | | |
|---|--------|----------------------|----------------------|----------------------|-------------------------|------------------|--------------------|--------------------------|--------------------------|---|
| y (-) | y (+) | H(M _{inf}) | A _{f, inf} | A _{f, sup} | M _{SLE r, inf} | X _{inf} | J _{inf} | σ _{C SLE R inf} | σ _{S SLE R inf} | σ _{C SLE R} < σ _{C max SLE QP} σ _{S SLE R} < σ _{S max SLE R} |
| [m] | [m] | [mm] | [mm ² /m] | [mm ² /m] | [kN*m] | [mm] | [mm ⁴] | [Mpa] | [Mpa] | |
| 10,00 | -10,00 | 1850 | 3560,00 | 3560,00 | 0,00 | 350,35 | 1,26E+11 | 0,00 | 0,00 | VERIFICA |
| 9,50 | -9,50 | 1900 | 3747,37 | 3747,37 | 0,00 | 363,22 | 1,40E+11 | 0,00 | 0,00 | VERIFICA |
| 9,00 | -9,00 | 1950 | 3955,56 | 3955,56 | 0,00 | 376,79 | 1,55E+11 | 0,00 | 0,00 | VERIFICA |
| 8,50 | -8,50 | 2000 | 4188,24 | 4188,24 | 296,35 | 391,15 | 1,73E+11 | 0,67 | 39,31 | VERIFICA |
| 8,00 | -8,00 | 2050 | 4450,00 | 4450,00 | 647,55 | 406,40 | 1,93E+11 | 1,37 | 78,82 | VERIFICA |
| 7,50 | -7,50 | 2100 | 4746,67 | 4746,67 | 1005,30 | 422,68 | 2,15E+11 | 1,97 | 111,93 | VERIFICA |
| 7,00 | -7,00 | 2150 | 5085,71 | 5085,71 | 1465,25 | 440,14 | 2,41E+11 | 2,68 | 148,66 | VERIFICA |
| 6,50 | -6,50 | 2200 | 5476,92 | 5476,92 | 1967,24 | 458,97 | 2,71E+11 | 3,34 | 181,07 | VERIFICA |
| 6,50 | -6,50 | 2200 | 7446,15 | 5476,92 | 1967,24 | 530,24 | 3,49E+11 | 2,99 | 134,56 | VERIFICA |
| 6,00 | -6,00 | 2250 | 8066,67 | 5933,33 | 2401,72 | 553,86 | 3,93E+11 | 3,39 | 148,28 | VERIFICA |
| 6,00 | -6,00 | 2250 | 8066,67 | 5933,33 | 2401,72 | 553,86 | 3,93E+11 | 3,39 | 148,28 | VERIFICA |
| 5,50 | -5,50 | 2300 | 8800,00 | 6472,73 | 3100,78 | 579,67 | 4,44E+11 | 4,05 | 171,70 | VERIFICA |
| 5,50 | -5,50 | 2300 | 8800,00 | 6472,73 | 3100,76 | 579,67 | 4,44E+11 | 4,05 | 171,70 | VERIFICA |
| 5,00 | -5,00 | 2350 | 9680,00 | 7120,00 | 3486,02 | 608,12 | 5,06E+11 | 4,19 | 171,82 | VERIFICA |
| 4,50 | -4,50 | 2400 | 10755,56 | 7911,11 | 4180,47 | 639,77 | 5,80E+11 | 4,61 | 181,68 | VERIFICA |
| 4,50 | -4,50 | 2400 | 11377,78 | 8533,33 | 4180,47 | 650,85 | 6,09E+11 | 4,47 | 171,84 | VERIFICA |
| 4,00 | -4,00 | 2450 | 12800,00 | 9600,00 | 4918,12 | 686,75 | 7,05E+11 | 4,79 | 176,14 | VERIFICA |
| 3,50 | -3,50 | 2500 | 14628,57 | 10971,43 | 6233,80 | 727,68 | 8,26E+11 | 5,49 | 191,60 | VERIFICA |
| 3,00 | -3,00 | 2550 | 17066,67 | 12800,00 | 7218,96 | 775,14 | 9,83E+11 | 5,69 | 186,63 | VERIFICA |
| 3,00 | -3,00 | 3150 | 12800,00 | 12800,00 | 7218,96 | 780,93 | 1,26E+12 | 4,48 | 196,86 | VERIFICA |
| 2,50 | -2,50 | 3150 | 15360,00 | 15360,00 | 8583,27 | 829,11 | 1,48E+12 | 4,82 | 195,44 | VERIFICA |
| 2,00 | -2,00 | 3150 | 19200,00 | 19200,00 | 9710,80 | 888,98 | 1,79E+12 | 4,82 | 177,22 | VERIFICA |

| Tensione nel calcestruzzo inferiore e nell'acciaio superiore dovuta al momento radiale che tende le fibre superiori | | | | | | | | | | |
|---|-------|----------------------|----------------------|----------------------|-------------------------|------------------|--------------------|--------------------------|--------------------------|---|
| y (-) | y (+) | H(M _{sup}) | A _{f, inf} | A _{f, sup} | M _{SLE r, sup} | X _{sup} | J _{sup} | σ _{C SLE R sup} | σ _{S SLE R sup} | σ _{C SLE R} < σ _{C max SLE QP} σ _{S SLE R} < σ _{S max SLE R} |
| [m] | [m] | [mm] | [mm ² /m] | [mm ² /m] | [kN*m] | [mm] | [mm ⁴] | [Mpa] | [Mpa] | |
| 10,00 | 10,00 | 1850 | 3560,00 | 3560,00 | -10,95 | 350,35 | 1,26E+11 | 0,03 | 1,85 | VERIFICA |

| | | |
|------------------|---|--------|
| CODICE ELABORATO | OGGETTO DELL'ELABORATO | PAGINA |
| RST-PD-R0006_R0 | INTEGRALE RICOSTRUZIONE PARCO EOLICO "SALEMI-TRAPANI" RELAZIONE DI CALCOLO PRELIMINARE DELLE STRUTTURE | 54 |

| | | | | | | | | | | |
|------|-------|------|--------------|--------------|----------|------------|--------------|------|-------|----------|
| 9,50 | -9,50 | 1900 | 3747,37 | 3747,37 | -49,64 | 363,2 2 | 1,40E+1 1 | 0,13 | 7,76 | VERIFICA |
| 9,00 | -9,00 | 1950 | 3955,56 | 3955,56 | -478,82 | 376,7 9 | 1,55E+1 1 | 1,16 | 69,03 | VERIFICA |
| 8,50 | -8,50 | 2000 | 4188,24 | 4188,24 | -9,24 | 391,1 5 | 1,73E+1 1 | 0,02 | 1,23 | VERIFICA |
| 8,00 | -8,00 | 2050 | 4450,00 | 4450,00 | -52,30 | 406,4 0 | 1,93E+1 1 | 0,11 | 6,37 | VERIFICA |
| 7,50 | -7,50 | 2100 | 4746,67 | 4746,67 | -80,09 | 422,6 8 | 2,15E+1 1 | 0,16 | 8,92 | VERIFICA |
| 7,00 | -7,00 | 2150 | 5085,71 | 5085,71 | -139,20 | 440,1 4 | 2,41E+1 1 | 0,25 | 14,12 | VERIFICA |
| 6,50 | -6,50 | 2200 | 5476,92 | 5476,92 | -239,27 | 458,9 7 | 2,71E+1 1 | 0,41 | 22,02 | VERIFICA |
| 6,50 | -6,50 | 2200 | 7446,15 | 5476,92 | -239,27 | 441,5 9 | 2,75E+1 1 | 0,38 | 21,93 | VERIFICA |
| 6,00 | -6,00 | 2250 | 8066,67 | 5933,33 | -304,16 | 460,6 1 | 3,10E+1 1 | 0,45 | 25,14 | VERIFICA |
| 6,00 | -6,00 | 2250 | 8066,67 | 5933,33 | -304,16 | 460,6 1 | 3,10E+1 1 | 0,45 | 25,14 | VERIFICA |
| 5,50 | -5,50 | 2300 | 8800,00 | 6472,73 | -496,07 | 481,3 2 | 3,52E+1 1 | 0,68 | 36,76 | VERIFICA |
| 5,50 | -5,50 | 2300 | 8800,00 | 6472,73 | -496,07 | 481,3 2 | 3,52E+1 1 | 0,68 | 36,76 | VERIFICA |
| 5,00 | -5,00 | 2350 | 9680,00 | 7120,00 | -645,08 | 504,0 5 | 4,02E+1 1 | 0,81 | 42,52 | VERIFICA |
| 4,50 | -4,50 | 2400 | 10755,5 6 | 7911,11 | -869,46 | 529,2 1 | 4,63E+1 1 | 0,99 | 50,50 | VERIFICA |
| 4,50 | -4,50 | 2400 | 11377,7 8 | 8533,33 | -869,46 | 544,2 0 | 4,94E+1 1 | 0,96 | 46,87 | VERIFICA |
| 4,00 | -4,00 | 2450 | 12800,0 0 | 9600,00 | -1182,62 | 572,9 4 | 5,74E+1 1 | 1,18 | 55,50 | VERIFICA |
| 3,50 | -3,50 | 2500 | 14628,5 7 | 10971,4 3 | -1690,27 | 605,4 9 | 6,76E+1 1 | 1,51 | 68,01 | VERIFICA |
| 3,00 | -3,00 | 2550 | 17066,6 7 | 12800,0 0 | -2313,11 | 642,9 4 | 8,11E+1 1 | 1,83 | 78,20 | VERIFICA |
| 3,00 | -3,00 | 2550 | 12800,0 0 | 12800,0 0 | -2313,11 | 780,9 3 | 1,26E+1 2 | 1,43 | 46,54 | VERIFICA |
| 2,50 | -2,50 | 2550 | 15360,0 0 | 15360,0 0 | -3158,03 | 829,1 1 | 1,48E+1 2 | 1,77 | 52,65 | VERIFICA |
| 2,00 | -2,00 | 2550 | 19200,0 0 | 19200,0 0 | -5207,85 | 888,9 8 | 1,79E+1 2 | 2,58 | 68,90 | VERIFICA |

| Tensione nel calcestruzzo superiore e nell'acciaio inferiore dovuta al momento circonferenziale che tende le fibre inferiori | | | | | | | | | | |
|--|-------|----------------------|----------------------|----------------------|-------------------------|------------------|--------------------|--------------------------|--------------------------|---|
| y (-) | y (+) | H(M _{inf}) | A _{f, inf} | A _{f, sup} | M _{SLE c, inf} | X _{inf} | J _{inf} | σ _{C SLE R inf} | σ _{S SLE R inf} | σ _{C SLE R} < σ _{C max SLE QP} σ _{S SLE R} < σ _{S max SLE R} |
| [m] | [m] | [mm] | [mm ² /m] | [mm ² /m] | [kN*m] | [mm] | [mm ⁴] | [Mpa] | [Mpa] | [Mpa] |
| -10,00 | 10,00 | 1850 | 3539,53 | 2654,65 | 637,23 | 357,59 | 1,24E+11 | 1,83 | 108,68 | VERIFICA |
| -9,50 | 9,50 | 1900 | 3539,53 | 2654,65 | 530,69 | 363,44 | 1,32E+11 | 1,46 | 87,94 | VERIFICA |
| -9,00 | 9,00 | 1950 | 3539,53 | 2654,65 | 996,37 | 369,23 | 1,40E+11 | 2,63 | 160,57 | VERIFICA |
| -8,50 | 8,50 | 2000 | 3539,53 | 2654,65 | 1161,41 | 374,93 | 1,48E+11 | 2,95 | 182,14 | VERIFICA |
| -8,50 | 8,50 | 2000 | 4424,41 | 3539,53 | 1161,41 | 407,43 | 1,80E+11 | 2,63 | 146,33 | VERIFICA |
| -7,50 | 7,50 | 2100 | 4424,41 | 3539,53 | 1643,91 | 419,88 | 2,01E+11 | 3,44 | 196,57 | VERIFICA |
| -7,00 | 7,00 | 2150 | 4424,41 | 3539,53 | 1787,33 | 426,00 | 2,11E+11 | 3,60 | 208,40 | VERIFICA |
| -6,50 | 6,50 | 2200 | 4424,41 | 3539,53 | 2089,19 | 432,05 | 2,23E+11 | 4,06 | 237,68 | VERIFICA |
| -6,50 | 6,50 | 2200 | 5899,21 | 4084,07 | 2089,19 | 488,54 | 2,85E+11 | 3,59 | 179,63 | VERIFICA |
| -6,00 | 6,00 | 2250 | 5899,21 | 4084,07 | 2344,53 | 495,44 | 2,99E+11 | 3,88 | 196,80 | VERIFICA |
| -6,00 | 6,00 | 2250 | 5899,21 | 4084,07 | 2344,53 | 495,44 | 2,99E+11 | 3,88 | 196,80 | VERIFICA |

| CODICE ELABORATO | OGGETTO DELL'ELABORATO | PAGINA |
|------------------|---|--------|
| RST-PD-R0006_R0 | INTEGRALE RICOSTRUZIONE PARCO EOLICO "SALEMI-TRAPANI" RELAZIONE DI CALCOLO PRELIMINARE DELLE STRUTTURE | 55 |

| | | | | | | | | | | |
|-------|------|------|----------|---------|---------|--------|----------|------|--------|----------|
| -5,50 | 5,50 | 2300 | 5899,21 | 4084,07 | 2670,28 | 502,26 | 3,14E+11 | 4,27 | 218,94 | VERIFICA |
| -5,50 | 5,50 | 2300 | 5899,21 | 4084,07 | 2670,28 | 502,26 | 3,14E+11 | 4,27 | 218,94 | VERIFICA |
| -5,00 | 5,00 | 2350 | 5899,21 | 4084,07 | 2937,55 | 509,01 | 3,30E+11 | 4,54 | 235,39 | VERIFICA |
| -4,50 | 4,50 | 2400 | 5899,21 | 4084,07 | 3315,68 | 515,69 | 3,45E+11 | 4,95 | 259,79 | VERIFICA |
| -4,50 | 4,50 | 2400 | 10618,58 | 4084,07 | 3315,68 | 672,48 | 5,55E+11 | 4,02 | 147,58 | VERIFICA |
| -4,00 | 4,00 | 2450 | 10618,58 | 4084,07 | 3620,29 | 681,36 | 5,82E+11 | 4,24 | 157,62 | VERIFICA |
| -3,50 | 3,50 | 2500 | 10618,58 | 4084,07 | 4193,75 | 690,15 | 6,09E+11 | 4,75 | 178,68 | VERIFICA |
| -3,00 | 3,00 | 2550 | 10618,58 | 4084,07 | 5291,29 | 698,85 | 6,37E+11 | 5,81 | 220,72 | VERIFICA |
| -3,00 | 3,00 | 3150 | 10618,58 | 5309,29 | 5291,29 | 784,70 | 1,03E+12 | 4,02 | 175,68 | VERIFICA |
| -2,50 | 2,50 | 3150 | 10618,58 | 5309,29 | 6905,60 | 784,70 | 1,03E+12 | 5,25 | 229,28 | VERIFICA |
| -2,00 | 2,00 | 3150 | 10618,58 | 5309,29 | 7814,05 | 784,70 | 1,03E+12 | 5,94 | 259,44 | VERIFICA |

| Tensione nel calcestruzzo inferiore e nell'acciaio superiore dovuta al momento circonfrenziale che tende le fibre superiori | | | | | | | | | | |
|---|-------|----------------------|----------------------|----------------------|-------------------------|------------------|--------------------|--------------------------|--------------------------|---|
| y (-) | y (+) | H(M _{sup}) | A _{f, inf} | A _{f, sup} | M _{SLE c, sup} | X _{sup} | J _{sup} | σ _{C SLE R sup} | σ _{S SLE R sup} | σ _{C SLE R} < σ _{C max SLE QP} σ _{S SLE R} < σ _{S max SLE R} |
| [m] | [m] | [mm] | [mm ² /m] | [mm ² /m] | [kN*m] | [mm] | [mm ⁴] | [Mpa] | [Mpa] | [Mpa] |
| -10,00 | 10,00 | 1850 | 3539,53 | 2654,65 | 0,00 | 304,69 | 9,76E+10 | 0,00 | 0,00 | VERIFICA |
| -9,50 | 9,50 | 1900 | 3539,53 | 2654,65 | 0,00 | 309,67 | 1,04E+11 | 0,00 | 0,00 | VERIFICA |
| -9,00 | 9,00 | 1950 | 3539,53 | 2654,65 | 0,00 | 314,58 | 1,10E+11 | 0,00 | 0,00 | VERIFICA |
| -8,50 | 8,50 | 2000 | 3539,53 | 2654,65 | 0,00 | 319,44 | 1,16E+11 | 0,00 | 0,00 | VERIFICA |
| -8,50 | 8,50 | 2000 | 4424,41 | 3539,53 | 0,00 | 358,84 | 1,50E+11 | 0,00 | 0,00 | VERIFICA |
| -7,50 | 7,50 | 2100 | 4424,41 | 3539,53 | 0,00 | 369,81 | 1,67E+11 | 0,00 | 0,00 | VERIFICA |
| -7,00 | 7,00 | 2150 | 4424,41 | 3539,53 | 0,00 | 375,21 | 1,76E+11 | 0,00 | 0,00 | VERIFICA |
| -6,50 | 6,50 | 2200 | 4424,41 | 3539,53 | 0,00 | 380,54 | 1,85E+11 | 0,00 | 0,00 | VERIFICA |
| -6,50 | 6,50 | 2200 | 5899,21 | 4084,07 | 0,00 | 394,61 | 2,12E+11 | 0,00 | 0,00 | VERIFICA |
| -6,00 | 6,00 | 2250 | 5899,21 | 4084,07 | 0,00 | 400,21 | 2,22E+11 | 0,00 | 0,00 | VERIFICA |
| -6,00 | 6,00 | 2250 | 5899,21 | 4084,07 | 0,00 | 400,21 | 2,22E+11 | 0,00 | 0,00 | VERIFICA |
| -5,50 | 5,50 | 2300 | 5899,21 | 4084,07 | -63,33 | 405,75 | 2,33E+11 | 0,11 | 7,39 | VERIFICA |
| -5,50 | 5,50 | 2300 | 5899,21 | 4084,07 | -63,33 | 405,75 | 2,33E+11 | 0,11 | 7,39 | VERIFICA |
| -5,00 | 5,00 | 2350 | 5899,21 | 4084,07 | -125,73 | 411,24 | 2,45E+11 | 0,21 | 14,33 | VERIFICA |
| -4,50 | 4,50 | 2400 | 5899,21 | 4084,07 | -249,47 | 416,67 | 2,56E+11 | 0,41 | 27,81 | VERIFICA |
| -4,50 | 4,50 | 2400 | 10618,58 | 4084,07 | -249,47 | 378,10 | 2,63E+11 | 0,36 | 27,61 | VERIFICA |
| -4,00 | 4,00 | 2450 | 10618,58 | 4084,07 | -376,74 | 383,20 | 2,75E+11 | 0,52 | 40,80 | VERIFICA |
| -3,50 | 3,50 | 2500 | 10618,58 | 4084,07 | -645,52 | 388,25 | 2,88E+11 | 0,87 | 68,42 | VERIFICA |
| -3,00 | 3,00 | 2550 | 10618,58 | 4084,07 | -914,30 | 393,26 | 3,00E+11 | 1,20 | 94,90 | VERIFICA |
| -3,00 | 3,00 | 2550 | 10618,58 | 5309,29 | -914,30 | 451,00 | 3,77E+11 | 1,09 | 73,42 | VERIFICA |
| -2,50 | 2,50 | 2550 | 10618,58 | 5309,29 | -1375,17 | 451,00 | 3,77E+11 | 1,64 | 110,43 | VERIFICA |
| -2,00 | 2,00 | 2550 | 10618,58 | 5309,29 | -1836,04 | 451,00 | 3,77E+11 | 2,20 | 147,44 | VERIFICA |

La tensione agente nel calcestruzzo (σ_c) risulta sempre minore della tensione massima di compressione per le condizioni di esercizio caratteristiche e quasi permanenti, così come la tensione agente nell'acciaio (σ_s) risulta sempre minore della tensione massima nelle condizioni di esercizio caratteristiche. La fondazione risulta pertanto verificata in ogni sua sezione.

| CODICE ELABORATO | OGGETTO DELL'ELABORATO | PAGINA |
|------------------|---|--------|
| RST-PD-R0006_R0 | INTEGRALE RICOSTRUZIONE PARCO EOLICO "SALEMI-TRAPANI" RELAZIONE DI CALCOLO PRELIMINARE DELLE STRUTTURE | 56 |

8.5. VERIFICA A FATICA

La fatica è un fenomeno meccanico per cui un materiale sottoposto a cicli di carico variabili nel tempo (in maniera regolare o variabili ciclicamente) si danneggia fino a rottura, nonostante l'intensità massima dei carichi in questione sia sensibilmente inferiore a quella di rottura o di snervamento statico del materiale stesso.

Secondo quanto previsto dall'Eurocodice 2 al punto 6.8, la resistenza delle strutture a fatica deve essere svolta separatamente per il calcestruzzo e per l'acciaio.

La verifica sulle barre d'armatura metallica, par. 6.8.4, prevede il calcolo delle tensioni massime e minime, σ_{max} e σ_{min} , per le sezioni maggiormente svantaggiate, la cui differenza dovrà essere minore di:

$$\Delta\sigma_{Rsd} = \frac{\Delta\sigma_{Rsk}}{\gamma_{S,fat}}$$

dove:

$\Delta\sigma_{Rsk}$ si ricava dalla tabella 6.3N in funzione del tipo di armatura e del numero di cicli di carico. Per barre dritte $\Delta\sigma_{Rsk} = 162,5$ MPa.

$\gamma_{S,fat}$ è un coefficiente di sicurezza che si ricava dalla tabella 2.1N dell'Eurocodice suddetto pari a 1,15.

Il valore di $\Delta\sigma_{Rsd}$ nel caso di barre piegate va ridotto a mezzo del fattore $\zeta = 0,35 + 0,26 D/\phi$, in cui D è il diametro del mandrino e ϕ è il diametro della barra.

Mentre la verifica sul calcestruzzo, par. 6.8.7, prevede che vi sia una soddisfacente resistenza a fatica se sono soddisfatte le seguenti espressioni:

$$E_{cd,max} + 0,43 \sqrt{1-R_{equ}} < 1 \quad (1)$$

$$0,5 + 0,45 \sigma_{c,min} / f_{cd,fat} > \sigma_{cd,max} / f_{cd,fat} \quad (2)$$

L'escursione massima di tensione consentita nelle barre è quindi pari a:

| | | |
|---|------------|---|
| $\Delta\sigma_{Rsd}$ (dritte) | 101,70 Mpa | (Per barre dritte a m=7) |
| $\Delta\sigma_{Rsk}$ (piegate D=7 ϕ) | 54,10 Mpa | (per barre con $\phi > 16$ piegate con D=7 ϕ) |
| $\Delta\sigma_{Rsk}$ (piegate $\phi 32$ D=250) | 56,25 Mpa | (per barre $\phi = 32$ piegate con D=250mm) |

L'analisi condotta può essere riassunta nelle seguenti tabelle:

| Caratteristiche delle sezioni soggette a momento radiale positivo e negativo | | | | | | | | | | |
|--|----------------------|----------------------|----------------------|----------------------|----------------------|----------------------|-------------------------------------|--------------------|-------------------------------------|--------------------|
| Caratteristiche geometriche della sezione | | | | | | | Il momento tende le fibre inferiori | | Il momento tende le fibre superiori | |
| y | H(M _{inf}) | H(M _{sup}) | A _{f,inf} | A _{f,sup} | M _{fat min} | M _{fat max} | x _{inf} | J _{inf} | x _{sup} | J _{sup} |
| [m] | [mm] | [mm] | [mm ² /m] | [mm ² /m] | [kN*m] | [kN*m] | [mm] | [mm ⁴] | [mm] | [mm ⁴] |
| 10,00 | 1850 | 1850 | 3560,00 | 3560,00 | 0,00 | 2,45 | 350,35 | 1,26E+11 | 350,35 | 1,26E+11 |
| 9,50 | 1900 | 1900 | 3747,37 | 3747,37 | -31,79 | 0,00 | 363,22 | 1,40E+11 | 363,22 | 1,40E+11 |

| | | |
|------------------|---|--------|
| CODICE ELABORATO | OGGETTO DELL'ELABORATO | PAGINA |
| RST-PD-R0006_R0 | INTEGRALE RICOSTRUZIONE PARCO EOLICO "SALEMI-TRAPANI" RELAZIONE DI CALCOLO PRELIMINARE DELLE STRUTTURE | 57 |

| | | | | | | | | | | |
|--------|------|------|----------|----------|----------|---------|--------|----------|--------|----------|
| 9,00 | 1950 | 1950 | 3955,56 | 3955,56 | -185,65 | -55,83 | 376,79 | 1,55E+11 | 376,79 | 1,55E+11 |
| 8,50 | 2000 | 2000 | 4188,24 | 4188,24 | 50,88 | 91,53 | 391,15 | 1,73E+11 | 391,15 | 1,73E+11 |
| 8,00 | 2050 | 2050 | 4450,00 | 4450,00 | 75,01 | 215,78 | 406,40 | 1,93E+11 | 406,40 | 1,93E+11 |
| 7,50 | 2100 | 2100 | 4746,67 | 4746,67 | 91,22 | 297,68 | 422,68 | 2,15E+11 | 422,68 | 2,15E+11 |
| 7,00 | 2150 | 2150 | 5085,71 | 5085,71 | 137,06 | 425,51 | 440,14 | 2,41E+11 | 440,14 | 2,41E+11 |
| 6,50 | 2200 | 2200 | 5476,92 | 5476,92 | 143,79 | 535,25 | 458,97 | 2,71E+11 | 458,97 | 2,71E+11 |
| 6,50 | 2200 | 2200 | 7446,15 | 5476,92 | 143,79 | 535,25 | 530,24 | 3,49E+11 | 441,59 | 2,75E+11 |
| 6,00 | 2250 | 2250 | 8066,67 | 5933,33 | 142,95 | 637,09 | 553,86 | 3,93E+11 | 460,61 | 3,10E+11 |
| 6,00 | 2250 | 2250 | 8066,67 | 5933,33 | 142,95 | 637,09 | 553,86 | 3,93E+11 | 460,61 | 3,10E+11 |
| 5,50 | 2300 | 2300 | 8800,00 | 6472,73 | 102,58 | 767,56 | 579,67 | 4,44E+11 | 481,32 | 3,52E+11 |
| 5,50 | 2300 | 2300 | 8800,00 | 6472,73 | 102,58 | 767,56 | 579,67 | 4,44E+11 | 481,32 | 3,52E+11 |
| 5,00 | 2350 | 2350 | 9680,00 | 7120,00 | 107,96 | 831,24 | 608,12 | 5,06E+11 | 504,05 | 4,02E+11 |
| 4,50 | 2400 | 2400 | 10755,56 | 7911,11 | -23,89 | 911,43 | 639,77 | 5,80E+11 | 529,21 | 4,63E+11 |
| 4,50 | 2400 | 2400 | 11377,78 | 8533,33 | -23,89 | 911,43 | 650,85 | 6,09E+11 | 544,20 | 4,94E+11 |
| 4,00 | 2450 | 2450 | 12800,00 | 9600,00 | -182,82 | 1005,86 | 686,75 | 7,05E+11 | 572,94 | 5,74E+11 |
| 3,50 | 2500 | 2500 | 14628,57 | 10971,43 | -449,63 | 1100,33 | 727,68 | 8,26E+11 | 605,49 | 6,76E+11 |
| 3,00 | 2550 | 2550 | 17066,67 | 12800,00 | -716,44 | 1093,78 | 775,14 | 9,83E+11 | 642,94 | 8,11E+11 |
| 3,00 | 3150 | 2550 | 12800,00 | 12800,00 | -716,44 | 1093,78 | 780,93 | 1,26E+12 | 677,44 | 7,89E+11 |
| 2,50 | 3150 | 2550 | 15360,00 | 15360,00 | -1225,95 | 1009,36 | 829,11 | 1,48E+12 | 717,07 | 9,24E+11 |
| 2,00 | 3150 | 2550 | 19200,00 | 19200,00 | -2240,71 | 660,18 | 888,98 | 1,79E+12 | 765,86 | 1,12E+12 |
| -10,00 | 1850 | 1850 | 3560,00 | 3560,00 | -12,06 | 0,00 | 350,35 | 1,26E+11 | 350,35 | 1,26E+11 |
| -9,50 | 1900 | 1900 | 3747,37 | 3747,37 | -54,96 | -54,96 | 363,22 | 1,40E+11 | 363,22 | 1,40E+11 |
| -9,00 | 1950 | 1950 | 3955,56 | 3955,56 | -316,68 | -90,89 | 376,79 | 1,55E+11 | 376,79 | 1,55E+11 |
| -8,50 | 2000 | 2000 | 4188,24 | 4188,24 | 110,71 | 197,38 | 391,15 | 1,73E+11 | 391,15 | 1,73E+11 |
| -8,00 | 2050 | 2050 | 4450,00 | 4450,00 | 436,39 | 581,14 | 406,40 | 1,93E+11 | 406,40 | 1,93E+11 |
| -7,50 | 2100 | 2100 | 4746,67 | 4746,67 | 583,27 | 821,44 | 422,68 | 2,15E+11 | 422,68 | 2,15E+11 |
| -7,00 | 2150 | 2150 | 5085,71 | 5085,71 | 889,85 | 1194,70 | 440,14 | 2,41E+11 | 440,14 | 2,41E+11 |
| -6,50 | 2200 | 2200 | 5476,92 | 5476,92 | 1175,42 | 1466,00 | 458,97 | 2,71E+11 | 458,97 | 2,71E+11 |
| -6,50 | 2200 | 2200 | 7446,15 | 5476,92 | 1175,42 | 1466,00 | 530,24 | 3,49E+11 | 441,59 | 2,75E+11 |
| -6,00 | 2250 | 2250 | 8066,67 | 5933,33 | 1417,80 | 1920,34 | 553,86 | 3,93E+11 | 460,61 | 3,10E+11 |
| -6,00 | 2250 | 2250 | 8066,67 | 5933,33 | 1417,80 | 1920,34 | 553,86 | 3,93E+11 | 460,61 | 3,10E+11 |
| -5,50 | 2300 | 2300 | 8800,00 | 6472,73 | 1734,11 | 2493,74 | 579,67 | 4,44E+11 | 481,32 | 3,52E+11 |
| -5,50 | 2300 | 2300 | 8800,00 | 6472,73 | 1734,11 | 2493,74 | 579,67 | 4,44E+11 | 481,32 | 3,52E+11 |
| -5,00 | 2350 | 2350 | 9680,00 | 7120,00 | 2001,16 | 2789,51 | 608,12 | 5,06E+11 | 504,05 | 4,02E+11 |
| -4,50 | 2400 | 2400 | 10755,56 | 7911,11 | 2371,34 | 3329,75 | 639,77 | 5,80E+11 | 529,21 | 4,63E+11 |
| -4,50 | 2400 | 2400 | 11377,78 | 8533,33 | 2371,34 | 3329,75 | 650,85 | 6,09E+11 | 544,20 | 4,94E+11 |
| -4,00 | 2450 | 2450 | 12800,00 | 9600,00 | 2752,66 | 3899,79 | 686,75 | 7,05E+11 | 572,94 | 5,74E+11 |
| -3,50 | 2500 | 2500 | 14628,57 | 10971,43 | 2997,60 | 4740,00 | 727,68 | 8,26E+11 | 605,49 | 6,76E+11 |
| -3,00 | 2550 | 2550 | 17066,67 | 12800,00 | 3761,65 | 5618,26 | 775,14 | 9,83E+11 | 642,94 | 8,11E+11 |
| -3,00 | 3150 | 3150 | 12800,00 | 12800,00 | 3761,65 | 5618,26 | 780,93 | 1,26E+12 | 780,93 | 1,26E+12 |
| -2,50 | 3150 | 3150 | 15360,00 | 15360,00 | 4392,45 | 6611,50 | 829,11 | 1,48E+12 | 829,11 | 1,48E+12 |
| -2,00 | 3150 | 3150 | 19200,00 | 19200,00 | 5238,75 | 8126,90 | 888,98 | 1,79E+12 | 888,98 | 1,79E+12 |

| Escursione di tensione dovuta al momento radiale che tende le fibre inferiori nel calcestruzzo e nell'acciaio | | | | | | | | | | | | |
|---|----------------------------------|----------------------|----------------------------|----------------------|------------|----------------------------|-----------------|----------------------|-----------------|----------|------|------|
| y | verifiche nelle barre di acciaio | | | | | verifiche nel calcestruzzo | | | | | | |
| | $\sigma_{s,inf,min}$ | $\sigma_{s,inf,max}$ | $\Delta\sigma_{s,inf,max}$ | $\Delta\sigma_{Rsd}$ | verificato | $\sigma_{c,inf,min}$ | $E_{cd,min,eq}$ | $\sigma_{c,inf,max}$ | $E_{cd,max,eq}$ | R_{eq} | (1) | (2) |
| [m] | [Mpa] | [Mpa] | [Mpa] | [Mpa] | | [Mpa] | | [Mpa] | | | | |
| 10,00 | 0,00 | 0,41 | 0,41 | 54,10 | SI | 0,00 | 0,00 | 0,00 | 0,00 | 0,00 | 0,43 | 0,50 |
| 9,50 | -0,97 | 0,00 | 0,97 | 54,10 | SI | 0,08 | 0,00 | 0,00 | 0,00 | 0,00 | 0,43 | 0,50 |
| 9,00 | -5,32 | -1,60 | 3,72 | 54,10 | SI | 0,45 | 0,02 | 0,14 | 0,01 | 0,30 | 0,37 | 0,51 |
| 8,50 | 6,75 | 12,14 | 5,39 | 54,10 | SI | 0,00 | 0,00 | 0,00 | 0,00 | 0,00 | 0,43 | 0,50 |
| 8,00 | 9,13 | 26,27 | 17,14 | 54,10 | SI | 0,00 | 0,00 | 0,00 | 0,00 | 0,00 | 0,43 | 0,50 |
| 7,50 | 10,16 | 33,14 | 22,99 | 54,10 | SI | 0,00 | 0,00 | 0,00 | 0,00 | 0,00 | 0,43 | 0,50 |
| 7,00 | 13,91 | 43,17 | 29,27 | 54,10 | SI | 0,00 | 0,00 | 0,00 | 0,00 | 0,00 | 0,43 | 0,50 |
| 6,50 | 13,24 | 49,27 | 36,03 | 54,10 | SI | 0,00 | 0,00 | 0,00 | 0,00 | 0,00 | 0,43 | 0,50 |
| 6,50 | 9,84 | 36,61 | 26,78 | 101,69 | SI | 0,00 | 0,00 | 0,00 | 0,00 | 0,00 | 0,43 | 0,50 |
| 6,00 | 8,83 | 39,33 | 30,51 | 101,69 | SI | 0,00 | 0,00 | 0,00 | 0,00 | 0,00 | 0,43 | 0,50 |
| 6,00 | 8,83 | 39,33 | 30,51 | 101,69 | SI | 0,00 | 0,00 | 0,00 | 0,00 | 0,00 | 0,43 | 0,50 |

| | | |
|------------------|---|--------|
| CODICE ELABORATO | OGGETTO DELL'ELABORATO | PAGINA |
| RST-PD-R0006_R0 | INTEGRALE RICOSTRUZIONE PARCO EOLICO "SALEMI-TRAPANI" RELAZIONE DI CALCOLO PRELIMINARE DELLE STRUTTURE | 58 |

| | | | | | | | | | | | | |
|--------|--------|--------|-------|--------|----|------|------|------|------|------|------|------|
| 5,50 | 5,68 | 42,50 | 36,82 | 101,69 | SI | 0,00 | 0,00 | 0,00 | 0,00 | 0,00 | 0,43 | 0,50 |
| 5,50 | 5,68 | 42,50 | 36,82 | 101,69 | SI | 0,00 | 0,00 | 0,00 | 0,00 | 0,00 | 0,43 | 0,50 |
| 5,00 | 5,32 | 40,97 | 35,65 | 101,69 | SI | 0,00 | 0,00 | 0,00 | 0,00 | 0,00 | 0,43 | 0,50 |
| 4,50 | -0,35 | 39,61 | 39,96 | 101,69 | SI | 0,03 | 0,00 | 0,00 | 0,00 | 0,00 | 0,43 | 0,50 |
| 4,50 | -0,34 | 37,46 | 37,80 | 101,69 | SI | 0,03 | 0,00 | 0,00 | 0,00 | 0,00 | 0,43 | 0,50 |
| 4,00 | -2,35 | 36,02 | 38,38 | 54,10 | SI | 0,18 | 0,01 | 0,00 | 0,00 | 0,00 | 0,43 | 0,50 |
| 3,50 | -5,24 | 33,82 | 39,06 | 54,10 | SI | 0,40 | 0,02 | 0,00 | 0,00 | 0,00 | 0,43 | 0,51 |
| 3,00 | -7,46 | 28,28 | 35,74 | 54,10 | SI | 0,57 | 0,03 | 0,00 | 0,00 | 0,00 | 0,43 | 0,51 |
| 3,00 | -8,14 | 29,83 | 37,96 | 54,10 | SI | 0,62 | 0,03 | 0,00 | 0,00 | 0,00 | 0,43 | 0,51 |
| 2,50 | -12,67 | 22,98 | 35,66 | 54,10 | SI | 0,95 | 0,04 | 0,00 | 0,00 | 0,00 | 0,43 | 0,52 |
| 2,00 | -20,55 | 12,05 | 32,60 | 54,10 | SI | 1,53 | 0,07 | 0,00 | 0,00 | 0,00 | 0,43 | 0,53 |
| -10,00 | -0,39 | 0,00 | 0,39 | 54,10 | SI | 0,03 | 0,00 | 0,00 | 0,00 | 0,00 | 0,43 | 0,50 |
| -9,50 | -1,67 | -1,67 | 0,00 | 54,10 | SI | 0,14 | 0,01 | 0,14 | 0,01 | 1,00 | 0,01 | 0,50 |
| -9,00 | -9,08 | -2,60 | 6,47 | 54,10 | SI | 0,77 | 0,03 | 0,22 | 0,01 | 0,29 | 0,37 | 0,52 |
| -8,50 | 14,69 | 26,18 | 11,50 | 54,10 | SI | 0,00 | 0,00 | 0,00 | 0,00 | 0,00 | 0,43 | 0,50 |
| -8,00 | 53,12 | 70,74 | 17,62 | 54,10 | SI | 0,00 | 0,00 | 0,00 | 0,00 | 0,00 | 0,43 | 0,50 |
| -7,50 | 64,94 | 91,46 | 26,52 | 54,10 | SI | 0,00 | 0,00 | 0,00 | 0,00 | 0,00 | 0,43 | 0,50 |
| -7,00 | 90,28 | 121,21 | 30,93 | 54,10 | SI | 0,00 | 0,00 | 0,00 | 0,00 | 0,00 | 0,43 | 0,50 |
| -6,50 | 108,19 | 134,94 | 26,75 | 54,10 | SI | 0,00 | 0,00 | 0,00 | 0,00 | 0,00 | 0,43 | 0,50 |
| -6,50 | 80,40 | 100,27 | 19,88 | 101,69 | SI | 0,00 | 0,00 | 0,00 | 0,00 | 0,00 | 0,43 | 0,50 |
| -6,00 | 87,53 | 118,56 | 31,03 | 101,69 | SI | 0,00 | 0,00 | 0,00 | 0,00 | 0,00 | 0,43 | 0,50 |
| -6,00 | 87,53 | 118,56 | 31,03 | 101,69 | SI | 0,00 | 0,00 | 0,00 | 0,00 | 0,00 | 0,43 | 0,50 |
| -5,50 | 96,03 | 138,09 | 42,06 | 101,69 | SI | 0,00 | 0,00 | 0,00 | 0,00 | 0,00 | 0,43 | 0,50 |
| -5,50 | 96,03 | 138,09 | 42,06 | 101,69 | SI | 0,00 | 0,00 | 0,00 | 0,00 | 0,00 | 0,43 | 0,50 |
| -5,00 | 98,63 | 137,49 | 38,86 | 101,69 | SI | 0,00 | 0,00 | 0,00 | 0,00 | 0,00 | 0,43 | 0,50 |
| -4,50 | 103,06 | 144,71 | 41,65 | 101,69 | SI | 0,00 | 0,00 | 0,00 | 0,00 | 0,00 | 0,43 | 0,50 |
| -4,50 | 97,47 | 136,87 | 39,40 | 101,69 | SI | 0,00 | 0,00 | 0,00 | 0,00 | 0,00 | 0,43 | 0,50 |
| -4,00 | 98,59 | 139,67 | 41,08 | 54,10 | SI | 0,00 | 0,00 | 0,00 | 0,00 | 0,00 | 0,43 | 0,50 |
| -3,50 | 92,13 | 145,69 | 53,55 | 54,10 | SI | 0,00 | 0,00 | 0,00 | 0,00 | 0,00 | 0,43 | 0,50 |
| -3,00 | 97,25 | 145,24 | 48,00 | 54,10 | SI | 0,00 | 0,00 | 0,00 | 0,00 | 0,00 | 0,43 | 0,50 |
| -3,00 | 102,58 | 153,21 | 50,63 | 54,10 | SI | 0,00 | 0,00 | 0,00 | 0,00 | 0,00 | 0,43 | 0,50 |
| -2,50 | 100,01 | 150,54 | 50,53 | 54,10 | SI | 0,00 | 0,00 | 0,00 | 0,00 | 0,00 | 0,43 | 0,50 |
| -2,00 | 95,61 | 148,31 | 52,71 | 54,10 | SI | 0,00 | 0,00 | 0,00 | 0,00 | 0,00 | 0,43 | 0,50 |

| Escursione di tensione dovuta al momento radiale che tende le fibre superiori nel calcestruzzo e nell'acciaio | | | | | | | | | | | | |
|---|----------------------------------|---------------------|---------------------------|----------------------|------------|----------------------------|-------------------|---------------------|-------------------|-----------|---------|-------------------------|
| y | verifiche nelle barre di acciaio | | | | | verifiche nel calcestruzzo | | | | | | |
| | σ_s sup, min | σ_s sup, max | $\Delta\sigma_s$ sup, max | $\Delta\sigma_{Rsd}$ | verificato | σ_c sup, min | $E_{cd,min, equ}$ | σ_c sup, max | $E_{cd,max, equ}$ | R_{equ} | (1) < 1 | (2) > $E_{cd,max, equ}$ |
| [m] | [Mpa] | [Mpa] | [Mpa] | [Mpa] | | [Mpa] | | [Mpa] | | | | |
| 10,00 | 0,00 | 0,08 | 0,08 | 54,10 | SI | 0,00 | 0,00 | 0,01 | 0,00 | 0,00 | 0,43 | 0,50 |
| 9,50 | -4,97 | 0,00 | 4,97 | 54,10 | SI | 0,00 | 0,00 | 0,00 | 0,00 | 0,00 | 0,43 | 0,50 |
| 9,00 | -26,77 | -8,05 | 18,72 | 54,10 | SI | 0,00 | 0,00 | 0,00 | 0,00 | 0,00 | 0,43 | 0,50 |
| 8,50 | 1,37 | 2,47 | 1,10 | 54,10 | SI | 0,12 | 0,01 | 0,21 | 0,01 | 0,56 | 0,30 | 0,50 |
| 8,00 | 1,91 | 5,48 | 3,58 | 54,10 | SI | 0,16 | 0,01 | 0,46 | 0,02 | 0,35 | 0,37 | 0,50 |
| 7,50 | 2,18 | 7,11 | 4,93 | 54,10 | SI | 0,18 | 0,01 | 0,58 | 0,03 | 0,31 | 0,38 | 0,50 |
| 7,00 | 3,07 | 9,54 | 6,47 | 54,10 | SI | 0,25 | 0,01 | 0,78 | 0,03 | 0,32 | 0,39 | 0,50 |
| 6,50 | 3,02 | 11,24 | 8,22 | 54,10 | SI | 0,24 | 0,01 | 0,91 | 0,04 | 0,27 | 0,41 | 0,50 |
| 6,50 | 2,79 | 10,37 | 7,58 | 101,69 | SI | 0,22 | 0,01 | 0,81 | 0,04 | 0,27 | 0,40 | 0,50 |
| 6,00 | 2,59 | 11,53 | 8,94 | 101,69 | SI | 0,20 | 0,01 | 0,90 | 0,04 | 0,22 | 0,42 | 0,50 |
| 6,00 | 2,59 | 11,53 | 8,94 | 101,69 | SI | 0,20 | 0,01 | 0,90 | 0,04 | 0,22 | 0,42 | 0,50 |
| 5,50 | 1,73 | 12,95 | 11,22 | 101,69 | SI | 0,13 | 0,01 | 1,00 | 0,04 | 0,13 | 0,44 | 0,50 |
| 5,50 | 1,73 | 12,95 | 11,22 | 101,69 | SI | 0,13 | 0,01 | 1,00 | 0,04 | 0,13 | 0,44 | 0,50 |
| 5,00 | 1,69 | 13,02 | 11,33 | 101,69 | SI | 0,13 | 0,01 | 1,00 | 0,04 | 0,13 | 0,45 | 0,50 |
| 4,50 | -1,39 | 13,20 | 14,58 | 101,69 | SI | 0,00 | 0,00 | 1,01 | 0,04 | 0,00 | 0,47 | 0,50 |
| 4,50 | -1,29 | 12,81 | 14,10 | 101,69 | SI | 0,00 | 0,00 | 0,97 | 0,04 | 0,00 | 0,47 | 0,50 |
| 4,00 | -8,58 | 12,99 | 21,57 | 54,10 | SI | 0,00 | 0,00 | 0,98 | 0,04 | 0,00 | 0,47 | 0,50 |
| 3,50 | -18,09 | 12,94 | 31,03 | 54,10 | SI | 0,00 | 0,00 | 0,97 | 0,04 | 0,00 | 0,47 | 0,50 |
| 3,00 | -24,22 | 11,60 | 35,82 | 54,10 | SI | 0,00 | 0,00 | 0,86 | 0,04 | 0,00 | 0,47 | 0,50 |

| | | |
|------------------|---|--------|
| CODICE ELABORATO | OGGETTO DELL'ELABORATO | PAGINA |
| RST-PD-R0006_R0 | INTEGRALE RICOSTRUZIONE PARCO EOLICO "SALEMI-TRAPANI" RELAZIONE DI CALCOLO PRELIMINARE DELLE STRUTTURE | 59 |

| | | | | | | | | | | | | |
|--------|--------|--------|-------|--------|----|------|------|------|------|------|------|------|
| 3,00 | -24,41 | 0,34 | 24,75 | 54,10 | SI | 0,00 | 0,00 | 0,68 | 0,03 | 0,00 | 0,46 | 0,50 |
| 2,50 | -34,87 | 0,20 | 35,07 | 54,10 | SI | 0,00 | 0,00 | 0,57 | 0,03 | 0,00 | 0,46 | 0,50 |
| 2,00 | -51,07 | 0,45 | 51,52 | 54,10 | SI | 0,00 | 0,00 | 0,33 | 0,01 | 0,00 | 0,44 | 0,50 |
| -10,00 | -2,04 | 0,00 | 2,04 | 54,10 | SI | 0,00 | 0,00 | 0,00 | 0,00 | 0,00 | 0,43 | 0,50 |
| -9,50 | -8,59 | -8,59 | 0,00 | 54,10 | SI | 0,00 | 0,00 | 0,00 | 0,00 | 0,00 | 0,43 | 0,50 |
| -9,00 | -45,66 | -13,10 | 32,55 | 54,10 | SI | 0,00 | 0,00 | 0,00 | 0,00 | 0,00 | 0,43 | 0,50 |
| -8,50 | 2,99 | 5,33 | 2,34 | 54,10 | SI | 0,25 | 0,01 | 0,45 | 0,02 | 0,56 | 0,30 | 0,50 |
| -8,00 | 11,09 | 14,77 | 3,68 | 54,10 | SI | 0,92 | 0,04 | 1,23 | 0,05 | 0,75 | 0,27 | 0,52 |
| -7,50 | 13,93 | 19,62 | 5,69 | 54,10 | SI | 1,15 | 0,05 | 1,61 | 0,07 | 0,71 | 0,30 | 0,52 |
| -7,00 | 19,95 | 26,78 | 6,83 | 54,10 | SI | 1,63 | 0,07 | 2,18 | 0,10 | 0,74 | 0,31 | 0,53 |
| -6,50 | 24,68 | 30,79 | 6,10 | 54,10 | SI | 1,99 | 0,09 | 2,49 | 0,11 | 0,80 | 0,30 | 0,54 |
| -6,50 | 22,77 | 28,40 | 5,63 | 101,69 | SI | 1,79 | 0,08 | 2,23 | 0,10 | 0,80 | 0,29 | 0,54 |
| -6,00 | 25,66 | 34,76 | 9,10 | 101,69 | SI | 2,00 | 0,09 | 2,71 | 0,12 | 0,74 | 0,34 | 0,54 |
| -6,00 | 25,66 | 34,76 | 9,10 | 101,69 | SI | 2,00 | 0,09 | 2,71 | 0,12 | 0,74 | 0,34 | 0,54 |
| -5,50 | 29,25 | 42,06 | 12,81 | 101,69 | SI | 2,26 | 0,10 | 3,25 | 0,14 | 0,70 | 0,38 | 0,54 |
| -5,50 | 29,25 | 42,06 | 12,81 | 101,69 | SI | 2,26 | 0,10 | 3,25 | 0,14 | 0,70 | 0,38 | 0,54 |
| -5,00 | 31,34 | 43,69 | 12,35 | 101,69 | SI | 2,41 | 0,11 | 3,35 | 0,15 | 0,72 | 0,38 | 0,55 |
| -4,50 | 34,33 | 48,21 | 13,88 | 101,69 | SI | 2,62 | 0,12 | 3,67 | 0,16 | 0,71 | 0,39 | 0,55 |
| -4,50 | 33,34 | 46,81 | 13,47 | 101,69 | SI | 2,53 | 0,11 | 3,56 | 0,16 | 0,71 | 0,39 | 0,55 |
| -4,00 | 35,54 | 50,35 | 14,81 | 54,10 | SI | 2,68 | 0,12 | 3,80 | 0,17 | 0,71 | 0,40 | 0,55 |
| -3,50 | 35,26 | 55,76 | 20,50 | 54,10 | SI | 2,64 | 0,12 | 4,18 | 0,18 | 0,63 | 0,45 | 0,55 |
| -3,00 | 39,89 | 59,57 | 19,69 | 54,10 | SI | 2,97 | 0,13 | 4,43 | 0,20 | 0,67 | 0,44 | 0,56 |
| -3,00 | 31,41 | 46,91 | 15,50 | 54,10 | SI | 2,33 | 0,10 | 3,48 | 0,15 | 0,67 | 0,40 | 0,55 |
| -2,50 | 33,43 | 50,32 | 16,89 | 54,10 | SI | 2,47 | 0,11 | 3,71 | 0,16 | 0,66 | 0,41 | 0,55 |
| -2,00 | 35,46 | 55,01 | 19,55 | 54,10 | SI | 2,60 | 0,11 | 4,03 | 0,18 | 0,64 | 0,43 | 0,55 |

| Caratteristiche delle sezioni soggette a momento circonferenziale positivo e negativo | | | | | | | | | | |
|---|----------------------|----------------------|----------------------|----------------------|----------------------|----------------------|-------------------------------------|------------------|-------------------------------------|----------------------|
| Caratteristiche geometriche della sezione | | | | | | | Il momento tende le fibre inferiori | | Il momento tende le fibre superiori | |
| y | H(M _{inf}) | H(M _{sup}) | A _{f, inf} | A _{f, sup} | M _{fat min} | M _{fat max} | X _{inf} | J _{inf} | X _{sup} | J _{sup} |
| [m] | [mm] | [mm] | [mm ² /m] | [mm ² /m] | [kN*m] | [kN*m] | [m] | [mm] | [mm] | [mm ² /m] |
| -10,00 | 1850,00 | 1850,00 | 3539,53 | 2654,65 | 419,99 | 586,01 | 357,59 | 1,24E+11 | 304,69 | 9,76E+10 |
| -9,50 | 1900,00 | 1900,00 | 3539,53 | 2654,65 | 406,70 | 489,52 | 363,44 | 1,32E+11 | 309,67 | 1,04E+11 |
| -9,00 | 1950,00 | 1950,00 | 3539,53 | 2654,65 | 256,88 | 660,95 | 369,23 | 1,40E+11 | 314,58 | 1,10E+11 |
| -8,50 | 2000,00 | 2000,00 | 3539,53 | 2654,65 | 609,79 | 748,37 | 374,93 | 1,48E+11 | 319,44 | 1,16E+11 |
| -8,50 | 2000,00 | 2000,00 | 4424,41 | 3539,53 | 609,79 | 748,37 | 407,43 | 1,80E+11 | 358,84 | 1,50E+11 |
| -7,50 | 2100,00 | 2100,00 | 4424,41 | 3539,53 | 1055,43 | 1384,62 | 419,88 | 2,01E+11 | 369,81 | 1,67E+11 |
| -7,00 | 2150,00 | 2150,00 | 4424,41 | 3539,53 | 1180,46 | 1503,04 | 426,00 | 2,11E+11 | 375,21 | 1,76E+11 |
| -6,50 | 2200,00 | 2200,00 | 4424,41 | 3539,53 | 1357,60 | 1690,51 | 432,05 | 2,23E+11 | 380,54 | 1,85E+11 |
| -6,50 | 2200,00 | 2200,00 | 5899,21 | 4084,07 | 1357,60 | 1690,51 | 488,54 | 2,85E+11 | 394,61 | 2,12E+11 |
| -6,00 | 2250,00 | 2250,00 | 5899,21 | 4084,07 | 1497,14 | 1936,10 | 495,44 | 2,99E+11 | 400,21 | 2,22E+11 |
| -6,00 | 2250,00 | 2250,00 | 5899,21 | 4084,07 | 1497,14 | 1936,10 | 495,44 | 2,99E+11 | 400,21 | 2,22E+11 |
| -5,50 | 2300,00 | 2300,00 | 5899,21 | 4084,07 | 1684,18 | 2204,81 | 502,26 | 3,14E+11 | 405,75 | 2,33E+11 |
| -5,50 | 2300,00 | 2300,00 | 5899,21 | 4084,07 | 1684,18 | 2204,81 | 502,26 | 3,14E+11 | 405,75 | 2,33E+11 |
| -5,00 | 2350,00 | 2350,00 | 5899,21 | 4084,07 | 1833,44 | 2413,83 | 509,01 | 3,30E+11 | 411,24 | 2,45E+11 |
| -4,50 | 2400,00 | 2400,00 | 5899,21 | 4084,07 | 2032,09 | 2713,54 | 515,69 | 3,45E+11 | 416,67 | 2,56E+11 |
| -4,50 | 2400,00 | 2400,00 | 10618,58 | 4084,07 | 2032,09 | 2713,54 | 672,48 | 5,55E+11 | 378,10 | 2,63E+11 |
| -4,00 | 2450,00 | 2450,00 | 10618,58 | 4084,07 | 2200,15 | 2952,02 | 681,36 | 5,82E+11 | 383,20 | 2,75E+11 |
| -3,50 | 2500,00 | 2500,00 | 10618,58 | 4084,07 | 2221,86 | 3393,62 | 690,15 | 6,09E+11 | 388,25 | 2,88E+11 |
| -3,00 | 2550,00 | 2550,00 | 10618,58 | 4084,07 | 3083,83 | 4249,81 | 698,85 | 6,37E+11 | 393,26 | 3,00E+11 |
| -3,00 | 3150,00 | 2550,00 | 10618,58 | 5309,29 | 3083,83 | 4249,81 | 784,70 | 1,03E+12 | 451,00 | 3,77E+11 |
| -2,50 | 3150,00 | 2550,00 | 10618,58 | 5309,29 | 4056,37 | 5680,00 | 784,70 | 1,03E+12 | 451,00 | 3,77E+11 |
| -2,00 | 3150,00 | 2550,00 | 10618,58 | 5309,29 | 4334,21 | 6046,51 | 784,70 | 1,03E+12 | 451,00 | 3,77E+11 |
| 10,00 | 1850,00 | 1850,00 | 3539,53 | 2654,65 | 226,61 | 324,62 | 357,59 | 1,24E+11 | 304,69 | 9,76E+10 |
| 9,50 | 1900,00 | 1900,00 | 3539,53 | 2654,65 | 207,16 | 283,83 | 363,44 | 1,32E+11 | 309,67 | 1,04E+11 |
| 9,00 | 1950,00 | 1950,00 | 3539,53 | 2654,65 | 168,36 | 442,98 | 369,23 | 1,40E+11 | 314,58 | 1,10E+11 |
| 8,50 | 2000,00 | 2000,00 | 3539,53 | 2654,65 | 272,87 | 505,07 | 374,93 | 1,48E+11 | 319,44 | 1,16E+11 |
| 8,50 | 2000,00 | 2000,00 | 4424,41 | 3539,53 | 272,87 | 505,07 | 407,43 | 1,80E+11 | 358,84 | 1,50E+11 |

| | | |
|------------------|---|--------|
| CODICE ELABORATO | OGGETTO DELL'ELABORATO | PAGINA |
| RST-PD-R0006_R0 | INTEGRALE RICOSTRUZIONE PARCO EOLICO "SALEMI-TRAPANI" RELAZIONE DI CALCOLO PRELIMINARE DELLE STRUTTURE | 60 |

| | | | | | | | | | | |
|------|---------|---------|----------|---------|--------|---------|--------|----------|--------|----------|
| 7,50 | 2100,00 | 2100,00 | 4424,41 | 3539,53 | 364,47 | 622,54 | 419,88 | 2,01E+11 | 369,81 | 1,67E+11 |
| 7,00 | 2150,00 | 2150,00 | 4424,41 | 3539,53 | 394,26 | 694,36 | 426,00 | 2,11E+11 | 375,21 | 1,76E+11 |
| 6,50 | 2200,00 | 2200,00 | 4424,41 | 3539,53 | 409,53 | 770,42 | 432,05 | 2,23E+11 | 380,54 | 1,85E+11 |
| 6,50 | 2200,00 | 2200,00 | 5899,21 | 4084,07 | 409,53 | 770,42 | 488,54 | 2,85E+11 | 394,61 | 2,12E+11 |
| 6,00 | 2250,00 | 2250,00 | 5899,21 | 4084,07 | 415,33 | 834,27 | 495,44 | 2,99E+11 | 400,21 | 2,22E+11 |
| 6,00 | 2250,00 | 2250,00 | 5899,21 | 4084,07 | 415,33 | 834,27 | 495,44 | 2,99E+11 | 400,21 | 2,22E+11 |
| 5,50 | 2300,00 | 2300,00 | 5899,21 | 4084,07 | 394,19 | 912,83 | 502,26 | 3,14E+11 | 405,75 | 2,33E+11 |
| 5,50 | 2300,00 | 2300,00 | 5899,21 | 4084,07 | 394,19 | 912,83 | 502,26 | 3,14E+11 | 405,75 | 2,33E+11 |
| 5,00 | 2350,00 | 2350,00 | 5899,21 | 4084,07 | 436,88 | 960,30 | 509,01 | 3,30E+11 | 411,24 | 2,45E+11 |
| 4,50 | 2400,00 | 2400,00 | 5899,21 | 4084,07 | 302,76 | 999,23 | 515,69 | 3,45E+11 | 416,67 | 2,56E+11 |
| 4,50 | 2400,00 | 2400,00 | 10618,58 | 4084,07 | 302,76 | 999,23 | 672,48 | 5,55E+11 | 378,10 | 2,63E+11 |
| 4,00 | 2450,00 | 2450,00 | 10618,58 | 4084,07 | 240,30 | 1060,82 | 681,36 | 5,82E+11 | 383,20 | 2,75E+11 |
| 3,50 | 2500,00 | 2500,00 | 10618,58 | 4084,07 | 240,30 | 1130,79 | 690,15 | 6,09E+11 | 388,25 | 2,88E+11 |
| 3,00 | 2550,00 | 2550,00 | 10618,58 | 4084,07 | 139,37 | 1312,05 | 698,85 | 6,37E+11 | 393,26 | 3,00E+11 |
| 3,00 | 3150,00 | 2550,00 | 10618,58 | 5309,29 | 139,37 | 1312,05 | 784,70 | 1,03E+12 | 451,00 | 3,77E+11 |
| 2,50 | 3150,00 | 2550,00 | 10618,58 | 5309,29 | 317,56 | 1765,66 | 784,70 | 1,03E+12 | 451,00 | 3,77E+11 |
| 2,00 | 3150,00 | 2550,00 | 10618,58 | 5309,29 | -59,64 | 1822,95 | 784,70 | 1,03E+12 | 451,00 | 3,77E+11 |

| Escursione di tensione dovuta al momento circonferenziale che tende le fibre inferiori nel calcestruzzo e nell'acciaio | | | | | | | | | | | | |
|--|--|--|--|-------------------------------|------------|--|---------------------------|--|---------------------------|-----------|--------|--------------------------------|
| y (-) [m] | verifiche nelle barre di acciaio | | | | | verifiche nel calcestruzzo | | | | | | |
| | $\sigma_{s, \text{inf, min}}$ [Mpa] | $\sigma_{s, \text{inf, max}}$ [Mpa] | $\Delta\sigma_{s, \text{inf, max}}$ [Mpa] | $\Delta\sigma_{Rsk}$ [Mpa] | verificato | $\sigma_{c, \text{inf, min}}$ [Mpa] | $E_{cd, \text{min, equ}}$ | $\sigma_{c, \text{inf, max}}$ [Mpa] | $E_{cd, \text{max, equ}}$ | R_{equ} | 1) < 1 | 2) > $E_{cd, \text{max, equ}}$ |
| -10,00 | 71,63 | 99,94 | 28,31 | 101,69 | SI | 0,00 | 0,00 | 0,00 | 0,00 | 0,00 | 0,43 | 0,50 |
| -9,50 | 67,40 | 81,12 | 13,72 | 101,69 | SI | 0,00 | 0,00 | 0,00 | 0,00 | 0,00 | 0,43 | 0,50 |
| -9,00 | 41,40 | 106,51 | 65,12 | 101,69 | SI | 0,00 | 0,00 | 0,00 | 0,00 | 0,00 | 0,43 | 0,50 |
| -8,50 | 95,63 | 117,37 | 21,73 | 101,69 | SI | 0,00 | 0,00 | 0,00 | 0,00 | 0,00 | 0,43 | 0,50 |
| -8,50 | 76,83 | 94,29 | 17,46 | 101,69 | SI | 0,00 | 0,00 | 0,00 | 0,00 | 0,00 | 0,43 | 0,50 |
| -7,50 | 126,20 | 165,56 | 39,36 | 101,69 | SI | 0,00 | 0,00 | 0,00 | 0,00 | 0,00 | 0,43 | 0,50 |
| -7,00 | 137,64 | 175,25 | 37,61 | 101,69 | SI | 0,00 | 0,00 | 0,00 | 0,00 | 0,00 | 0,43 | 0,50 |
| -6,50 | 154,45 | 192,33 | 37,87 | 101,69 | SI | 0,00 | 0,00 | 0,00 | 0,00 | 0,00 | 0,43 | 0,50 |
| -6,50 | 116,73 | 145,35 | 28,62 | 101,69 | SI | 0,00 | 0,00 | 0,00 | 0,00 | 0,00 | 0,43 | 0,50 |
| -6,00 | 125,67 | 162,52 | 36,85 | 101,69 | SI | 0,00 | 0,00 | 0,00 | 0,00 | 0,00 | 0,43 | 0,50 |
| -6,00 | 125,67 | 162,52 | 36,85 | 101,69 | SI | 0,00 | 0,00 | 0,00 | 0,00 | 0,00 | 0,43 | 0,50 |
| -5,50 | 138,09 | 180,78 | 42,69 | 101,69 | SI | 0,00 | 0,00 | 0,00 | 0,00 | 0,00 | 0,43 | 0,50 |
| -5,50 | 138,09 | 180,78 | 42,69 | 101,69 | SI | 0,00 | 0,00 | 0,00 | 0,00 | 0,00 | 0,43 | 0,50 |
| -5,00 | 146,92 | 193,42 | 46,51 | 101,69 | SI | 0,00 | 0,00 | 0,00 | 0,00 | 0,00 | 0,43 | 0,50 |
| -4,50 | 159,22 | 212,61 | 53,39 | 101,69 | SI | 0,00 | 0,00 | 0,00 | 0,00 | 0,00 | 0,43 | 0,50 |
| -4,50 | 90,45 | 120,78 | 30,33 | 101,69 | SI | 0,00 | 0,00 | 0,00 | 0,00 | 0,00 | 0,43 | 0,50 |
| -4,00 | 95,79 | 128,53 | 32,74 | 101,69 | SI | 0,00 | 0,00 | 0,00 | 0,00 | 0,00 | 0,43 | 0,50 |
| -3,50 | 94,67 | 144,59 | 49,93 | 101,69 | SI | 0,00 | 0,00 | 0,00 | 0,00 | 0,00 | 0,43 | 0,50 |
| -3,00 | 128,64 | 177,28 | 48,64 | 101,69 | SI | 0,00 | 0,00 | 0,00 | 0,00 | 0,00 | 0,43 | 0,50 |
| -3,00 | 102,39 | 141,10 | 38,71 | 101,69 | SI | 0,00 | 0,00 | 0,00 | 0,00 | 0,00 | 0,43 | 0,50 |
| -2,50 | 134,68 | 188,59 | 53,91 | 101,69 | SI | 0,00 | 0,00 | 0,00 | 0,00 | 0,00 | 0,43 | 0,50 |
| -2,00 | 143,90 | 200,76 | 56,85 | 101,69 | SI | 0,00 | 0,00 | 0,00 | 0,00 | 0,00 | 0,43 | 0,50 |
| 10,00 | 38,65 | 55,36 | 16,72 | 101,69 | SI | 0,00 | 0,00 | 0,00 | 0,00 | 0,00 | 0,43 | 0,50 |
| 9,50 | 34,33 | 47,04 | 12,71 | 101,69 | SI | 0,00 | 0,00 | 0,00 | 0,00 | 0,00 | 0,43 | 0,50 |
| 9,00 | 27,13 | 71,39 | 44,26 | 101,69 | SI | 0,00 | 0,00 | 0,00 | 0,00 | 0,00 | 0,43 | 0,50 |
| 8,50 | 42,79 | 79,21 | 36,42 | 101,69 | SI | 0,00 | 0,00 | 0,00 | 0,00 | 0,00 | 0,43 | 0,50 |
| 8,50 | 34,38 | 63,64 | 29,26 | 101,69 | SI | 0,00 | 0,00 | 0,00 | 0,00 | 0,00 | 0,43 | 0,50 |
| 7,50 | 43,58 | 74,44 | 30,86 | 101,69 | SI | 0,00 | 0,00 | 0,00 | 0,00 | 0,00 | 0,43 | 0,50 |
| 7,00 | 45,97 | 80,96 | 34,99 | 101,69 | SI | 0,00 | 0,00 | 0,00 | 0,00 | 0,00 | 0,43 | 0,50 |
| 6,50 | 46,59 | 87,65 | 41,06 | 101,69 | SI | 0,00 | 0,00 | 0,00 | 0,00 | 0,00 | 0,43 | 0,50 |
| 6,50 | 35,21 | 66,24 | 31,03 | 101,69 | SI | 0,00 | 0,00 | 0,00 | 0,00 | 0,00 | 0,43 | 0,50 |
| 6,00 | 34,86 | 70,03 | 35,17 | 101,69 | SI | 0,00 | 0,00 | 0,00 | 0,00 | 0,00 | 0,43 | 0,50 |
| 6,00 | 34,86 | 70,03 | 35,17 | 101,69 | SI | 0,00 | 0,00 | 0,00 | 0,00 | 0,00 | 0,43 | 0,50 |
| 5,50 | 32,32 | 74,84 | 42,52 | 101,69 | SI | 0,00 | 0,00 | 0,00 | 0,00 | 0,00 | 0,43 | 0,50 |
| 5,50 | 32,32 | 74,84 | 42,52 | 101,69 | SI | 0,00 | 0,00 | 0,00 | 0,00 | 0,00 | 0,43 | 0,50 |

| | | |
|------------------|---|--------|
| CODICE ELABORATO | OGGETTO DELL'ELABORATO | PAGINA |
| RST-PD-R0006_R0 | INTEGRALE RICOSTRUZIONE PARCO EOLICO "SALEMI-TRAPANI" RELAZIONE DI CALCOLO PRELIMINARE DELLE STRUTTURE | 61 |

| | | | | | | | | | | | | |
|------|-------|-------|-------|--------|----|------|------|------|------|------|------|------|
| 5,00 | 35,01 | 76,95 | 41,94 | 101,69 | SI | 0,00 | 0,00 | 0,00 | 0,00 | 0,00 | 0,43 | 0,50 |
| 4,50 | 23,72 | 78,29 | 54,57 | 101,69 | SI | 0,00 | 0,00 | 0,00 | 0,00 | 0,00 | 0,43 | 0,50 |
| 4,50 | 13,48 | 44,48 | 31,00 | 101,69 | SI | 0,00 | 0,00 | 0,00 | 0,00 | 0,00 | 0,43 | 0,50 |
| 4,00 | 10,46 | 46,19 | 35,72 | 101,69 | SI | 0,00 | 0,00 | 0,00 | 0,00 | 0,00 | 0,43 | 0,50 |
| 3,50 | 10,24 | 48,18 | 37,94 | 101,69 | SI | 0,00 | 0,00 | 0,00 | 0,00 | 0,00 | 0,43 | 0,50 |
| 3,00 | 5,81 | 54,73 | 48,92 | 101,69 | SI | 0,00 | 0,00 | 0,00 | 0,00 | 0,00 | 0,43 | 0,50 |
| 3,00 | 4,63 | 43,56 | 38,94 | 101,69 | SI | 0,00 | 0,00 | 0,00 | 0,00 | 0,00 | 0,43 | 0,50 |
| 2,50 | 10,54 | 58,62 | 48,08 | 101,69 | SI | 0,00 | 0,00 | 0,00 | 0,00 | 0,00 | 0,43 | 0,50 |
| 2,00 | -0,88 | 60,53 | 61,41 | 101,69 | SI | 0,07 | 0,00 | 0,00 | 0,00 | 0,00 | 0,43 | 0,50 |

| Escursione di tensione dovuta al momento circonferenziale che tende le fibre superiori nel calcestruzzo e nell'acciaio | | | | | | | | | | | | |
|--|----------------------------------|------------------------|------------------------------|----------------------|------------|----------------------------|--------------------|------------------------|--------------------|-----------|--------|-------------------------|
| y (-) | verifiche nelle barre di acciaio | | | | | verifiche nel calcestruzzo | | | | | | |
| | $\sigma_{s\ sup, min}$ | $\sigma_{s\ sup, max}$ | $\Delta\sigma_{s\ sup, max}$ | $\Delta\sigma_{Rsk}$ | verificato | $\sigma_{c\ sup, min}$ | $E_{cd, min, equ}$ | $\sigma_{c\ sup, max}$ | $E_{cd, max, equ}$ | R_{equ} | 1) < 1 | 2) > $E_{cd, max, equ}$ |
| [m] | [Mpa] | [Mpa] | [Mpa] | [Mpa] | | [Mpa] | | [Mpa] | | | | |
| -10,00 | 14,08 | 19,64 | 5,56 | 101,69 | SI | 1,21 | 0,05 | 1,69 | 0,07 | 0,72 | 0,30 | 0,52 |
| -9,50 | 13,12 | 15,79 | 2,67 | 101,69 | SI | 1,12 | 0,05 | 1,35 | 0,06 | 0,83 | 0,24 | 0,52 |
| -9,00 | 7,98 | 20,53 | 12,55 | 101,69 | SI | 0,68 | 0,03 | 1,75 | 0,08 | 0,39 | 0,41 | 0,51 |
| -8,50 | 18,26 | 22,40 | 4,15 | 101,69 | SI | 1,55 | 0,07 | 1,90 | 0,08 | 0,81 | 0,27 | 0,53 |
| -8,50 | 16,63 | 20,41 | 3,78 | 101,69 | SI | 1,38 | 0,06 | 1,69 | 0,07 | 0,81 | 0,26 | 0,53 |
| -7,50 | 26,81 | 35,17 | 8,36 | 101,69 | SI | 2,21 | 0,10 | 2,90 | 0,13 | 0,76 | 0,34 | 0,54 |
| -7,00 | 28,97 | 36,88 | 7,92 | 101,69 | SI | 2,38 | 0,11 | 3,03 | 0,13 | 0,79 | 0,33 | 0,55 |
| -6,50 | 32,21 | 40,11 | 7,90 | 101,69 | SI | 2,64 | 0,12 | 3,28 | 0,15 | 0,80 | 0,34 | 0,55 |
| -6,50 | 29,23 | 36,40 | 7,17 | 101,69 | SI | 2,33 | 0,10 | 2,90 | 0,13 | 0,80 | 0,32 | 0,55 |
| -6,00 | 31,18 | 40,32 | 9,14 | 101,69 | SI | 2,48 | 0,11 | 3,21 | 0,14 | 0,77 | 0,35 | 0,55 |
| -6,00 | 31,18 | 40,32 | 9,14 | 101,69 | SI | 2,48 | 0,11 | 3,21 | 0,14 | 0,77 | 0,35 | 0,55 |
| -5,50 | 33,95 | 44,44 | 10,49 | 101,69 | SI | 2,69 | 0,12 | 3,52 | 0,16 | 0,76 | 0,36 | 0,55 |
| -5,50 | 33,95 | 44,44 | 10,49 | 101,69 | SI | 2,69 | 0,12 | 3,52 | 0,16 | 0,76 | 0,36 | 0,55 |
| -5,00 | 35,79 | 47,12 | 11,33 | 101,69 | SI | 2,83 | 0,13 | 3,73 | 0,16 | 0,76 | 0,38 | 0,56 |
| -4,50 | 38,45 | 51,34 | 12,89 | 101,69 | SI | 3,03 | 0,13 | 4,05 | 0,18 | 0,75 | 0,39 | 0,56 |
| -4,50 | 32,53 | 43,44 | 10,91 | 101,69 | SI | 2,46 | 0,11 | 3,29 | 0,15 | 0,75 | 0,36 | 0,55 |
| -4,00 | 34,11 | 45,77 | 11,66 | 101,69 | SI | 2,58 | 0,11 | 3,46 | 0,15 | 0,75 | 0,37 | 0,55 |
| -3,50 | 33,39 | 51,00 | 17,61 | 101,69 | SI | 2,52 | 0,11 | 3,85 | 0,17 | 0,65 | 0,42 | 0,55 |
| -3,00 | 44,95 | 61,94 | 16,99 | 101,69 | SI | 3,38 | 0,15 | 4,66 | 0,21 | 0,73 | 0,43 | 0,57 |
| -3,00 | 31,57 | 43,51 | 11,94 | 101,69 | SI | 2,34 | 0,10 | 3,23 | 0,14 | 0,73 | 0,37 | 0,55 |
| -2,50 | 41,53 | 58,15 | 16,62 | 101,69 | SI | 3,08 | 0,14 | 4,32 | 0,19 | 0,71 | 0,42 | 0,56 |
| -2,00 | 44,37 | 61,91 | 17,53 | 101,69 | SI | 3,29 | 0,15 | 4,60 | 0,20 | 0,72 | 0,43 | 0,57 |
| 10,00 | 7,60 | 10,88 | 3,29 | 101,69 | SI | 0,65 | 0,03 | 0,93 | 0,04 | 0,70 | 0,28 | 0,51 |
| 9,50 | 6,68 | 9,15 | 2,47 | 101,69 | SI | 0,57 | 0,03 | 0,78 | 0,03 | 0,73 | 0,26 | 0,51 |
| 9,00 | 5,23 | 13,76 | 8,53 | 101,69 | SI | 0,44 | 0,02 | 1,17 | 0,05 | 0,38 | 0,39 | 0,51 |
| 8,50 | 8,17 | 15,12 | 6,95 | 101,69 | SI | 0,69 | 0,03 | 1,28 | 0,06 | 0,54 | 0,35 | 0,51 |
| 8,50 | 7,44 | 13,78 | 6,33 | 101,69 | SI | 0,62 | 0,03 | 1,14 | 0,05 | 0,54 | 0,34 | 0,51 |
| 7,50 | 9,26 | 15,81 | 6,55 | 101,69 | SI | 0,76 | 0,03 | 1,30 | 0,06 | 0,59 | 0,33 | 0,52 |
| 7,00 | 9,67 | 17,04 | 7,36 | 101,69 | SI | 0,79 | 0,04 | 1,40 | 0,06 | 0,57 | 0,34 | 0,52 |
| 6,50 | 9,72 | 18,28 | 8,56 | 101,69 | SI | 0,80 | 0,04 | 1,50 | 0,07 | 0,53 | 0,36 | 0,52 |
| 6,50 | 8,82 | 16,59 | 7,77 | 101,69 | SI | 0,70 | 0,03 | 1,32 | 0,06 | 0,53 | 0,35 | 0,51 |
| 6,00 | 8,65 | 17,37 | 8,72 | 101,69 | SI | 0,69 | 0,03 | 1,38 | 0,06 | 0,50 | 0,37 | 0,51 |
| 6,00 | 8,65 | 17,37 | 8,72 | 101,69 | SI | 0,69 | 0,03 | 1,38 | 0,06 | 0,50 | 0,37 | 0,51 |
| 5,50 | 7,95 | 18,40 | 10,45 | 101,69 | SI | 0,63 | 0,03 | 1,46 | 0,06 | 0,43 | 0,39 | 0,51 |
| 5,50 | 7,95 | 18,40 | 10,45 | 101,69 | SI | 0,63 | 0,03 | 1,46 | 0,06 | 0,43 | 0,39 | 0,51 |
| 5,00 | 8,53 | 18,75 | 10,22 | 101,69 | SI | 0,67 | 0,03 | 1,48 | 0,07 | 0,45 | 0,38 | 0,51 |
| 4,50 | 5,73 | 18,91 | 13,18 | 101,69 | SI | 0,45 | 0,02 | 1,49 | 0,07 | 0,30 | 0,42 | 0,51 |
| 4,50 | 4,85 | 15,99 | 11,15 | 101,69 | SI | 0,37 | 0,02 | 1,21 | 0,05 | 0,30 | 0,41 | 0,51 |
| 4,00 | 3,73 | 16,45 | 12,72 | 101,69 | SI | 0,28 | 0,01 | 1,24 | 0,05 | 0,23 | 0,43 | 0,51 |
| 3,50 | 3,61 | 16,99 | 13,38 | 101,69 | SI | 0,27 | 0,01 | 1,28 | 0,06 | 0,21 | 0,44 | 0,51 |
| 3,00 | 2,03 | 19,12 | 17,09 | 101,69 | SI | 0,15 | 0,01 | 1,44 | 0,06 | 0,11 | 0,47 | 0,50 |
| 3,00 | 1,43 | 13,43 | 12,01 | 101,69 | SI | 0,11 | 0,00 | 1,00 | 0,04 | 0,11 | 0,45 | 0,50 |
| 2,50 | 3,25 | 18,08 | 14,83 | 101,69 | SI | 0,24 | 0,01 | 1,34 | 0,06 | 0,18 | 0,45 | 0,50 |

| CODICE ELABORATO | OGGETTO DELL'ELABORATO | PAGINA |
|------------------|---|--------|
| RST-PD-R0006_R0 | INTEGRALE RICOSTRUZIONE PARCO EOLICO "SALEMI-TRAPANI" RELAZIONE DI CALCOLO PRELIMINARE DELLE STRUTTURE | 62 |

| | | | | | | | | | | | | |
|------|-------|-------|-------|--------|----|------|------|------|------|------|------|------|
| 2,00 | -4,79 | 18,66 | 23,45 | 101,69 | SI | 0,00 | 0,00 | 1,39 | 0,06 | 0,00 | 0,49 | 0,50 |
|------|-------|-------|-------|--------|----|------|------|------|------|------|------|------|

L'escursione di tensione nell'acciaio ($\Delta\sigma_s$) risulta sempre minore alla escursione di tensione massima consentita, così come le espressioni (1) e (2) per la verifica dell'escursione di tensione nel calcestruzzo risultano sempre verificate. La fondazione risulta pertanto verificata in ogni sua sezione.

8.6. VERIFICA A PUNZONAMENTO

Le verifiche a punzonamento nei riguardi della fondazione sono state eseguite, nei confronti dell'azione dovuta alla torre e dell'azione dovuta ai pali, con le modalità disposte dall'Eurocodice 2 per le verifiche relative ad elementi che non sono dotati di armature specifiche.

Il procedimento consiste nel confrontare il valore unitario dell'azione a taglio-punzonamento (v_{Ed}) che si esplica lungo il perimetro dell'area caricata u_0 , con l'azione a taglio-punzonamento ($v_{Rd,max}$) massima resistente dell'elemento lungo tale perimetro.

Si dovrà confrontare inoltre il valore unitario dell'azione a taglio-punzonamento (v_{Ed}) che si esplica lungo il perimetro di verifica u , con l'azione a taglio-punzonamento ($v_{Rd,c}$) massima resistente dell'elemento lungo la sezione di verifica considerata.

8.6.1. VERIFICA A PUNZONAMENTO DELLA TORRE

Il perimetro di verifica u è quello relativo alla distanza r_{cont} dal centro della torre, determinata secondo quanto previsto dall'EC2 per piastre con pilastri muniti di capitello circolare per i quali $l_H < 2h_H$ (vedasi fig. 6.17 EC2).

L'azione agente di progetto posta a base del calcolo è quella relativa alla combinazione che genera il momento massimo all'interfaccia tra la torre e la fondazione, dedotta dall'analisi delle combinazioni utilizzate per i carichi applicati nelle verifiche locali.

| Parametri della flangia superiore dell'ancor cage | | |
|---|-----------|--|
| L | 0,650 | larghezza flangia |
| R_{mFS} | 2,000 m | raggio medio della flangia inferiore torre |
| R_{iFS} | 1,675 m | raggio interno della flangia inferiore torre |
| R_{eFS} | 2,325 m | raggio esterno della flangia inferiore torre |
| Caratteristiche calcestruzzo | | |
| f_{ck} | 45,00 MPa | resistenza caratteristica cls fondazione |
| f_{cd} | 25,50 MPa | resistenza di progetto cls fondazione |

| | | |
|------------------|---|--------|
| CODICE ELABORATO | OGGETTO DELL'ELABORATO | PAGINA |
| RST-PD-R0006_R0 | INTEGRALE RICOSTRUZIONE PARCO EOLICO "SALEMI-TRAPANI" RELAZIONE DI CALCOLO PRELIMINARE DELLE STRUTTURE | 63 |

| Caratteristiche dimensionali della sezione di riferimento | | |
|---|---------|---|
| c | 4,450 m | Diametro esterno flangia ancor cage |
| l _H | 0,675 m | distanza tra raggio esterno ancor cage e colletto |
| h _H | 0,690 m | altezza colletto |
| d | 2,330 m | altezza utile della suola |
| r _{cont} | 7,56 m | EC2 eq. 6.33 |
| e | 22,30 m | eccentricità del carico e=Mr/Fz |

| Caratteristiche armatura | | |
|--------------------------|--------------------------|--|
| r _{cont} | 7,940 m | raggio del perimetro di rottura |
| A _{slr} | 44,50 cm ² /m | Area di armatura radiale inferiore al metro |
| hr | 2,05 m | altezza netta sezione al perimetro di rottura |
| ρ _r | 0,002 < 0,02 | A _{sl} / b _w d considerando un a base b _w pari a 1m |
| A _{slc} | 44,24 cm ² /m | Area armatura circonferenziale inferiore al metro |
| hc | 2,05 m | altezza netta sezione al perimetro di rottura |
| ρ _c | 0,002 < 0,02 | A _{sl} / b _w d considerando un a base b _w pari a 1m |

| Coefficienti per la verifica a punzonamento per elementi che non presentano specifiche armature | | |
|---|----------------|--|
| C _{Rd,c} | 0,12 | 0,18 / γ _c |
| k | 1,28 < 2 | 1+√200/d rispetto a d altezza utile minore tra dir x e dir y |
| k ₁ | 0,10 | |
| σ _{cp} | 0,00 Mpa | N _{ed} / A _c |
| ρ _l | 0,002 < 0,02 | radq(ρ _x ρ _y) |
| v _{min} (C32/40) | 0,34 MPa | 0,035 k ^{3/2} f _{ck} ^{1/2} |
| β | 3,63 | EC2 eq. 6.42 pilastro circolare interno |
| v | 0,49 | 0,6 (1-f _{ck} /250) |
| dati della verifica | | |
| u ₀ | 14,61 m | Perimetro dell'area caricata |
| u ₁ | 49,89 m | Perimetro di verifica alla distanza di verifica (rcont) |
| V _{ed} | 8711,33 KN | Azione Tagliante applicata |
| M _{ed} | 176571,11 KN m | Momento applicato |
| e | 20,27 m | eccentricità |
| Azioni agenti | | |
| v _{Ed} (u ₀) | 0,88 Mpa | al perimetro dell'area caricata (v _{Ed} = β V _{ed} / u ₀ d _u) |
| v _{Ed} (u ₁) | 0,257 Mpa | al perimetro di verifica (v _{Ed} = β V _{ed} / u ₁ d _u) |

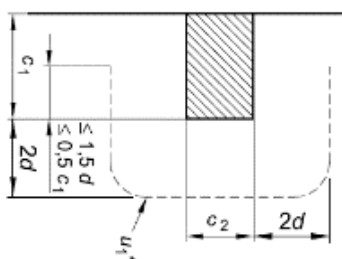
| Verifica | | |
|---|--|----------|
| v _{Ed} (u ₀) = 0,88 < v _{Rd,max} = 6,27 MPa | resistenza a punzonamento massima in adiacenza all'area caricata v _{Rd,max} = 0,5 v f _{cd} | VERIFICA |
| v _{Ed} (u ₁) = 0,26 < v _{Rd,c} = 0,34 MPa | resistenza a punzonamento relativa all'altezza utile della fondazione priva d'armatura specifica lungo il perimetro di controllo v _{Rd,c} = C _{Rd,c} k (100 ρ _l f _{ck}) ^{1/3} | VERIFICA |

Il valore unitario dell'azione a taglio-punzonamento (v_{Ed}) è inferiore all'azione a taglio-punzonamento (v_{Rd}) massima resistente dell'elemento lungo la sezione di verifica considerata. La verifica risulta soddisfatta.

| | | |
|------------------|---|--------|
| CODICE ELABORATO | OGGETTO DELL'ELABORATO | PAGINA |
| RST-PD-R0006_R0 | INTEGRALE RICOSTRUZIONE PARCO EOLICO "SALEMI-TRAPANI" RELAZIONE DI CALCOLO PRELIMINARE DELLE STRUTTURE | 64 |

8.6.2. VERIFICA A PUNZONAMENTO DEI PALI

Per la verifica a punzonamento dei pali, l'altezza utile (d) della piastra considerata è l'altezza minima della fondazione in corrispondenza dei pali stessi, mentre il perimetro di verifica u_1 è quello relativo alla distanza $2d$ dal bordo esterno del palo, a cui è stata sottratta la porzione d'angolo e la zona consigliata dall'EC2.



L'azione agente di progetto posta a base del calcolo è l'azione massima di compressione agente in testa ai pali della fondazione, dedotta dei tabulati di calcolo con l'ausilio di software per la gestione informatizzata dei dati.

| | |
|--|-------------|
| Palo maggiormente sollecitato in testa | Palo 17 |
| Combinazione | comb.12 |
| Sollecitazioni agenti | |
| M_{ed} (KN m) | 0,0 KN m |
| N_{ed} (KN) | 2.922,59 KN |

| Verifica a punzonamento del solo calcestruzzo armato | | | |
|---|-------|--------------------|--|
| Caratteristiche dimensionali della sezione di riferimento | | | |
| R_p | 0,50 | m | raggio del palo |
| d_u | 1,85 | m | Altezza media della suola di fondazione al perimetro di rottura |
| Caratteristiche calcestruzzo | | | |
| f_{ck} | 45,00 | MPa | resistenza di caratteristica fondazione |
| f_{cd} | 25,50 | MPa | resistenza di progetto fondazione |
| Caratteristiche armatura | | | |
| r_{rot} | 4,200 | m | raggio del perimetro di rottura |
| r_{rot} | 4,800 | m | raggio della fondazione al perimetro di rottura |
| A_{slr} | 71,20 | cm ² /m | area di armatura radiale superiore al metro |
| h_r | 2,350 | | altezza netta sezione al perimetro di rottura |
| ρ_r | 0,003 | < 0,02 | $A_{sl} / b_w d$ considerando un a base b_w pari a 1m |
| ϕ_c | 26 | mm | diametro barre armatura circonferenziale superiore |
| A_{slc} | 40,84 | cm ² /m | area armatura circonferenziale superiore al metro |
| h_c | 2,350 | | altezza netta sezione al perimetro di rottura |
| ρ_c | 0,002 | < 0,02 | $A_{sl} / b_w d$ considerando un a base b_w pari a 1m |
| Coefficienti per la verifica a punzonamento per elementi che non presentano specifiche armature | | | |
| $C_{Rd,c}$ | 0,12 | | $0,18 / \gamma_c$ |
| k | 1,33 | < 2 | $1 + \sqrt{200/d}$ rispetto a d altezza utile minore tra dir_x e dir_y |
| k_1 | 0,10 | | |
| σ_{cp} | 0,00 | Mpa | N_{ed} / A_c |
| ρ_l | 0,002 | < 0,02 | $radq(\rho_x \rho_y)$ |
| v_{min} | 0,36 | MPa | $0,035 k^{3/2} f_{ck}^{1/2}$ |

| | | |
|------------------|---|--------|
| CODICE ELABORATO | OGGETTO DELL'ELABORATO | PAGINA |
| RST-PD-R0006_R0 | INTEGRALE RICOSTRUZIONE PARCO EOLICO "SALEMI-TRAPANI" RELAZIONE DI CALCOLO PRELIMINARE DELLE STRUTTURE | 65 |

| Dati della verifica | | |
|---------------------|------------|---|
| u_0 | 3,14 m | Perimetro dell'area caricata |
| u_1 | 26,39 m | Perimetro di verifica alla distanza 2d |
| u_1^* | 11,20 m | Perimetro di verifica (depurata della zona perimetrale) |
| β | 2,36 | (EC2 eq. 6.44 pilastro angolo con eccentricità verso l'interno della piastra) |
| V_{ed} | 2922,59 KN | Azione Tagliante applicata |
| v | 0,49 | 0,6 (1-fck/250) |
| $v_{ed}(u_0)$ | 1,18 Mpa | al perimetro dell'area caricata ($v_{ed} = \beta V_{ed} / u_0 d_u$) |
| $v_{ed}(u_1^*)$ | 0,33 Mpa | al perimetro di verifica ($v_{ed} = \beta V_{ed} / u_1^* d_u$) |

| Verifica a punzonamento | | |
|--|--|----------|
| $v_{ed}(u_0) = 1,18 < v_{Rd,max} = 6,27$ MPa | Resistenza a punzonamento massima in adiacenza all'area caricata $v_{Rd,max} = 0,5 v_{fd}$ | VERIFICA |
| $v_{ed}(u_1) = 0,33 < v_{Rd,c} = 0,36$ MPa | Resistenza a punzonamento della porzione di fondazione relativa all'altezza utile tra la testa del palo e la faccia superiore della fondazione priva d'armatura specifica lungo il perimetro di controllo $v_{Rd,c} = C_{Rd,c} k (100 \rho_l f_{ck})^{1/3}$ | VERIFICA |

Il valore unitario dell'azione a taglio-punzonamento (v_{ed}) è inferiore all'azione a taglio-punzonamento (v_{Rd}) massima resistente dell'elemento lungo la sezione di verifica considerata. La verifica risulta soddisfatta.

8.7. VERIFICA PALI DI FONDAZIONE

Le verifiche strutturali complete relative agli SLU es agli SLE dei pali di fondazione sono state eseguite con il software di calcolo dell'Aztec Informatica, API++14 licenza n° A101280VT, e sono allegate nel fascicolo dei calcoli a cui si rimanda per ogni ulteriore approfondimento.

Purtuttavia, nel proseguo del presente paragrafo, è stato condotto una ulteriore verifica del palo maggiormente sollecitato al fine di confermare i risultati ottenuti con il software.

Le azioni agenti di progetto, poste a base del calcolo sono dedotte dei tabulati di calcolo con l'ausilio di software per la gestione informatizzata dei dati. Tali analisi hanno permesso di determinare il palo maggiormente sollecitato.

In particolare, si sono ottenuti i seguenti dati di input per le verifiche:

- Palo soggetto allo sforzo normale minimo: Palo n°1

| Nr. palo | Y(m) | M(KNm) | T(KN) | N(KN) |
|----------|------|--------|-------|---------|
| 1 | 0,0 | 0,0 | 60,18 | -464,01 |

- Palo soggetto allo sforzo normale massimo: Palo n°14

| Nr. palo | Y(m) | M(KNm) | T(KN) | N(KN) |
|----------|------|--------|-------|---------|
| 14 | 0,0 | 0,0 | 60,18 | 2922,59 |

| | | |
|------------------|---|--------|
| CODICE ELABORATO | OGGETTO DELL'ELABORATO | PAGINA |
| RST-PD-R0006_R0 | INTEGRALE RICOSTRUZIONE PARCO EOLICO "SALEMI-TRAPANI" RELAZIONE DI CALCOLO PRELIMINARE DELLE STRUTTURE | 66 |

- Palo soggetto al momento massimo: Palo n°20

| Nr. palo | Y(m) | M(KNm) | T(KN) | N(KN) |
|----------|------|--------|-------|---------|
| 20 | 3,2 | 101,08 | -1,00 | 1564,05 |

L'elemento strutturale sarà soggetto ad una combinazione di sforzo normale e momento che individuerà un punto di sollecitazione che confrontato con il dominio di rottura della sezione permetterà di affermare se la sezione risulta verificata.

Il Dominio di rottura della sezione viene determinato dopo aver calcolato la curvatura che, in condizioni di deformazione limite del calcestruzzo o dell'acciaio, soddisfa l'equilibrio alla traslazione.

Titolo : _____

Sezione circolare cava

Raggio esterno: 50 [cm]
Raggio interno: 0 [cm]
N° barre uguali: 28
Diametro barre: 2.2 [cm]
Copriferro (baric.): 7.3 [cm]

N° barre: 0 Zoom

Tipo Sezione

Rettan.re Trapezi
 a T Circolare
 Rettangoli Coord.
 DXF

Sollecitazioni

S.L.U. Metodo n

N_{Ed}: 0 kN
M_{xEd}: 0 kNm
M_{yEd}: 0

P.to applicazione N

Centro Baricentro cls
 Coord.[cm] xN: 0 yN: 0

Tipo rottura

Lato calcestruzzo - Acciaio snervato

Materiali

B450C C25/30

ϵ_{su} : 67.5 ‰ ϵ_{c2} : 2 ‰
 f_{yd} : 391.3 N/mm² ϵ_{cu} : 3.5 ‰
 E_s : 200.000 N/mm² f_{cd} : 14.17
 E_s/E_c : 15 f_{cc}/f_{cd} : 0.8
 ϵ_{syd} : 1.957 ‰ $\sigma_{c,adm}$: 9.75
 $\sigma_{s,adm}$: 255 N/mm² τ_{co} : 0.6
 τ_{c1} : 1.829

M_{Rd} : 1.513 kNm
 σ_c : -14.17 N/mm²
 σ_s : 391.3 N/mm²
 ϵ_c : 3.5 ‰
 ϵ_s : 9.163 ‰
d: 92.7 cm
x: 25.62 x/d: 0.2764
 δ : 0.7855

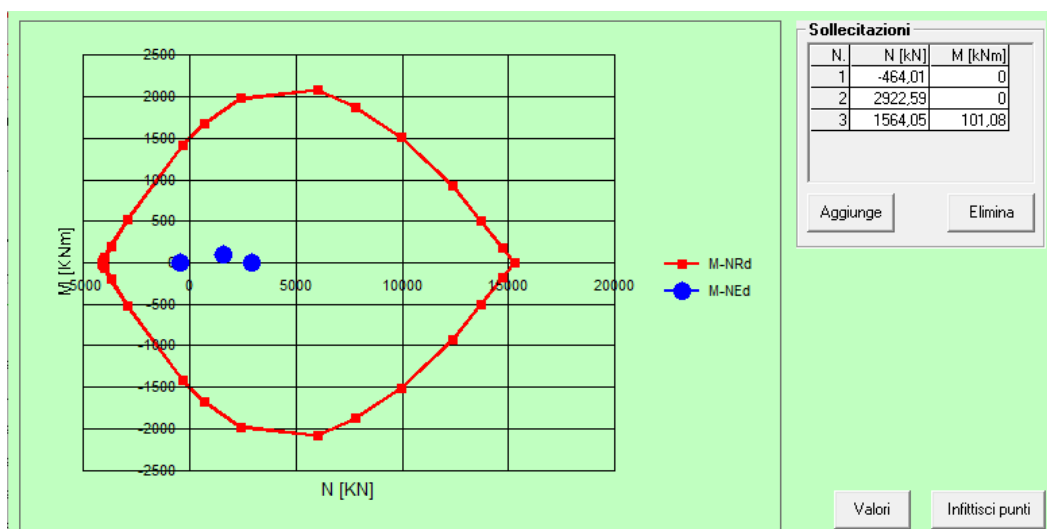
Metodo di calcolo

S.L.U.+ S.L.U.-
 Metodo n

Tipo flessione

Retta Deviata

Vertici: 52 N° rett.: 100
Calcola MRd Dominio M-N
L₀: 0 cm Col. modello
M-curvatura
 Precompresso



I punti individuati sono tutti interni al dominio di rottura della sezione, pertanto la sezione risulta verificata.

| CODICE ELABORATO | OGGETTO DELL'ELABORATO | PAGINA |
|------------------|---|--------|
| RST-PD-R0006_R0 | INTEGRALE RICOSTRUZIONE PARCO EOLICO "SALEMI-TRAPANI" RELAZIONE DI CALCOLO PRELIMINARE DELLE STRUTTURE | 67 |

9. GIUDIZIO MOTIVATO DI ACCETTABILITA'

Le verifiche strutturali sul plinto di fondazione sono state eseguite introducendo nel modello FEM la geometria e le condizioni al contorno del modello, le azioni sollecitanti e le loro combinazioni ed estrapolando in output le sollecitazioni che agiscono al fine di procedere alle verifiche manuali.

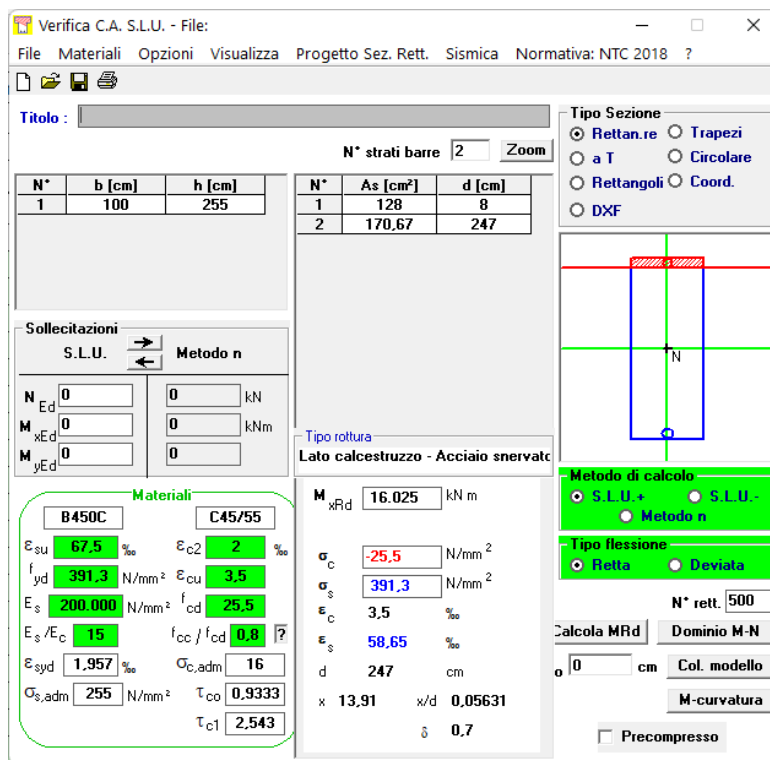
Pertanto, non sarebbe necessario sottoporre i risultati ad elaborazioni e controlli che ne comprovino l'attendibilità. In ogni caso si procederà ad incrociare alcuni dati dall'analisi con metodi di calcolo paralleli e speditivi al fine effettuare un controllo di massima sul lavoro effettuato.

9.1. DETERMINAZIONE DELLE SOLLECITAZIONI RESISTENTI

Al fine di validare le modalità di calcolo del momento resistente ultimo della fondazione si confronteranno i valori calcolati con il foglio elettronico e i valori calcolati con l'ausilio del software VCASTU rilasciata dal Prof. Piero Gelfi in distribuzione gratuita.

Estrapoliamo da quanto riportato nelle precedenti tabelle di calcolo relativamente alla sezione in cui la suola di fondazione si innesta nel colpetto: posta a una ordinata di 3,00m, altezza pari a 2,55m, area di ferro superiore pari a 128,00 cm²/m ed inferiore pari a 170,67 cm²/m. Ciò porta a calcolare un momento ultimo resistente pari a 16.027 KN m. Mentre calcolando il momento ultimo resistente della sezione con l'ausilio del software otteniamo i seguenti risultati:

| | | |
|------------------|---|--------|
| CODICE ELABORATO | OGGETTO DELL'ELABORATO | PAGINA |
| RST-PD-R0006_R0 | INTEGRALE RICOSTRUZIONE PARCO EOLICO "SALEMI-TRAPANI" RELAZIONE DI CALCOLO PRELIMINARE DELLE STRUTTURE | 68 |



Il momento calcolato pari a 16.025 KN m conferma il calcolo del momento eseguito manualmente con l'ausilio del foglio di calcolo riportato nella relazione. Pertanto, risultano confermate le modalità di determinazione del momento ultimo utilizzate nei fogli di calcolo.

9.2. ANALISI TRASMISSIONE DEGLI SFORZI NEL MODELLO FEM

Al fine di validare la corretta distribuzione delle azioni applicate in prossimità dei 24 punti del modello FEM della fondazione e che effettivamente queste sollecitazioni percorrano il modello inputato fino a distribuirsi esclusivamente sui pali, si procede con la valutazione speditiva delle sollecitazioni sui pali mediante un modello elastico in cui i pali sono collegati rigidamente al centro di sollecitazione della fondazione ove sono applicate le risultanti provenienti dalla torre. Si confronteranno quindi i valori ottenuti con quelli di output del modello FEM.

Calcolo pesi fondazione:

| Dati geometrici | | | |
|-----------------|-------|---|---|
| R | 10,00 | m | Raggio della base del plinto |
| r | 3,00 | m | Raggio del colletto del plinto |
| H | 1,85 | m | Altezza della parte esterna del plinto |
| Hp | 2,55 | m | Altezza del plinto in corrispondenza del colletto dalla parte esterna |
| Hc | 3,15 | m | Altezza del plinto in corrispondenza del colletto dalla parte interna |
| Hcft | 0,35 | m | Altezza del colletto fuori terra |

| | | |
|------------------|---|--------|
| CODICE ELABORATO | OGGETTO DELL'ELABORATO | PAGINA |
| RST-PD-R0006_R0 | INTEGRALE RICOSTRUZIONE PARCO EOLICO "SALEMI-TRAPANI" RELAZIONE DI CALCOLO PRELIMINARE DELLE STRUTTURE | 69 |

| Dati dei pesi propri dei materiali | | |
|------------------------------------|-----------|-------------------|
| γ_{ca} | 25 | kN/m ³ |
| γ_t | 19 | kN/m ³ |
| Dati caratteristici fondazione | | |
| V_p | 700,05 | m ³ |
| W_p | 17.501,29 | KN |
| V_r | 189,49 | m ³ |
| W_r | 3.600,32 | KN |

Peso specifico c.a.
Peso specifico terreno
Volume del plinto
Peso del plinto
Volume del ricoprimento plinto
Peso del ricoprimento del plinto

Azioni per la combinazione considerata (amplificate):

| | Azione massima trasmessa dalla torre (SLU + PP WTG) | Peso proprio fondazione | Peso ricoprimento |
|-------------|---|-------------------------|-------------------|
| Fris (KN m) | 1.548,89 | 0,00 | 0,00 |
| Mr t (KN m) | 176.571,11 | 0,00 | 0,00 |
| Fz (KN) | -8.660,89 | 22.751,68 | 5.400,48 |

Tali azioni verranno distribuite sui pali utilizzando i seguenti parametri caratteristici:

| | | |
|----------------|-------|----------|
| n | 26 | n° parti |
| R | 9 | m |
| $\Delta\alpha$ | 13,85 | ° |
| C | 56,55 | m |
| ΔC | 2,17 | m |

| Combinazione SLU NTC Vento | | | | | | | |
|----------------------------|----------|-------|-------|--------------|----------|-----------|-----------|
| i | α | x_i | y_i | $P_{Mris,i}$ | P_{Fz} | P_{Wt} | P_{Ris} |
| 1 | 0,00 | 9,00 | 0,00 | 1.509,15 | -333,11 | -1.082,78 | 93,27 |
| 2 | 13,85 | 8,74 | 2,15 | 1.465,30 | -333,11 | -1.082,78 | 49,42 |
| 3 | 27,69 | 7,97 | 4,18 | 1.336,29 | -333,11 | -1.082,78 | -79,60 |
| 4 | 41,54 | 6,74 | 5,97 | 1.129,62 | -333,11 | -1.082,78 | -286,27 |
| 5 | 55,38 | 5,11 | 7,41 | 857,30 | -333,11 | -1.082,78 | -558,59 |
| 6 | 69,23 | 3,19 | 8,42 | 535,15 | -333,11 | -1.082,78 | -880,73 |
| 7 | 83,08 | 1,08 | 8,93 | 181,91 | -333,11 | -1.082,78 | -1.233,98 |
| 8 | 96,92 | -1,08 | 8,93 | -181,91 | -333,11 | -1.082,78 | -1.597,79 |
| 9 | 110,77 | -3,19 | 8,42 | -535,15 | -333,11 | -1.082,78 | -1.951,04 |
| 10 | 124,62 | -5,11 | 7,41 | -857,30 | -333,11 | -1.082,78 | -2.273,18 |
| 11 | 138,46 | -6,74 | 5,97 | -1.129,62 | -333,11 | -1.082,78 | -2.545,50 |
| 12 | 152,31 | -7,97 | 4,18 | -1.336,29 | -333,11 | -1.082,78 | -2.752,18 |
| 13 | 166,15 | -8,74 | 2,15 | -1.465,30 | -333,11 | -1.082,78 | -2.881,19 |
| 14 | 180,00 | -9,00 | 0,00 | -1.509,15 | -333,11 | -1.082,78 | -2.925,04 |
| 15 | 193,85 | -8,74 | -2,15 | -1.465,30 | -333,11 | -1.082,78 | -2.881,19 |
| 16 | 207,69 | -7,97 | -4,18 | -1.336,29 | -333,11 | -1.082,78 | -2.752,18 |
| 17 | 221,54 | -6,74 | -5,97 | -1.129,62 | -333,11 | -1.082,78 | -2.545,50 |
| 18 | 235,38 | -5,11 | -7,41 | -857,30 | -333,11 | -1.082,78 | -2.273,18 |
| 19 | 249,23 | -3,19 | -8,42 | -535,15 | -333,11 | -1.082,78 | -1.951,04 |
| 20 | 263,08 | -1,08 | -8,93 | -181,91 | -333,11 | -1.082,78 | -1.597,79 |
| 21 | 276,92 | 1,08 | -8,93 | 181,91 | -333,11 | -1.082,78 | -1.233,98 |
| 22 | 290,77 | 3,19 | -8,42 | 535,15 | -333,11 | -1.082,78 | -880,73 |

Tale distribuzione di forze può essere rappresentata nel seguente grafico:

Possiamo a questo punto estrapolare dai tabulati di calcolo le azioni che agiscono in testa ai pali nella combinazione 12 del modello T06nd, al fine di effettuare il confronto. Le azioni possono essere riassunte nel seguente grafico.

| CODICE ELABORATO | OGGETTO DELL'ELABORATO | PAGINA |
|------------------|---|--------|
| RST-PD-R0006_R0 | INTEGRALE RICOSTRUZIONE PARCO EOLICO "SALEMI-TRAPANI" RELAZIONE DI CALCOLO PRELIMINARE DELLE STRUTTURE | 70 |

I risultati ottenuti sono perfettamente confrontabili, pertanto risultano confermate le modellazioni effettuate e la trasmissione degli sforzi nel modello FEM.